



**Universidade de Brasília
Faculdade do Gama**

**HiLDA: Ferramenta de Geração Automática de
Código para Co-Projeto HW/SW**

Lucas Xavier de Moura

TRABALHO DE CONCLUSÃO DE CURSO
ENGENHARIA ELETRÔNICA

Brasília
2023

**Universidade de Brasília
Faculdade do Gama**

HiLDA: Ferramenta de Geração Automática de Código para Co-Projeto HW/SW

Lucas Xavier de Moura

Trabalho de conclusão de curso submetido
como requisito parcial para obtenção do grau
de Engenheiro Eletrônico.

Orientador: Prof. Dr. Daniel Mauricio Muñoz Arboleda

Brasília
2023

X769h Xavier de Moura, Lucas.
HiLDA: Ferramenta de Geração Automática de Código para
Co-Projeto HW/SW / Lucas Xavier de Moura; orientador Daniel
Mauricio Muñoz Arboleda. -- Brasília, 2023.
139 p.

Trabalho de conclusão de curso (Engenharia Eletrônica) --
Universidade de Brasília, 2023.

1. RTL. 2. FSM. 3. Geradores de código. 4. VHDL. I. Mauricio
Muñoz Arboleda, Daniel , orient. II. Título

**Universidade de Brasília
Faculdade do Gama**

**HiLDA: Ferramenta de Geração Automática de Código
para Co-Projeto HW/SW**

Lucas Xavier de Moura

Trabalho de conclusão de curso submetido
como requisito parcial para obtenção do grau
de Engenheiro Eletrônico.

Trabalho aprovado. Brasília, 5 de outubro de 2023:

Prof. Dr. Daniel M. Muñoz Arboleda,
UnB/FGA
Orientador

Prof. Dr. Gilmar Silva Beserra, UnB/FGA
Examinador interno

Prof. Dr. Guillermo Alvarez Bestard,
UnB/FGA
Examinador interno

Brasília
2023

Resumo

A complexidade do desenvolvimento de circuitos digitais aumentou nas últimas décadas visto que atualmente uma porção dos projetos necessita da integração entre hardware e software. Para resolver este problema, diversas ferramentas de modelagem e síntese de alto nível tem sido criadas, facilitando a geração de código HDL a partir de uma descrição em alto nível de abstração. Este trabalho mostra o desenvolvimento da ferramenta *HiLDA*, que possui quatro ferramentas integradas, *vFSMgen*, *vRTLgen*, *vTBgen* e *AXIcreator*, um gerador de máquinas de estados e de estruturas RTL (*Register Transfer Level*), um simples criador de *testbenches* e um gerador de interfaces AXI, respectivamente, que geram códigos em VHDL (*Very high speed integrated circuits Hardware Description Language*) a partir de diagramas de blocos na ferramenta *Draw.io*. A ferramenta é capaz de verificar sintaticamente os códigos gerados, bem como simulá-los, utilizando a ferramenta gHDL. O desenvolvimento da ferramenta foi possível a partir da criação de parsers de diagramas gerados pelo *Draw.io* e geradores de código utilizando Python, bem como uma interface gráfica desenvolvida a partir da aplicação Godot para integrar todas essas ferramentas. Os resultados obtidos são promissores visto que as máquinas de estados geradas pela ferramenta *vFSMgen* conseguem facilmente atingir a síntese e a implementação em hardware. Similarmente, a ferramenta *vRTLgen* também consegue produzir circuitos digitais de mediana complexidade sintetizáveis e implementáveis em dispositivos FPGA (*Field Programmable gate Arrays*). Por fim, a ferramenta *AXIcreator* também se mostrou efetiva em encapsular códigos em AXI4-Full e AXI4-Lite, sendo que estes foram validados na placa Avnet Zedboard.

Palavras-chave: RTL. FSM. Geradores de código. VHDL.

Abstract

The complexity of digital circuits development increased in recent decades considering that currently a portion of projects requires the integration of both hardware and software. In order to address this issue, numerous high-level modeling and synthesis tools have been developed to facilitate the generation of HDL (Hardware Description Language) code from a high-level abstract description. Thus, this work presents the development of HiLDA tool, which has two integrated tools, *vFSMgen* and *vRTLgen*, a generator of state machines and RTL (*Register Transfer Level*) structures respectively, which generates codes in VHDL (*Very high speed integrated circuits Hardware Description Language*) from diagrams and is able to syntactically check the codes generated using the gHDL tool. The development of the tool was made feasible through the creation of parsers for diagrams generated by Draw.io and code generators using Python, as well as a graphical interface developed utilizing the Godot application to integrate all these tools. The obtained results are promising, as the state machines generated by the *vFSMgen* tool can achieve synthesis and hardware implementation on Field Programmable Gate Arrays (FPGAs). Similarly, *vRTLgen* can also produce synthesized and implementable codes in hardware of relatively complex circuits. Finally, the AXIcreator tool has proven to be effective in encapsulating code into AXI4-Full and AXI4-Lite interfaces validated on the Avnet Zedboard.

Keywords: RTL. FSM. Code generators. VHDL.

Lista de ilustrações

Figura 2.1 – Exemplo de uma FSM qualquer do tipo Moore.	15
Figura 2.2 – Estrutura de FSMs do tipo <i>Moore</i> e <i>Mealy</i> adaptado de (WAKERLY, 2006).	16
Figura 2.3 – Principais blocos de um projeto RTL.	17
Figura 2.4 – Bloco operacional e de controle de uma interface de barramento simples (VAHID, 2007).	17
Figura 2.5 – Layout do FPGA Artix XC7A35T (EB, 2015).	18
Figura 2.6 – Arquitetura <i>Zynq-7000</i> (AMD, 2023b).	19
Figura 2.7 – Tipos de paradigma e protocolos AXI utilizados no <i>Vitis HLS</i> (XILINX, 2023).	20
Figura 3.8 – Exemplo de uma placa <i>Basys3</i> (DIGILENT, 2023).	25
Figura 3.9 – Placa <i>Zedboard</i> da Avnet (AVNET, 2023).	26
Figura 3.10–Exemplo de uma FSM simples do tipo Moore.	27
Figura 3.11–Exemplo de uma FSM do tipo Moore com transições mais complexas.	28
Figura 3.12–Exemplo de uma FSM do tipo Mealy.	28
Figura 3.13–Exemplo de um esquemático simples.	29
Figura 3.14–Exemplo de um esquemático utilizando a instanciação de componentes.	30
Figura 3.15–Listas de constantes e tipos.	31
Figura 3.16–Exemplo de dois somadores/subtratores de 8 bits interligados.	32
Figura 3.17–Separação de cada elemento.	34
Figura 3.18–Informações obtidas a partir do <i>parser</i>	35
Figura 3.19–Simplificação do processo de montagem da entidade.	36
Figura 3.20–Simplificação do processo de montagem da arquitetura.	37
Figura 3.21–Exemplo de uma FSM simples.	38
Figura 3.22–Rotina de geração sequencial de códigos.	40
Figura 3.23–Objetos principais do gerador e seus atributos.	41
Figura 3.24–Resumo da caracterização de componentes preexistentes.	42
Figura 3.25–Dicionários com informações obtidas do diagrama.	44
Figura 3.26–Fluxo de importação de arquivos e criação da entidade.	45
Figura 3.27–Dicionário para na definição dos sinais de conexão.	45
Figura 3.28–Dicionário para auxílio da conexão das portas.	46
Figura 3.29–Diagrama no Draw.io da função <i>multiply-accumulate</i>	47
Figura 3.30–Interface do gerador de testbench.	48
Figura 3.31–Funções implementadas na <i>vTBgen</i>	49
Figura 3.32–Interfaces para a criação de protocolos AXI4-Lite da plataforma HiLDA à esquerda e do Vivado à direita.	50

Figura 3.33–Interfaces para a criação de protocolos AXI4-Full da plataforma HiLDA à esquerda e do Vivado à direita.	51
Figura 3.34–Tela inicial da interface gráfica.	55
Figura 3.35–Funcionamento da ferramenta <i>vFSMgen</i>	56
Figura 3.36–Funcionamento da ferramenta <i>vRTLgen</i>	57
Figura 3.37–Janela de seleção de arquivos.	58
Figura 4.38–Bloco de controle de um marca-passo atrioventricular (VAHID, 2007).	59
Figura 4.39–Diagrama da FSM recriado no Draw.io.	60
Figura 4.40–Resultado da análise da FSM do exemplo do marca-passo utilizando o gHDL dentro da aplicação.	60
Figura 4.41–Simulação da FSM do exemplo do marca-passo.	61
Figura 4.42–Continuação da simulação da FSM do exemplo do marca-passo.	61
Figura 4.43– <i>Place and Route</i> referente ao circuito da FSM.	62
Figura 4.44–Análise de <i>timing</i> referente ao circuito da FSM.	62
Figura 4.45–Análise de potência referente ao circuito da FSM.	63
Figura 4.46–Diagrama de funcionamento de um <i>Perceptron</i>	64
Figura 4.47–Diagrama de um perceptron criado no Draw.io.	64
Figura 4.48–Diagrama da FSM de controle.	65
Figura 4.49–Tela de escolha de diagramas do <i>vRTLgen</i> e resultado.	66
Figura 4.50–Diagrama esquemático gerado pelo Vivado.	66
Figura 4.51–Configuração do <i>tesbench</i> para o <i>Perceptron</i>	67
Figura 4.52–Resultado da simulação do <i>testbench</i>	67
Figura 4.53–Diagrama no Draw.io do circuito implementado na Basys3.	68
Figura 4.54–Circuito implementado na Basys3.	68
Figura 4.55–Valores de entrada e resultados notificados pelo gerador de código.	69
Figura 4.56–Diagrama do <i>testbench</i> do <i>topmodule</i>	69
Figura 4.57–Simulação do <i>testbench</i> do <i>topmodule</i>	70
Figura 4.58–Utilização de recursos do circuito.	70
Figura 4.59– <i>Place and Route</i> do <i>topmodule</i>	71
Figura 4.60–Sumário de análise de <i>timing</i> do circuito.	71
Figura 4.61–Utilização de potência do circuito.	72
Figura 4.62–Conexões realizadas no <i>AXIcreator</i>	72
Figura 4.63– <i>Block Design</i> gerado pelo Vivado com a interface AXI4-Lite. A interface criada possui o nome de “top27baxilite_AXI_0”.	73
Figura 4.64–Utilização do circuito pós-implementação.	73
Figura 4.65– <i>Place and Route</i> do circuito com a interface AXI destacada em roxo.	74
Figura 4.66–Uso de energia do circuito.	74
Figura 4.67–Resultados obtidos com o encapsulamento AXI4-Lite.	75
Figura 4.68–Conexões realizadas no <i>AXIcreator</i>	75

Figura 4.69– <i>Block Design</i> gerado pelo Vivado com a interface AXI4-Full. A interface criada possui o nome de “MLP443axifull_MM_v1_0_0”.	76
Figura 4.70–Utilização de recursos do circuito.	76
Figura 4.71– <i>Place and Route</i> do circuito com a interface AXI destacada em rosa. . . .	77
Figura 4.72–Energia utilizada pelo circuito.	77
Figura 4.73–Resultados da MLP impressos na porta serial.	77

Lista de tabelas

Tabela 2.1 – Comparação entre geradores de códigos.	23
Tabela 3.2 – Identificadores de cada elemento do diagrama de FSMs.	34
Tabela 4.3 – Utilização de recursos pós-implementação.	62
Tabela 4.4 – Valores pós-implementação de timing.	73
Tabela 4.5 – Valores de entrada e saída do perceptron.	74
Tabela 4.6 – Valores pós-implementação de timing.	76

Lista de abreviaturas e siglas

BRAM	<i>Block Random Access Memorys</i>	18
CLB	<i>Configurable Logic Block</i>	18
DNN	<i>Deep Neural Network</i>	22
DSP	<i>Digital Signal Processing</i>	18
FF	<i>Flip-Flop</i>	15
FPGA	<i>Field-programmable gate array</i>	13
FSM	<i>Máquinas de Estados Finitos</i>	13
HDL	<i>Linguagem de Descrição de Hardware</i>	13
HLS	<i>High-Level Synthesis</i>	18
IP	<i>Intellectual Property</i>	23
LUT	<i>Look-Up Table</i>	17
ML	<i>Machine Learning</i>	22
MLP	<i>Multilayer Perceptron</i>	58
PSO	<i>Particle Swarm Optimization</i>	58
RBFNN	<i>Radial Basis Function Neural Network</i>	22
RTL	<i>Nível de Transferência entre Registradores</i>	14
SoC	<i>System on Chip</i>	17
UI	<i>Interface de Usuário</i>	23
UNB	<i>Universidade de Brasília</i>	21

Sumário

1	Introdução	13
1.1	Objetivos	13
1.1.1	Objetivo geral	13
1.1.2	Objetivo específicos	14
1.2	Contribuições do Trabalho	14
2	Fundamentação Teórica	15
2.1	Máquinas de Estados Finitos	15
2.1.1	Estrutura e tipos de FSMs	15
2.2	Projeto RTL	16
2.3	FPGAs e Sistemas em Chip (SoC)	17
2.4	Síntese de Alto Nível (HLS)	19
2.5	Interfaces AXI4	20
2.5.1	AXI4 e AXI4-Lite	21
2.6	Estado da Arte	21
3	Metodologia	24
3.1	Ferramentas utilizadas neste trabalho	24
3.1.1	Draw.io	24
3.1.2	Godot	24
3.1.3	Vivado	24
3.1.4	Placa de Desenvolvimento Basys3	25
3.1.5	Placa de Desenvolvimento Zedboard	25
3.1.6	GTKWave	26
3.2	Biblioteca de Elementos no Draw.io	26
3.2.1	Elementos utilizados na ferramenta vFSMgen	26
3.2.2	Elementos utilizados na ferramenta vRTLgen	29
3.3	Desenvolvimento do vFSMgen	32
3.3.1	Desenvolvimento do <i>parser</i>	32
3.3.2	Geração da estrutura das FSMs	35
3.3.3	Exemplo de FSM	37
3.4	Desenvolvimento do vRTLgen	38
3.4.1	Bibliotecas de componentes e geradores	38
3.4.2	<i>Parser</i> para o <i>vRTLgen</i>	40
3.4.3	Geração da estrutura RTL	44
3.5	Gerador de Testbench (vTBgen) e simulador	47

3.6	Desenvolvimento do <i>AXIcreator</i>	49
3.6.1	Interfaces AXI suportadas e suas representações gráficas	49
3.6.2	Funcionamento e implementação dos protocolos	51
3.6.3	Implementação do AXI4-Lite	52
3.6.4	Implementação do AXI4-Full	53
3.7	Desenvolvimento da Interface Gráfica	54
3.7.1	Funções da interface gráfica	54
3.7.2	Integração do <i>vFSMgen</i>	56
3.7.3	Integração <i>vRTLgen</i>	57
3.7.4	Verificação da sintaxe de arquivos VHDL	57
4	Resultados	59
4.1	Caso de Estudo de uma FSM	59
4.2	Caso de Estudo de um Projeto RTL	63
4.3	Caso de estudo encapsulamento com AXI4-Lite	72
4.4	Caso de estudo encapsulamento com AXI4-Full	75
5	Conclusões	79
	Referências	80
	Anexos	83
	Anexo A Códigos Gerados pela Aplicação HiLDA e de Validação em Hardware	84
A.1	Exemplo de FSM simples	84
A.2	Casos suportados para conversão automática de tipos de sinais	86
A.3	Código do <i>multiply-accumulate</i>	87
A.4	Códigos utilizados na implementação do controlador de marca-passo	89
A.5	Códigos utilizados na implementação do <i>Perceptron</i>	92
A.6	Códigos utilizados na implementação das interfaces AXI	104

1 Introdução

Sistemas embarcados são utilizados em diversas indústrias e aplicações do dia a dia para executar tarefas específicas. São utilizados, por exemplo, em carros inteligentes, eletrodomésticos com função IOT (*Internet of things*), aplicações de reconhecimento de imagem na indústria alimentícia, controle industrial, entre outras (BERKOWITZ, 2023).

Recentemente, a indústria está demandando uma grande quantidade de engenheiros eletrônicos. Os grandes criadores de chips ao redor do mundo não conseguem expandir sua produção pela falta de engenheiros. Um dos principais causadores deste problema está na convicção que a área de software paga melhor que a área de hardware. Sendo que nas últimas décadas a procura por cursos na área software se tornaram muito mais populares que os de hardware (MARTIN, 2022).

O uso de geradores de códigos para a implementação de hardware em *Field-programmable gate arrays* FPGAs facilitam e aceleram o desenvolvimento de um circuito. Essas ferramentas possibilitam a automatização de tarefas que seguem padrões regulares e são, muitas vezes, repetitivas, de tal forma que erros são adicionados ao código a partir da desatenção e pequenos equívocos dos programadores ao redigi-lo. Sistemas de machine learning, por exemplo, dependem substancialmente de geradores de códigos (VASILACHE et al., 2023).

Outro aspecto que pode ser explorado é o caráter pedagógico que algumas dessas ferramentas possuem ao permitir que o design seja o foco do usuário, visto que aprender uma nova linguagem, neste caso uma Linguagem de Descrição de Hardware (HDL), tem uma curva de aprendizagem demorada. A programação a partir de plataformas gráficas é mais rápida que a programação textual (BALID; ABDULWAHED, 2013).

Percebe-se que uma ferramenta para a confecção de circuitos que consiga atender usuários leigos e avançados, e que integre e centralize o uso de geradores de códigos para aproveitar estruturas regulares permitiria que tanto fosse possível ajudar na capacitação de pessoas quanto acelerar o processo de criação de circuitos complexos. Sendo que uma ferramenta com essas características possui alto potencial de uso acadêmico e industrial.

1.1 Objetivos

1.1.1 Objetivo geral

Desenvolver uma aplicação com a capacidade de gerar códigos em VHDL a partir de diagramas com uma interface gráfica de usuário intuitiva, com suporte para geradores de Máquinas de Estados Finitos (FSMs), desenvolvimento de projetos em nível de transferência

entre registradores (RTL) e co-projeto hardware/software.

1.1.2 Objetivo específicos

Com este trabalho espera-se alcançar os seguintes objetivos:

- Criação de uma biblioteca de elementos padrão no Draw.io;
- Desenvolvimento de um gerador de códigos de FSMs a partir de diagramas feitos no programa Draw.io;
- Desenvolvimento de um gerador de códigos de arquiteturas RTL a partir de diagramas feitos no programa Draw.io;
- Desenvolvimento de um gerador de código para encapsulamento das arquiteturas usando barramentos on-chip tipo AXI;
- Desenvolvimento de uma interface gráfica para integrar todas as ferramentas.

1.2 Contribuições do Trabalho

Este trabalho originou quatro ferramentas originais e diferentes. Primeiro, um gerador de código VHDL de máquinas de estados finitas a partir de diagramas XML que funciona para a maioria dos casos simples apresentados pelos livros-texto. Segundo, um gerador de código VHDL de estruturas RTL a partir de diagramas esquemáticos que podem conter tanto componentes em VHDL quanto geradores de código em Python. Terceiro, um criador *testbenchs* simples. Quarto, uma ferramenta para encapsulamento de circuitos em VHDL utilizando interfaces AXI4-Lite e AXI4-Full, validada em hardware. Por fim, uma interface gráfica que integra as duas primeiras ferramentas anteriores com a aplicação de código livre chamada gHDL, que é, um analisador, compilador e simulador de códigos VHDL.

2 Fundamentação Teórica

Para o desenvolvimento da aplicação é necessário conhecimento em projetos de circuitos digitais, bem como conhecimento em co-projetos Hardware/Software. Então, nesta seção são apresentados conceitos de FSMs, projetos RTL, bem como o funcionamento de FPGAs e SoCs, e finalizando com diversos trabalhos presentes na bibliografia atual de geradores de códigos.

2.1 Máquinas de Estados Finitos

As FSMs são ferramentas poderosas que podem ser utilizadas em várias aplicações, dentre elas, a FSM pode ser utilizada para realizar o controle de circuitos RTL.

Máquina de estados finitos constituem um termo muito amplo utilizado tanto no desenvolvimento de software e hardware, como no controle de personagens em jogos e no controle de circuitos RTL. No entanto, neste trabalho será abordado o que é chamado de *clocked synchronous state machine* ou máquinas de estados síncronas, sendo que esses circuitos utilizam de Flip-Flops (FFs) sincronizados por sinal de clock para armazenar informações (WAKERLY, 2006).

Uma FSM deve possuir um conjunto de estados, um conjunto de entradas e saídas, um estado inicial, transições, bem como a lógica de transição ou condição de transição e os valores de saída de cada estado (VAHID, 2007). A figura 2.1 mostra um exemplo de FSM, sendo $E0$, $E1$, e $E2$ os estados, com $E0$ como o estado inicial, a e x são a entrada e a saída, respectivamente. As transições são representadas pelas setas. Dessa forma, o diagrama de estados da figura 2.1 representa uma FSM que ao receber a entrada a em nível lógico alto gera uma saída de nível lógico alto por dois ciclos de *clock*.

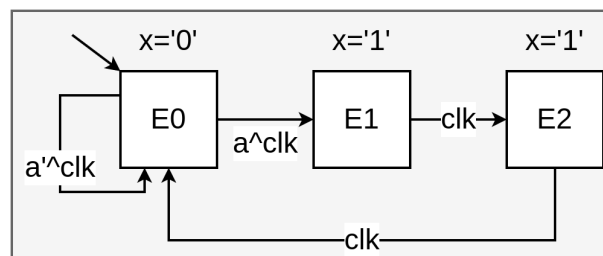


Figura 2.1 – Exemplo de uma FSM qualquer do tipo Moore.

2.1.1 Estrutura e tipos de FSMs

A estrutura de uma FSM é composta pelo registrador de estado, a lógica de transição de estados e a lógica de saída. O registrador de estados é composta por FFs, geralmente do

tipo D, enquanto que tanto a lógica de saída quanto a lógica de transição são implementados a partir de circuitos combinacionais, sendo que a ligação entre esses componentes varia conforme o tipo da FSM.

Existem dois tipos de FSMs, dos tipos *Moore* e *Mealy*, sendo que a lógica de transição de estados nos dois tipos depende do estado atual e das entradas, de modo que muda somente a lógica de saída. Na FSM do tipo *Moore* a saída depende somente do estado atual enquanto que no tipo *Mealy* depende do estado atual e também das entradas da FSM. A Figura 2.2 mostra a estrutura geral das FSMs.

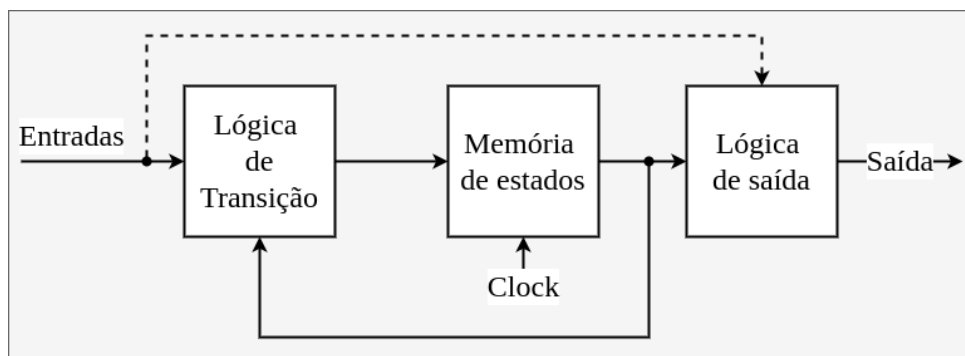


Figura 2.2 – Estrutura de FSMs do tipo *Moore* e *Mealy* adaptado de (WAKERLY, 2006).

2.2 Projeto RTL

O projeto RTL (*Register Transfer Level*) começa com a identificação do comportamento de um circuito e a partir deste comportamento o projetista estabelece as transferências e operações realizadas com as entradas, saídas e registradores, bem como o controle dessas transferências e operações necessárias para obter um circuito lógico digital (VAHID, 2007)

Um projeto RTL geralmente possui dois circuitos principais, ambos sincronizados por um mesmo clock, que precisam ser elaborados, como mostra a Figura 2.3. Primeiramente o *bloco de controle* que consiste em uma FSM e, em segundo lugar, o *bloco operacional*, que contém todas as operações e registradores necessários para o funcionamento do circuito.

O bloco de controle, como mencionado anteriormente, é basicamente uma FSM que recebe sinais binários de entrada, inclusive do bloco operacional, e controla os registradores e operações a partir de sinais de habilitação, *reset* e carregamento. Enquanto que o bloco operacional recebe os estímulos do bloco de controle em conjunto com as entradas de dados para realizar operações aritméticas, lógicas, relacionais, de deslocamento, entre outras. A Figura 2.4 mostra um exemplo de projeto RTL de um barramento simples que possui um bloco de controle que espera um endereço para realizar o envio de dados e um bloco operacional que salva os valores de 'Q' em um registrador e, ao receber um endereço válido, envia um sinal para o bloco de controle para enviar o dado.

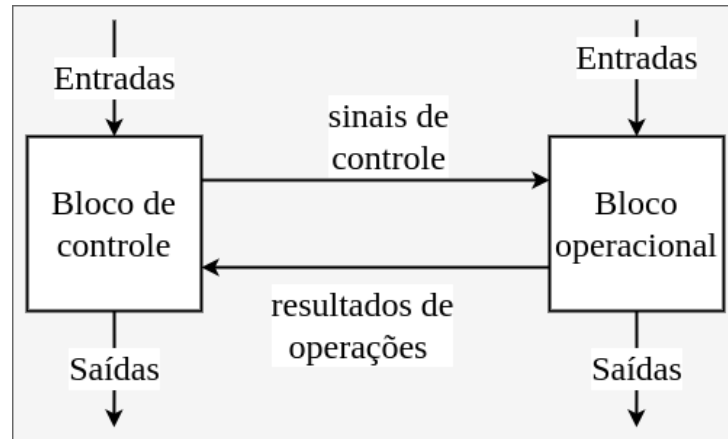


Figura 2.3 – Principais blocos de um projeto RTL.

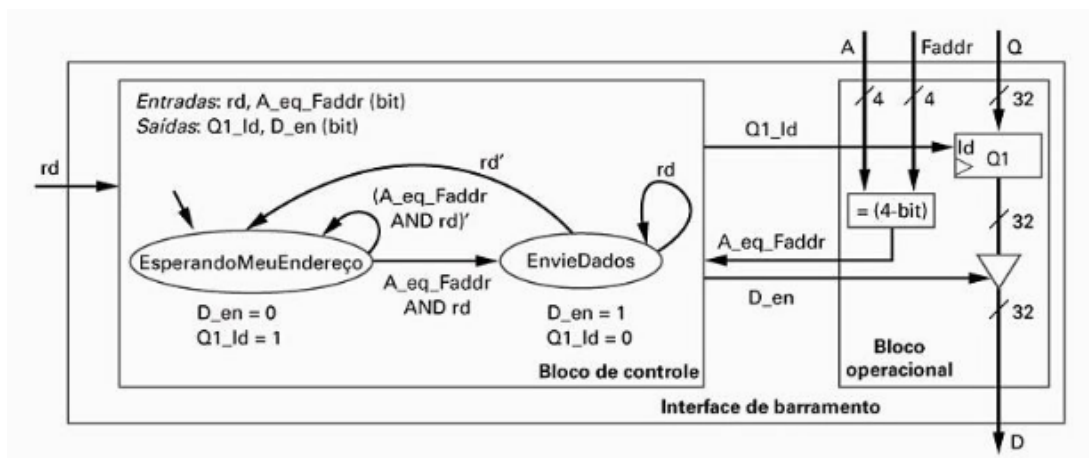


Figura 2.4 – Bloco operacional e de controle de uma interface de barramento simples (VAHID, 2007).

Normalmente a implementação de projetos RTL é custosa e complexa porque cada circuito necessita de componentes específicos. Assim, a partir do uso de FPGAs é possível rapidamente implementar e testar estes circuitos.

2.3 FPGAs e Sistemas em Chip (SoC)

Um FPGA contém um agrupamento de células lógicas genéricas em conjunto com interruptores programáveis para rotear as conexões entre células, assim a partir da combinação entre funções programadas em cada célula e o roteamento feito a partir dos interruptores é possível criar diversos circuitos digitais (CHU, 2008). Além de que essas células são reprogramáveis, assim, o dispositivo pode, em alguns casos, trocar de função após e até mesmo durante a sua utilização (AMD, 2023a).

As células lógicas, geramente, possuem uma *Look-Up Table* (LUT), um conjunto de flip-flops tipo D, multiplexadores e unidades de carry, sendo possível implementar circuitos combinacionais e sequenciais a partir delas. Algumas famílias de FPGAs agrupam duas células lógicas para formar um *slice* e quatro *slices* para formar um *Configurable Logic Block*

(CLB) (CHU, 2008). As arquiteturas mais recentes, como mostra a Figura 2.5, possuem blocos com diversas funções como CLBs, *Block Random Access Memorys* (BRAMs) e *Digital Signal Processing* (DSP) bem como blocos para gerenciamento de *clock*.

A demanda por sistemas embarcados para uso específico e parametrizáveis levaram a criação de SoCs que integram FPGAs, processadores de software e vários outros periféricos.

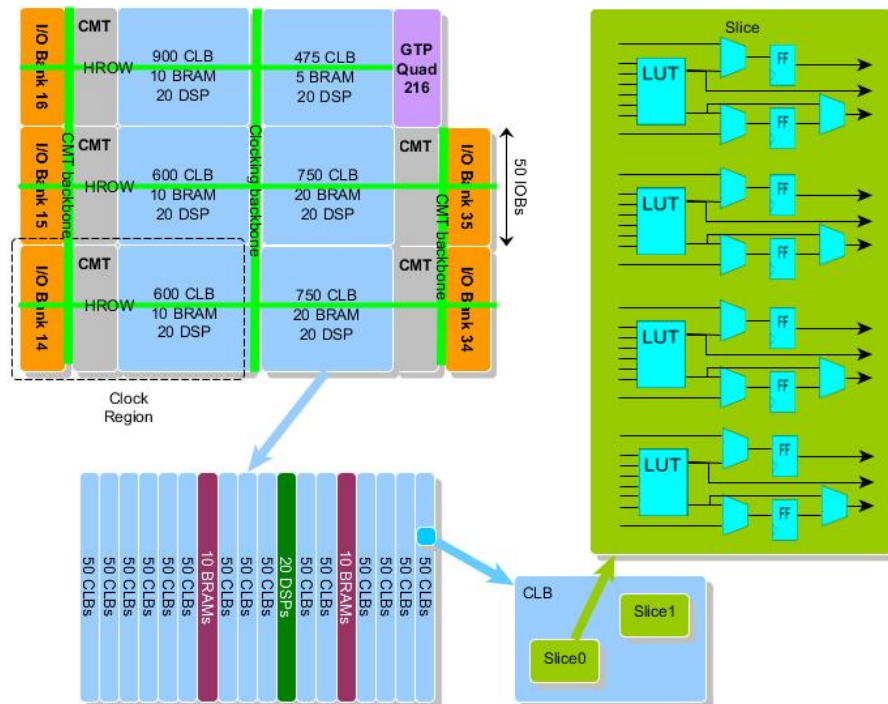


Figura 2.5 – Layout do FPGA Artix XC7A35T (EB, 2015).

A arquitetura *Zynq-7000*, mostrada na Figura 2.6, apresenta uma arquitetura poderosa que integra um processador ARM com um FPGA Artix-7. A arquitetura *Zynq-7000* possui diversas interfaces de comunicação AXI e periféricos e recursos, tais como: suporte a memória DDR3, PCIe Gen 2, USB 2.0, SD/SDIO, interfaces de comunicação SPI, UART, I2C, e conversores analógico digital.

Os SoCs geraram uma demanda para a criação de projetos que integram hardware e software e, por causa dessa integração, estes projetos tornam-se altamente complexos, por esse motivo técnicas de *High-Level Synthesis* (HLS) se tornaram atrativas para executá-los.

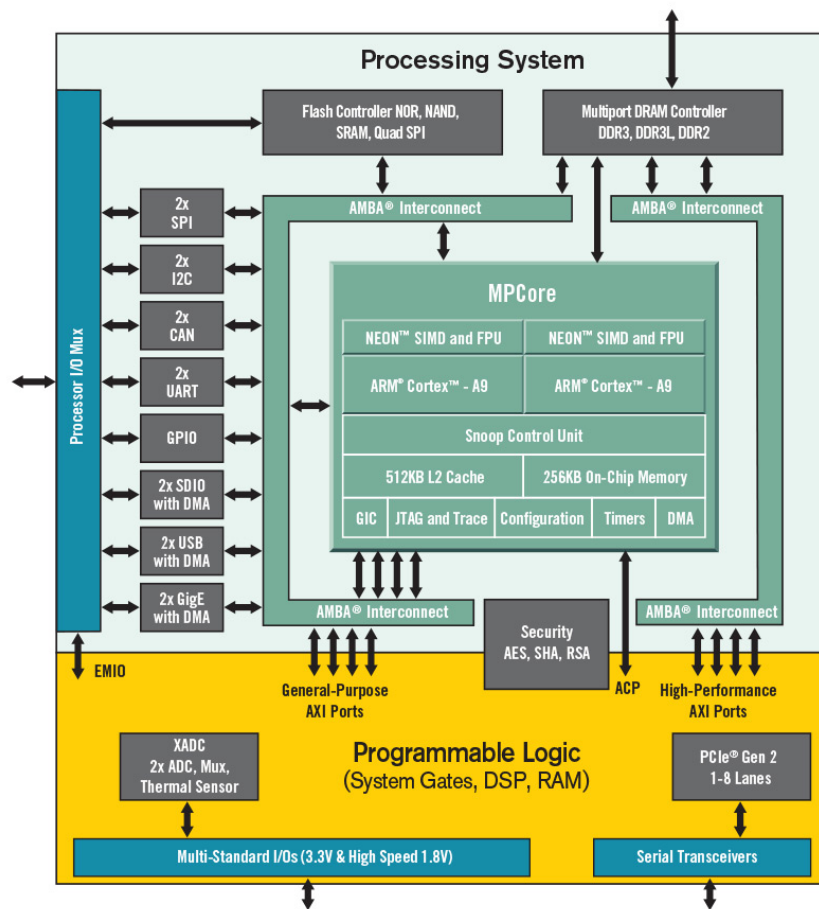


Figura 2.6 – Arquitetura Zynq-7000 (AMD, 2023b).

2.4 Síntese de Alto Nível (HLS)

HLS são ferramentas que utilizam de uma descrição em alto nível de um sistema para gerar uma estrutura RTL equivalente. Um fluxo de projeto utilizando este tipo de ferramenta segue os seguintes passos: (a) criação do sistema em linguagem de alto nível; (b) verificação da funcionalidade do sistema; (9)c) utilização da ferramenta para gerar o RTL correspondente; (d) verificação do RTL gerado e a experimentação com diferentes arquiteturas a partir de um mesmo sistema (XILINX, 2023).

As ferramentas HLS geram a arquitetura RTL a partir de algoritmos genéricos e levam em consideração certos objetivos do projetista como a área utilizada, *throughput*, potência, dispositivo SoC, entre outros (PROST-BOUCLE; MULLER; ROUSSEAU, 2013). Assim, a HLS permite a reutilização de uma mesma arquitetura em diversas plataformas e configurações diferentes.

As tarefas realizadas por uma ferramenta HLS de forma geral são (COUSSY et al., 2009):

- Compilar a especificação: transformar a descrição do sistema em uma representação

formal;

- Alocação de recursos: define tipos e número de recursos necessários para satisfazer os objetivos do projetista;
- Agendamento (*schedule*) de operações: define a ordem em que as operações são realizadas, bem como devem ser realizadas em sequências ou paralelamente;
- Vinculação (*binding*): variáveis são vinculadas às unidades de armazenamento, operações vinculadas às unidades funcionais e ligações a multiplexadores e barramentos;
- Geração da arquitetura RTL: Implementação da arquitetura a partir de componentes RTL.

O HLS apresenta uma maneira automatizada e rápida para gerar arquiteturas RTL a partir de descrições de alto nível. O *Vitis HLS*, por exemplo, é uma aplicação capaz não somente de gerar a estrutura RTL como também integrá-la com processadores de software presentes nos SoCs, o que costuma ser feito usando o protocolo AXI4 utilizado pela Xilinx. O *Vitis HLS*, por exemplo, consegue utilizar o protocolo AXI para realizar o acesso a diferentes tipos de dados como está indicado na Figura 2.7. Assim ferramentas de HLS são muito importantes na implementação de co-projetos hardware/software pela capacidade de alcançar uma solução satisfatória em um tempo relativamente pequeno.

C-argument type	Paradigm	Interface protocol (I/O/Inout)
Scalar(pass by value)	Register	AXI4-Lite (<code>s_axilite</code>)
Array	Memory	AXI4 Memory Mapped (<code>m_axi</code>)
Pointer to array	Memory	<code>m_axi</code>
Pointer to scalar	Register	<code>s_axilite</code>
Reference	Register	<code>s_axilite</code>
<code>hls::stream</code>	Stream	AXI4-Stream (<code>axis</code>)

Figura 2.7 – Tipos de paradigma e protocolos AXI utilizados no *Vitis HLS* (XILINX, 2023).

2.5 Interfaces AXI4

AXI4 é um protocolo adotado pela AMD para realizar transferência de informações entre propriedades intelectuais diferentes. Sendo que existem três tipos de interfaces diferentes : AXI4, para requisitos de mapeamento de memória de alta performance, AXI4-Lite, similar ao AXI4, porém utilizado em baixas taxas de dados, e AXI4-Stream, utilizado quando é necessária alta velocidade de transferência de dados (AMD, 2017).

2.5.1 AXI4 e AXI4-Lite

As interfaces AXI4 e AXI4-Lite são protocolos mapeados em memória em que as transações ocorrem a partir do envio de um endereço de memória alvo, sendo diferente do protocolo AXI4-Stream que é centrado no fluxo de dados com um canal unidirecional (AMD, 2017).

A AXI4 e AXI4-Lite são bem semelhantes com a capacidade de movimentar dados do dispositivo principal para o secundário e realizar o caminho contrário simultaneamente. Porém o AXI4-Lite somente consegue realizar uma transferência de dados por transação enquanto que a interface AXI4 consegue realizar até 256 transferências de dados (AMD, 2017).

As duas interfaces possuem cinco canais: canal de endereço de leitura, canal de endereço de escrita, canal de dados de leitura, canal de dados de escrita, canal de resposta de escrita. Estes são os canais que permitem a simultaneidade dessas interfaces, sendo que o AXI4 permite o uso de diferentes *clocks* entre diferentes sistemas interligados por AXI (AMD, 2017).

Logo, as interfaces AXI4 são um importante componente para interligar diferentes circuitos e sistemas processados.

2.6 Estado da Arte

Ferramentas geradoras de códigos são variadas em natureza e aplicações. A *Aldec*, por exemplo, possui a ferramenta *Active-HDL* que é capaz de receber entradas tanto de texto quanto gráficas, esquemáticos e diagramas de estados, para gerar códigos em HDL (WILSON, s.d.). Similarmente a ferramenta *Forsyde-SystemC* utiliza modelos de computação (MoCs) e técnicas de descrição formal de sistemas ciber-físicos, semelhantes ao estilo de fluxo de dados (*data-flow*), para gerar códigos em HDL a partir de descrição em SystemC (FORSYDE, s.d.). Por outro lado, a ferramenta *Vitis HLS* utiliza-se de códigos em linguagens de alto nível C ou C++ para gerar estruturas RTL (XILINX, 2023).

Na Universidade de Brasília foi desenvolvida uma ferramenta de uso geral focada em sistemas dinamicamente reconfiguráveis, chamada *RTR-Lib*. O *RTR-Lib* é uma aplicação baseada em *Matlab-Simulink* em conjunto com um repositório com vários componentes pré-caracterizados para gerar códigos VHDL, sendo que esta aplicação se destaca por possuir suporte ao protocolo de comunicação AXI4-Lite usando dispositivos *Zynq-7000* da Xilinx (IVO; MUÑOZ, D. M., 2019).

Além de alguns geradores de aplicação geral, existem também vários geradores de aplicação específica. Uma área de aplicação é em geradores de controladores *fuzzy*, o mais conhecido da área é o *Xfuzzy* que utiliza uma plataforma gráfica para auxiliar na síntese

de lógica *fuzzy* em hardware e software (LOPEZ et al., 1998). Outro caso interessante é o *FLOA*, desenvolvida na Universidade de Brasília (UNB), que se utiliza de uma interface gráfica criada no *Matlab* para obter parâmetros de controladores *fuzzy Takagi-Sugeno* e, assim, gerar códigos VHDL que implementam este controlador, sendo que esta aplicação se destaca pela complexidade da interface gráfica utilizada e a capacidade de parametrização dos controladores (JESUS, 2017).

Uma aplicação que potencialmente pode se beneficiar da implementação de geradores de códigos são algoritmos de otimização bioinspirados porque apresentam alto potencial de paralelismo, visto que em sua concepção são utilizadas partículas, *swarm units*, que podem executar seus cálculos paralelamente (ARBOLEDA et al., 2009). Sendo que as estruturas desses algoritmos podem ser implementados tanto parcialmente em FPGAs quanto completamente para acelerar os cálculos (MUÑOZ, D. M.; LLANOS et al., 2010).

Uma grande porção dos geradores de código desenvolvidos na UnB são relacionados à *Machine Learning* (ML) devido à estrutura regular que estas possuem e a necessidade de acelerar as operações que envolvem ML. A ferramenta *vRBFgen* desenvolvida no *Matlab* que a partir da topologia e a largura de bits do ponto flutuante de uma rede *Radial Basis Function Neural Network* (RBFNN), gera automaticamente o código VHDL correspondente (AYALA et al., 2017). Outro trabalho, que trata de interfaces mioelétricas para controle de próteses de mão robóticas (*magnetic tracking*) inclui um gerador de regressores lineares chamado *pLinRgen* que gera o código VHDL da estrutura linear do problema proposto utilizando uma combinação de arquiteturas *pipeline* e FSMs, podendo ser configurada com diversos parâmetros (MENDEZ et al., 2022).

Finalizando, outra aplicação semelhante é a *DNNBuilder* que recebe os arquivos de definição de uma *Deep Neural Network* (DNN) em conjunto com seus pesos para gerar aceleradores em hardware para a respectiva rede (ZHANG et al., 2018).

Portanto, a geração de códigos de HDLs é bastante explorada. Sendo que a maioria dos geradores são para aplicações específicas, mas há também uma boa quantidade de geradores de uso geral. No entanto, a maioria desses geradores são ou para uso da indústria ou para uso acadêmico, assim, percebe-se uma carência de geradores para o uso didático. Por fim, a tabela 2.1 compara diversos geradores em relação aos seus recursos.

Tabela 2.1 – Comparação entre geradores de códigos.

Autor (ano)	Nome da Ferramenta	Descrição gráfica	Geração de FSM	Geração RTL	Geração de testbench	Comunicação com interface AXI	Observações
Xilinx(2019)	Vitis HLS	Não	Sim	Sim	Não	Sim	Ferramenta de uso industrial e proprietária.
Aldec(1997)	Active-HDL	Sim	Sim	Sim	Não	Não	Ferramenta de uso industrial e proprietária.
ForSyDe(2011)	ForSyDe-SystemC	Sim	Não	Não*	Não	Não	Apesar de não gerar RTL, gera estrutura de fluxo de dados.
Ivo(2019)	RTRLlib	Sim	Não	Sim	Não	Sim	Ferramenta de uso acadêmico com foco em reconfiguração dinâmica.
López(1998)	Xfuzzy	Sim	Não	Sim	Não	Não	<i>Ferramenta com foco em lógica fuzzy.</i>
Jesus(2017)	FLOA	Sim	Não	Sim	Não	Não	<i>Ferramenta com foco em controladores fuzzy.</i>
Este trabalho	Hilda	Sim	Sim	Sim	Sim	Sim	Ferramenta para uso didático.

3 Metodologia

Este capítulo apresenta primeiramente as ferramentas computacionais usadas no desenvolvimento do trabalho e os kits de desenvolvimento FPGA para realização de testes físicos. Em seguida se apresentam os métodos e técnicas usadas no desenvolvimento de cada ferramenta da aplicação proposta, sendo que foi empregado um cuidado especial para tentar respeitar a indentação e criar um código legível.

3.1 Ferramentas utilizadas neste trabalho

Este trabalho se apoia especialmente diversas ferramentas de software livre como o Draw.io, Godot e o GTKWave. Mas utiliza, também, algumas plataformas e placas proprietárias que fazem parte do fluxo de projeto da eletrônica digital.

3.1.1 Draw.io

Draw.io é uma ferramenta gratuita e *open-source* para a criação de diagramas de posse e desenvolvida pela JGraph Ltd e Draw.io AG. Ela é usada como base deste trabalho porque possui uma grande variedade de elementos utilizáveis, além de permitir exportar seus diagramas em formato .XML.

3.1.2 Godot

Godot é uma *game engine* gratuita e *open-source* que pode ser utilizada para a criação de Interfaces de Usuário (UI). Godot possui diversos elementos utilizados em UI como janelas de escolha de arquivos, botões, campos de entrada de texto, entre outros. Uma das principais vantagens do *Godot* é que ele possui a capacidade de gerar executáveis de seus programas para vários sistemas operacionais como o Linux, Windows e mobile, permitindo criar aplicações multiplataforma.

3.1.3 Vivado

Vivado é uma aplicação da *AMD-Xilinx* capaz de, a partir de *Hardware Description Languages* (HDLs), implementar de circuitos digitais combinacionais e sequenciais, desenvolver co-projetos hardware/software, e programar SoCs FPGAs. O Vivado apresenta também uma série de blocos de propriedade intelectual (IPs) da *Xilinx* que podem facilmente ser utilizados. Todas as placas de desenvolvimento utilizadas neste trabalho usam SoCs FPGAs da Xilinx, portanto, é necessário utilizar o Vivado.

3.1.4 Placa de Desenvolvimento Basys3

A Basys3 é uma placa de desenvolvimento FPGA da Digilent que é normalmente utilizada para fins educacionais devido aos recursos didáticos tais como chaves, botões, leds, displays de sete segmentos, porta VGA, entre outros. Possui um FPGA Artix-7 da Xilinx com 33280 CLBs, 20800 LUTs, 41600 FFs, 1800Kbits em blocos de RAM e 90 DSPs. A Figura 3.8 mostra a imagem de uma placa Basys3 e seus diversos recursos.

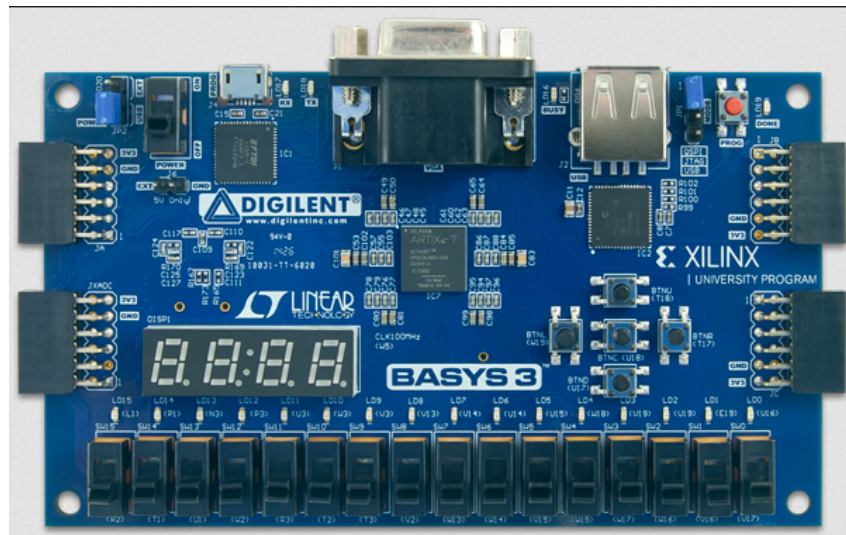
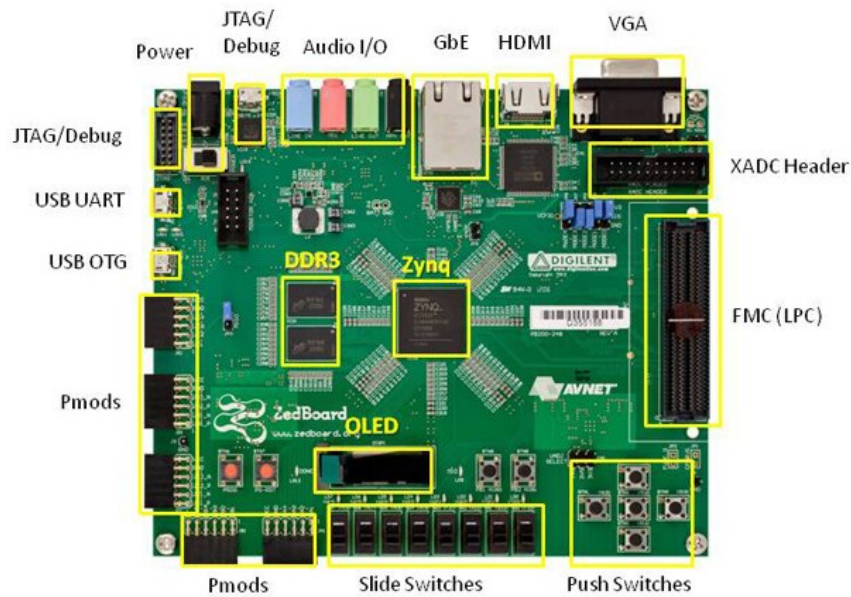


Figura 3.8 – Exemplo de uma placa *Basys3* (DIGILENT, 2023).

3.1.5 Placa de Desenvolvimento Zedboard

O kit de desenvolvimento Zedboard da Avnet, como mostra a Figura 3.9, é um SoC com muitos recursos que será utilizado para o desenvolvimento do que tange à integração de software e hardware deste projeto. Alguns de seus recursos são listados abaixo:

- Chip Zynq 7020 com dois processadores ARM Cortex A9 e FPGA Artix 7;
- 512 MB DDR3;
- 8-bit VGA;
- 8 interruptores, 7 botões, display LCD;
- Conversor XADC de oito canais e 100 MSPS;
- interfaces USB 2.0, HDMI e de entrada e saída de audio;
- USB-UART;
- Porta Ethernet;
- Suporte a PetaLinux BSP.



* SD card cage and QSPI Flash reside on backside of board

Figura 3.9 – Placa Zedboard da Avnet (AVNET, 2023).

3.1.6 GTKWave

GTKWave é um visualizador de ondas utilizado para depurar simulações em VHDL e Verilog, que possui suporte a diversos formatos de onda. Neste projeto, o GTKWave foi utilizado para visualizar as ondas resultantes das simulações utilizando o gHDL que salva os formatos de onda em um arquivo GHW.

3.2 Biblioteca de Elementos no Draw.io

Para começar o desenvolvimento das ferramentas primeiramente é necessário convencionar como serão feitos os diagramas que irão descrever máquinas de estados finitos e projetos RTL. Assim, abaixo são descritos como foram selecionados os diversos elementos utilizados nas ferramentas vFSMgen e vRTLgen.

3.2.1 Elementos utilizados na ferramenta vFSMgen

O gerador de FSMs utiliza pouquíssimos elementos. Sendo necessário somente um elemento para os estados, um bloco para designar os valores das saídas de cada estado, no caso das FSMs do tipo Moore, e um elemento para designar o valor de cada variável de entrada. Sendo também necessário um elemento para indicar as transições dos estados, bem como as saídas no caso das FSMs do tipo Mealy.

Para os estados foram escolhidos os elementos *Retângulo*, incluindo o *Quadrado*, e

Círculo, todos presentes no *Draw.io*. Estes dois objetos foram escolhidos porque essas são as figuras mais utilizadas, no geral, neste tipo de diagrama. A Figura 3.10 mostra um exemplo de diagrama de estados utilizando o *Quadrado*.

Para indicar as saídas de cada estado é utilizado o elemento *Lista*. Cada lista é identificada pelo seu nome, que deve ser igual ao nome do estado ao qual ela está se referindo. Cada um de seus elementos indica um valor de saída da FSM e eles são atribuídos utilizando quase a mesma sintaxe de atribuição do VHDL (`'nome' <= 'valor'`) como mostra a Figura 3.10, sendo que não é necessário terminar a atribuição com o ponto e vírgula.

As *Listas* são muito versáteis, podendo exercer várias funções ao atrelar o nome da lista à uma função específica. Uma dessas funções é identificar os valores de saída. Na Figura 3.10 há uma lista com o nome *Variables* que tem a função de indicar os nomes das entradas das FSMs. Outra função é designar o nome das saídas do tipo *Mealy*, esta, no caso, é atrelada ao nome *Variables_Mealy*. Estas duas funções serão aprofundadas posteriormente.

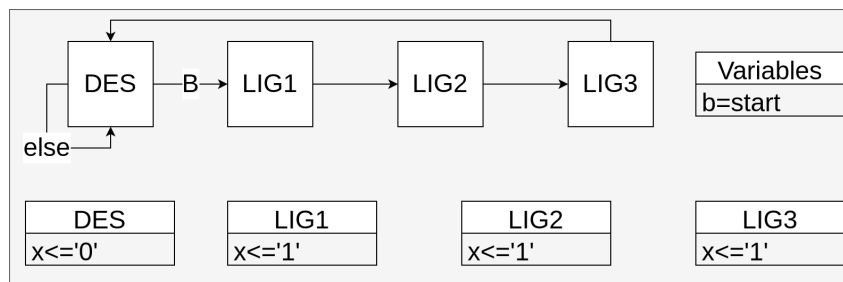


Figura 3.10 – Exemplo de uma FSM simples do tipo Moore.

A *Linha* indica a transição de um estado para outro. Nos rótulos das *Linhas*, as variáveis que condicionam as transições são indicadas por uma única letra, se a letra for minúscula, a transição ocorrerá quando o valor da variável for '0' e quando a letra for maiúscula ocorrerá quando o valor for '1', e uma linha sem rótulo indica uma transição não condicionada. Os estados que podem transicionar para mais de um estado necessariamente precisam de uma transição do tipo *else*, obrigando, assim, o projetista a contemplar todas as possibilidades. Na figura 3.10, por exemplo, a transição de *DES* para *LIG1* ocorre quando o valor de 'B' é igual a '1', nos outros casos a FSM continua no estado *DES*.

As transições entre estados, muitas vezes, são compostas por operações lógicas mais complexas oriundas da combinação de operadores 'e' e 'ou'. No diagrama o símbolo '&' representa a lógica 'e' e o símbolo '|' representa a lógica 'ou', sendo também possível utilizar parênteses. A Figura 3.11 exemplifica um diagrama com transições de maior complexidade.

Até então foram mostrados somente exemplos de FSMs do tipo *Moore*, mas em algumas situações são necessárias as FSMs do tipo *Mealy* e nesse caso o valor das saídas são definidas nas transições entre estados. Esse tipo de saída é implementado no rótulo das *Linhas*, sendo que elas são separadas da lógica de transição utilizando uma barra ('/'),

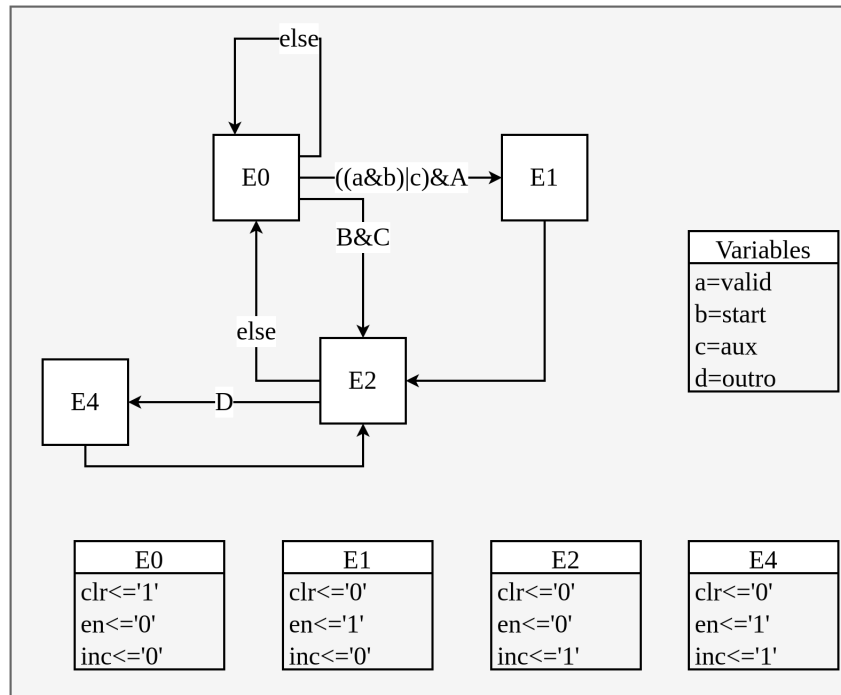


Figura 3.11 – Exemplo de uma FSM do tipo Moore com transições mais complexas.

assim, de forma geral, o rótulo é representado por ‘lógica de transição’/‘saídas mealy’, como mostra a Figura 3.12.

A partir da Figura 3.12 também é possível notar como as *Listas* são utilizadas para definir os nomes das variáveis que aparecem nas transições. Tanto os nomes das variáveis utilizadas na lógica de transição pela Lista denominada *Variables* quanto das variáveis utilizadas nas saídas das FSMs do tipo *Mealy*, designada por *Variables_mealy*. O valor que está na esquerda é trocado pelo valor que está na direita ao gerar o código, assim, as variáveis que aparecem nos rótulos das *Linhas* são somente auxiliares.

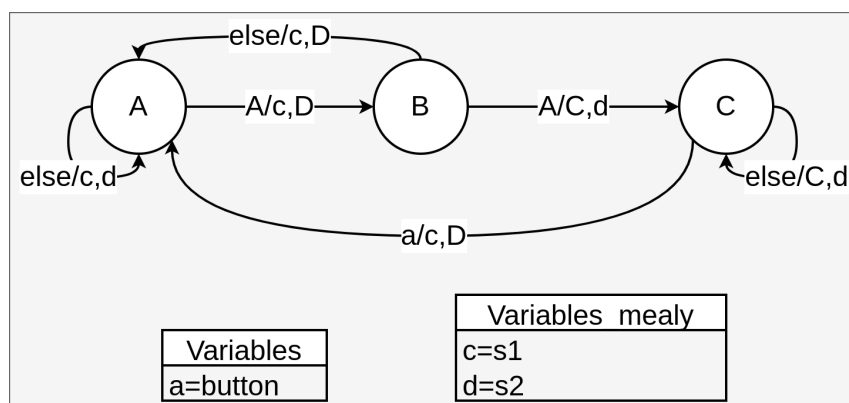


Figura 3.12 – Exemplo de uma FSM do tipo Mealy.

3.2.2 Elementos utilizados na ferramenta vRTLgen

O gerador RTL apresenta uma quantidade maior de elementos em função de sua complexidade. Então, para reproduzir um diagrama de um projeto RTL é preciso de elementos que representem:

- Entradas, saídas e constantes;
- Instanciação de componentes provenientes de códigos VHDL;
- Geradores de códigos;
- Listas de constantes e tipos;
- Ligações entre diferentes componentes e geradores;

3.2.2.1 Entradas e saídas

A descrição de um circuito em VHDL começa pela entidade, nesta são definidas as portas de entrada e saída dos circuitos, logo, é necessário definir elementos no diagrama para representar essas portas. Tal elemento deve ter a capacidade de incorporar as características de uma porta, ou seja, um nome, modo e um tipo.

Este trabalho abrange somente os modos *in* e *out*, sendo que foram escolhidos um elemento do Draw.io para cada um dos modos. Para o modo *in* foi escolhido o elemento DAC e o elemento Delta para o modo *out*, no entanto, o elemento gráfico somente indica o modo, o nome e o tipo são indicados pelo texto do elemento separados por uma barra. A Figura 3.13 apresenta um circuito com duas entradas destacadas em vermelho, uma saída destacada em roxo e em amarelo um gerador de código simples, que gera uma porta lógica 'e' entre as duas entradas.

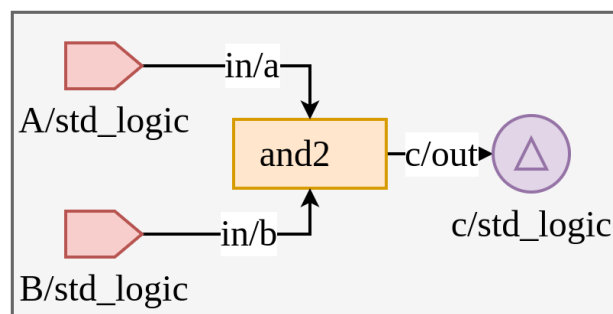


Figura 3.13 – Exemplo de um esquemático simples.

3.2.2.2 Geradores de códigos

Os geradores de código utilizados nesse trabalho são recursos que precisam ser parametrizáveis, assim, além do nome do gerador escolhido, é preciso que os geradores possam receber uma quantidade variável de parâmetros.

Para os geradores de código foi escolhido o bloco *Retângulo*, como mostra o retângulo laranja da Figura 3.13. O texto do bloco contém, primeiramente, o nome do gerador em Python escolhido, que nesse caso gera uma função ‘e’ de duas entradas, e em seguida, seus diversos argumentos divididos por barras, quando há argumentos.

3.2.2.3 Componentes VHDL

A ferramenta *vRTLgen* precisa ter a capacidade de instanciar componentes descritos a partir códigos VHDL, assim, o elemento escolhido foi o *Dual In-Line IC* pelo formato de circuito integrado do elemento. O nome do componente é o nome da instância de componente. A Figura 3.14 mostra um exemplo de um circuito com um componente instanciado destacado em azul e além dos elementos anteriormente discutidos, a Figura 3.14 também apresenta o elemento *Generic Component*, em verde, que representa uma constante na entrada de um componente ou gerador de código.

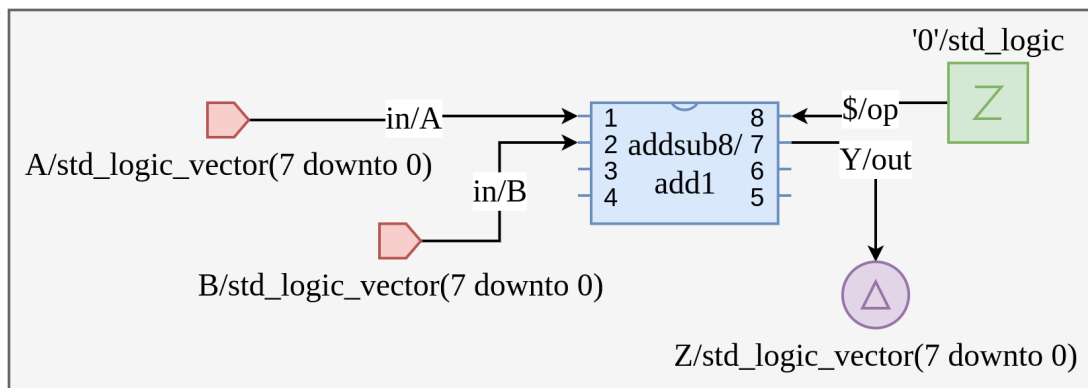


Figura 3.14 – Exemplo de um esquemático utilizando a instanciação de componentes.

3.2.2.4 Listas de constantes e tipos

Em códigos VHDL é muito importante a capacidade de criar constantes para fins específicos e também tipos personalizados que se adequem à aplicação que está sendo desenvolvida. Ambos os casos podem ser implementados a partir de Listas, pois elas podem assumir diferentes funções como mostrado na seção 3.2.1. A função de cada lista é definida por seu nome, para tipos é usado *Types_list* e para constantes é usado o nome *Constant_list* (vide Figura 3.15).

O funcionamento das duas listas é bem simples, a lista de constantes recebe o nome, tipo e valor, separados por sinais de igual. A lista de tipos recebe o nome do tipo e os valores que ele pode receber separados por um sinal de igual.

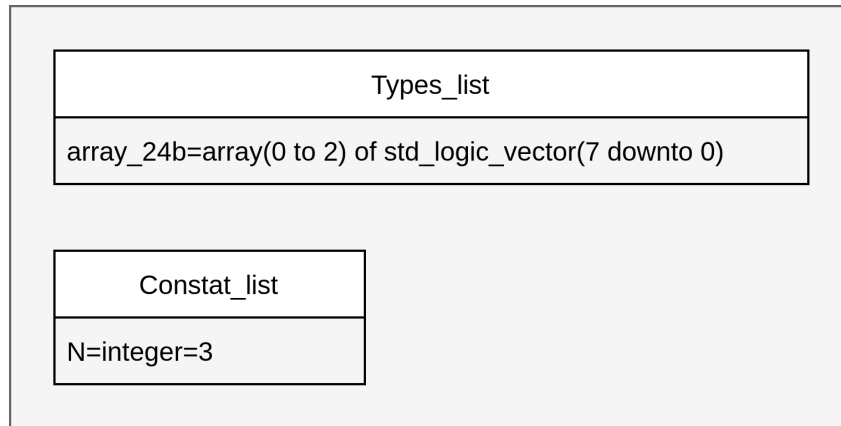


Figura 3.15 – Listas de constantes e tipos.

3.2.2.5 Conexões entre diferentes elementos

O Draw.io é uma ferramenta de uso geral para a criação de diagramas, então foi necessário criar uma forma de indicar as ligações entre os componentes de maneira que seja possível distinguir a origem e o destino de cada dado, ou seja, distinguir o fluxo de dados. É importante pontuar que as ligações funcionam da mesma forma para instâncias e geradores.

Como visto nos exemplos anteriores, é utilizada a *Linha* para conectar todos os elementos, sendo que o fluxo dos dados é apresentado em seu rótulo e devem ser representadas conexões entre:

- Entradas e componentes;
- Componentes e saídas;
- Constantes e componentes;
- Componentes entre si.

O fluxo dos dados é descrito no rótulo da *Linha* sempre usando o formato "‘fonte’/‘destino’". Quando um sinal tem origem em uma entrada a fonte deve ser necessariamente especificada como 'in' e quando o sinal se destina a uma saída o destino deve ser necessariamente 'out', como ilustra a Figura 3.13. Outro caso ocorre quando a entrada de um componente é uma constante, nesta situação a fonte deve necessariamente ser '\$' como mostra a Figura 3.14. Por fim, há a conexão entre componentes, a fonte deve receber o nome da porta do componente de origem e o destino deve receber a porta do componente de destino como demonstrado na Figura 3.16, onde a saída de um somador é a entrada de outro.

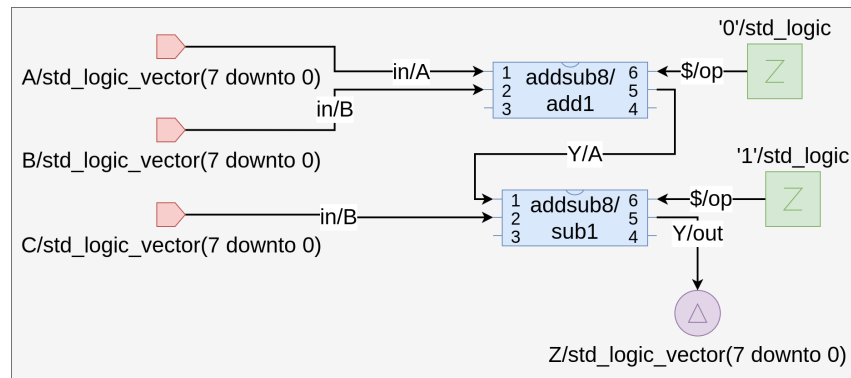


Figura 3.16 – Exemplo de dois somadores/subtratores de 8 bits interligados.

3.3 Desenvolvimento do vFSMgen

A vFSMgen é uma ferramenta pensada para realizar tanto a geração de FSMs do tipo Mealy quanto Moore, assim foi necessário criar um código capaz de criar os dois tipos de FSM. Esta seção apresenta o desenvolvimento da ferramenta em detalhes.

3.3.1 Desenvolvimento do *parser*

É possível exportar os diagramas do Draw.io em um formato .xml ou .drawio. Os dois arquivos possuem, basicamente, a mesma estrutura, mas a partir de arquivos .xml é possível exportar cada diagrama separadamente. Assim, um *parser* pode ser desenvolvido tanto para diagramas individuais quanto para um conjunto de diagramas, extraindo todas as informações dos diagramas. Dado que a ferramenta HiLDA utiliza arquivos .xml para os diagramas, é necessário entender sua estrutura.

Os arquivos .xml contêm informações que são utilizadas para determinar:

- Um identificador próprio de cada elemento;
- Elementos presentes dos diagramas;
- Função de cada elemento;
- Conexões entre elementos.

Os diagramas são compostos por etiquetas ou *tags*, em estruturas hierárquicas, que podem conter textos e atributos. A partir destes textos e atributos o *parser* obtém as informações necessárias. As etiquetas de cada elemento dos diagramas possuem o nome *mxCell* em que são presentes os seguintes atributos:

- **Id:** Apresenta uma identificação única para cada elemento;

- **Value:** Indica o texto contido no elemento. Este elemento pode indicar tanto o nome de um estado quanto representar a função de uma lista;
- **Style:** Define qual elemento está sendo utilizado pela propriedade “shape”. No código 3.1, linha 8, há a definição de um componente do tipo *circuito integrado* ;
- **Source e target:** Em uma linha indica qual a fonte da linha e o seu destino final;
- **Parent:** Indica se o elemento pertence a outro elemento e especifica o Id do elemento pai.

Código 3.1 – Exemplo de código .xml exportado do Draw.io.

```

1 <mxGraphModel dx="800" dy="531" grid="1" gridSize="10" guides="1"
  tooltips="1" connect="1" arrows="1" fold="1" page="1"
  pageScale="1" pageWidth="1169" pageHeight="827" math="0"
  shadow="0">
2 <root>
3   <mxCell id="0" />
4   <mxCell id="1" parent="0" />
5
6   <mxCell id="VNDJfdysLbIDVn8irZk3 -1"
7     value="IC"
8     style="shadow=0;dashed=0;align=center;html=1;strokeWidth=1;
9           shape=mxgraph.electrical.logic_gates.dual_inline_ic;
10          labelNames=a,b,c,d,e,f,g,h,i,j,k,l,m,n,o,p,q,r,s,t;
11          whiteSpace=wrap;"
12     vertex="1"
13     parent="1">
14
15     <mxGeometry x="340" y="110" width="100" height="200"
16       as="geometry" />
17   </mxCell>
18 </root>
</mxGraphModel>

```

O *parser* utiliza a biblioteca xml presente no *Python* para abrir os arquivos xml e ler seu conteúdo. Em seguida, cada elemento do gráfico é analisado a partir do atributo *style* e, dependendo do valor, o elemento é adicionado a um dicionário, também conhecido como “vetor associativo”, relativo ao seu elemento. A associação de cada valor e sua respectiva lista é ilustrada na Tabela 3.2.

A Figura 3.17 mostra como o *parser* inicialmente separa cada elemento do diagrama dependendo do valor encontrado em *style*. O valor “whiteSpace=wrap” indica um estado da FSM, e seu valor, que indica o nome do estado, é guardado em um dicionário com o seu *Id* como chave. Desta forma cada estado recebe um valor único que aponta somente para ele e independe do seu nome. Neste mesmo caso, em outro dicionário é estocado em uma lista

Tabela 3.2 – Identificadores de cada elemento do diagrama de FSMs.

<i>Texto em Style</i>	Elemento
whiteSpace=wrap	Estado
endArrow	Transição
swimlane	Listas de entradas e saídas
text	Valores de saída da FSM e nomes de variáveis

vazia que conterá as transições pertencentes aquele estado, sendo que a chave também é o *Id* do elemento.

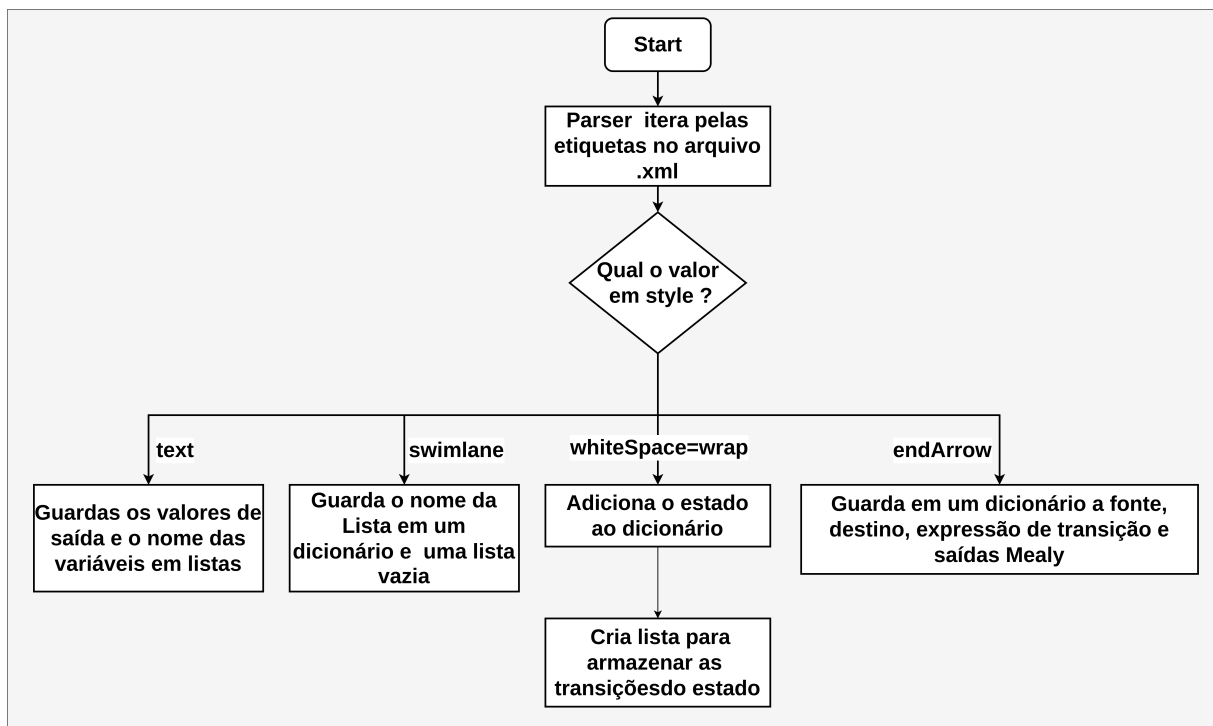


Figura 3.17 – Separação de cada elemento.

Para o valor "endArrow", que indica uma transição, é necessário guardar o *Id* do estado em que a transição se origina, o *Id* do estado alvo, a expressão de transição e os valores de saída para FSMs do tipo Mealy. Os *Ids* dos estados são encontrados nas etiquetas "source" e "target", enquanto que a expressão de transição e os valores de saída estão na etiqueta "value" separados por uma barra, caso haja saída Mealy. Neste caso, a chave é o *Id* único da Linha que aparece no gráfico.

O valor "swimlane" representa as *Listas* de nomes variáveis e saídas de estados para FSMs do tipo Moore. Sendo que a função de cada *Lista* é representada por seu nome, que é

utilizado para criar uma lista onde são estocados os nomes das variáveis e as saídas *Moore*.

O último elemento de valor "text" representa os textos contidos nas Listas e indicam os nomes das variáveis e saídas das FSMs tipo Moore. Neste caso, as listas vazias criadas anteriormente para cada elemento identificado por "swimlane" são finalmente preenchidas. Isso somente é possível porque cada um destes elementos irá possuir um valor na etiqueta "parent" que aponta para a cada lista, facilitando, assim a distribuição de cada elemento. Por fim, cada valor de entrada e saída é adicionado às listas independentes que serão utilizadas na criação da entidade do código VHDL.

Após separar todos os elementos, o programa distribui as transições para cada uma das listas de transições de cada estado. A lista recebe especificamente as transições que originam no estado especificado pelo ID da lista, ou seja, todas as transições que saem daquele estado. E, por fim, as saídas *Mealy* são separadas em um dicionário próprio para facilitar o processo de geração de código. Assim, o programa conterà os dados apresentados na Figura 3.18.

Dicionários e seus conteúdos																	
Estados		Transições do Estado		Transições		Entradas e Saídas											
Chave	Conteúdo	Chave	Conteúdo	Chave	Conteúdo	Chave	Conteúdo										
IDe 1	Estado1	IDe 1	[IDta, ..., IDtz]	IDt 1	(IDs1, IDd1, exp1,mexp1)	IDI 1	(Nome da lista1, [entradas ou saídas])										
IDe 2	Estado2	IDe 2	[IDta1, ... ,IDtz1]	IDt 2	(IDs2, IDd2, exp2,mexp2)	IDI 2	(Nome da lista2, [entradas ou saídas])										
...										
IDe N	Estado N	IDe N	[IDtaN, ... , IDtzN]	IDt N	(IDsN, IDdN, expN,mexpN)	IDI N	(Nome da listaN, [entradas ou saídas])										
Legenda:				Saídas Mealy													
<ul style="list-style-type: none"> • IDE: Identificador de estado; • IDt: Identificador de transição; • IDs: Identificador do estado fonte; • IDd: Identificador do estado destino; • IDI: Identificador da Lista; • exp: Expressão de transição; • mexp: Expressão de saída Mealy; • Vaux: Variável auxiliar. 				<table border="1"> <thead> <tr> <th>Chave</th> <th>Conteúdo</th> </tr> </thead> <tbody> <tr> <td>Vaux1</td> <td>Nome1</td> </tr> <tr> <td>Vaux2</td> <td>Nome2</td> </tr> <tr> <td>...</td> <td>...</td> </tr> <tr> <td>Vaux N</td> <td>NomeN</td> </tr> </tbody> </table>				Chave	Conteúdo	Vaux1	Nome1	Vaux2	Nome2	Vaux N	NomeN
Chave	Conteúdo																
Vaux1	Nome1																
Vaux2	Nome2																
...	...																
Vaux N	NomeN																

Figura 3.18 – Informações obtidas a partir do *parser*.

3.3.2 Geração da estrutura das FSMs

As FSMs possuem estruturas bem simples, sendo que elas possuem, na implementação deste trabalho, três estados muito bem definidos e neste caso o maior desafio para implementá-las é criar um *parser* que contemple tanto as FSMs do tipo Mealy quanto Moore, ao mesmo tempo.

O primeiro passo para montar o arquivo VHDL da FSM é a declaração de bibliotecas. Todas as FSMs do escopo deste trabalho utilizam somente a biblioteca "STD_LOGIC_1164" que

é adicionada no começo de toda FSM gerada.

Em seguida é montada a entidade. O nome da entidade é obtido a partir dos argumentos do programa, sendo o primeiro argumento o nome do arquivo .xml e o segundo o nome da FSM. Logo após, o programa adiciona a porta de *clock* e *reset* e todos os valores de entrada contidos na Lista *Variables* que estão estocados no dicionário de listas de entradas e saídas, como também adiciona os valores de output presentes na lista de outputs. O resumo do processo é mostrado na Figura 3.19.

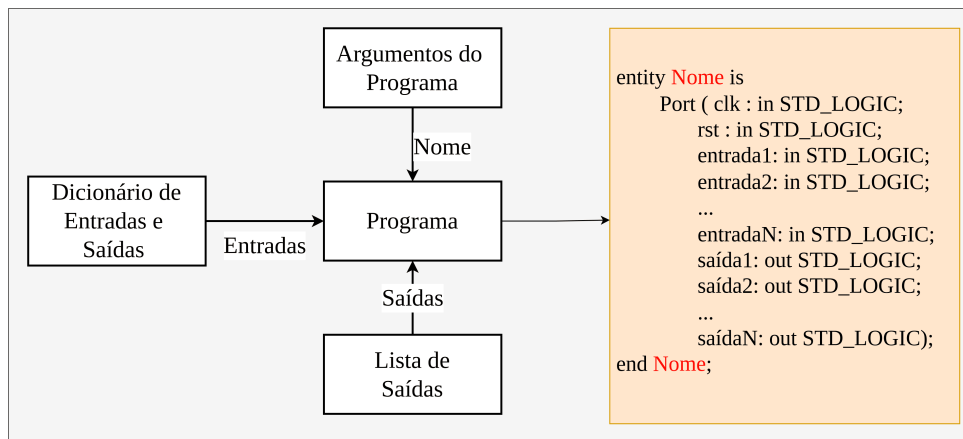


Figura 3.19 – Simplificação do processo de montagem da entidade.

Para montar a arquitetura, primeiramente são criados os tipos dos estados, adicionando os nomes dos estados obtidos. Em seguida são criados os sinais de estado atual e do próximo estado, sendo eles do tipo criado anteriormente.

Após a definição do tipo e a criação dos sinais começa a arquitetura, a qual é desenvolvida com três processos. O primeiro processo cuida do registro dos estados, este possui na lista de sensibilidade somente o *clock* e o *reset* e quando o *reset* recebe o valor '1' a máquina de estados reseta, e, nos casos que o *reset* não está ativado, a cada ciclo de *clock*, o estado atual recebe o próximo estado.

O segundo processo cuida da transição de estados e recebe as entradas da máquina de estados em sua lista de sensibilidade. O programa cria uma estrutura "CASE-WHEN" e itera por todos os estados no dicionário de estados, adicionando-os ao "CASE-WHEN", sendo que para cada estado são adicionadas as transições presentes no dicionário de transições de estado. Para isso, é criada uma estrutura "IF-ELSE" para cada estado com mais de uma transição, inclusive utilizando "ELSIF" para estados com 3 ou mais transições, e os argumentos destes são as expressões de transição presentes no diagrama, porém traduzidas para VHDL. Por fim, é adicionada a condição "When others" que transiciona por padrão para o estado inicial evitando, assim, a criação de *latches*.

O terceiro e último processo é a lógica de saída do circuito que possui a lista de sensibilidade igual ao processo anterior. Novamente é criada uma estrutura "CASE-WHEN" e para cada estado são adicionadas as saídas. Primeiramente são adicionadas as saídas Moore

presentes no dicionário de entradas e saídas, conforme apresentado na Figura 3.18. Isso é feito a partir do nome da lista que deve ser o mesmo nome do estado. Em seguida são adicionadas as saídas *Mealy*, as quais são colocadas dentro de estruturas "IF-ELSE", pois dependem das entradas, que são iguais aquelas presentes na lógica combinacional de transição de estados. Os valores de cada saída são obtidos a partir do dicionário de saídas *Mealy*, sendo que uma letra minúscula indica uma saída '0' e uma letra maiúscula indica uma saída '1'. Por fim, é adicionada a condição "When others" que apresenta todas as saídas zeradas evitando *latches*. Por último, a arquitetura é devidamente finalizada e o programa é escrito em um arquivo VHDL com nome igual ao nome da entidade.

A Figura 3.20 apresenta um resumo do fluxo de funcionamento do programa para gerar a arquitetura de hardware de uma FSM. É importante salientar que durante a execução do programa o código é progressivamente montado em uma *string* e no final essa *string* é colocada no arquivo VHDL.

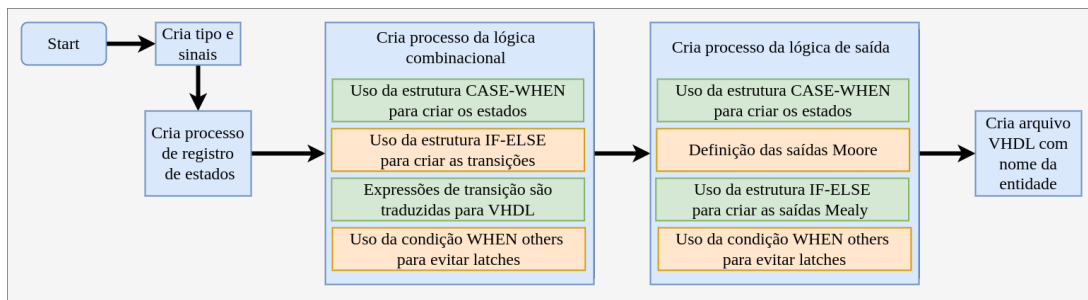


Figura 3.20 – Simplificação do processo de montagem da arquitetura.

3.3.3 Exemplo de FSM

A Figura 3.21 mostra a uma FSM simples com componentes tanto de Moore quanto de Mealy. Após exportar o diagrama e rodar o comando "python3 main.py <nome do arquivo>.xml <nome da FSM>", deve aparecer a mensagem "File ready! Please check the reset state as it is randomly chosen", que indica que a geração do arquivo foi bem sucedida e avisa que um estado aleatório foi escolhido para ser o primeiro estado.

Percebe-se, a partir do código A.1, que foram geradas três entradas e três saídas, sendo duas entradas o *reset* e o *clock*, e a terceira a entrada *button* que está indicada no diagrama pela letra A. Todos os estados A, B, e C aparecem na definição do tipo. As transições de estados estão de acordo com o diagrama, bem como as saídas da FSM.

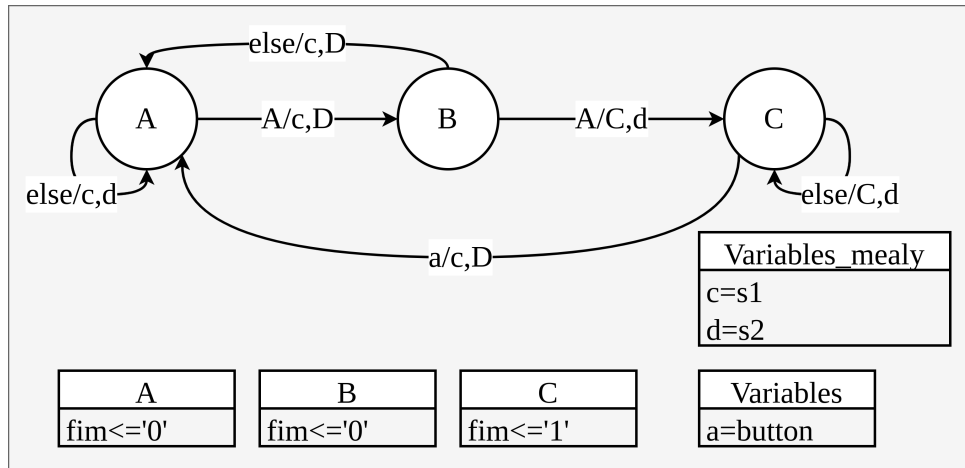


Figura 3.21 – Exemplo de uma FSM simples.

3.4 Desenvolvimento do vRTLgen

3.4.1 Bibliotecas de componentes e geradores

O gerador de projeto RTL depende de códigos VHDL e de geradores de códigos preexistentes. Os arquivos VHDL devem ser salvos em uma pasta chamada "component_files", enquanto que os geradores de códigos devem estar em uma pasta chamada "generator_files". Ao gerar o arquivo será criada uma pasta com o nome do diagrama escolhido contendo os arquivos VHDL necessários, sendo importante pontuar que *packages* devem ser adicionados manualmente no Vivado.

O gerador de códigos possui uma estrutura fixa como mostra o Código 3.2. A estrutura é composta pela inicialização, linha 2, onde são criados dois dicionários com o nome das entradas e o tipo de cada entrada. Em seguida há uma rotina de inicialização, linha 6, que possui a função principal de mudar os valores dos dicionários de entrada e saída a partir dos parâmetros passados pelo usuário, ou seja, é possível parametrizar entradas e saídas. Por fim, na linha 11, há a rotina de geração de códigos, que também recebe parâmetros do usuário para parametrizar a geração, sendo que o código deve ser estocado em uma *string* e no fim da função este deve ser retornado.

Código 3.2 – Estrutura do gerador de código.

```

1 class GenericGenerator():
2     def __init__(self):
3         self.input_ports={'a1':'tipo1', 'a2':'tipo2', 'a3':'tipo3'}
4         self.output_ports={'b1':'tipo3', 'b2':'tipo4', 'b3':'tipo5'}
5
6     def initialization(self, parameters=[]):
7         # Rotina de inicialização adicionada pelo usuário.
8         ...
9         pass
10
11    def generic_func(self, parameters=[], inputs={}, outputs={}):

```

```

12     entity = '' # String que conterá o código do gerador
13     ...
14     return entity # A string deve ser retornada

```

O código 3.3 é um exemplo de gerador de código que cria uma porta *E* de duas entradas. O resultado será uma linha no código VHDL com o seguinte conteúdo "signal3<=signal1 and signal2;". Importante pontuar que esse é um exemplo genérico, na prática os sinais seriam indicados pelas ligações no diagrama.

Código 3.3 – Gerador que cria uma porta "E" de duas entradas.

```

1 class And2Class:
2     def __init__(self):
3         self.input_ports = {'a':'std_logic', 'b':'std_logic'}
4         self.output_ports = {'c':'std_logic'}
5     def initialization(self, parameters=[]):
6         pass
7     def
8 and2(self, parameters=[], inputs={'a':'signal1', 'b':'signal2'},
9 , outputs={'c':'signal3'}):
10     entity = '\n\n'
11     entity += outputs['c']+'<='+inputs['a']+" and
        "+inputs['b']+";\n\n'
        return entity

```

Por fim, cada gerador de código deve ser adicionado ao arquivo em Python chamado "General_generator_file.py". A estrutura deste arquivo é mostrada no código 3.4. O código do gerador deve ser importado no começo do arquivo e sua classe declarada na inicialização da classe principal. Em seguida, deve-se criar uma função com o nome do arquivo que será chamada pelo código principal, sendo que essa função tem o objetivo de informar as portas utilizadas no gerador para o programa principal inicializar o gerador e gerar o código VHDL.

Código 3.4 – Estrutura do arquivo que integra todos os geradores.

```

1 from generator_files.<nome do arquivo> import <nome da classe>
2
3 class GeneralGenerator:
4     def __init__(self):
5         self.<nome da classe> = <nome da classe>()
6
7     def <nome do arquivo>(self, parameters=[], inputs={}, outputs={},
8 , showconfig=0):
9         if showconfig==1:
10             return (self.<nome da classe>.input_ports, self.<nome
11 da classe>.output_ports)
12         elif showconfig == 2:
13             self.<nome da classe>.initialization(parameters)
14         else:
15             return self.<nome da classe>.<nome da
                função>(parameters, inputs, outputs)

```

3.4.2 Parser para o vRTLgen

O *parser* do vRTLgen é ligeiramente mais complexo que o *parser* do vFSMgen por causa da quantidade de elementos e situações que devem ser levados em consideração como discutido na seção 3.2.2.

O vRTLgen é capaz de gerar códigos a partir de diversos diagramas contidos em um mesmo arquivo .xml ou .drawio. Esses diagramas são gerados de forma sequencial e adicionados à biblioteca de arquivos VHDL, do primeiro à esquerda ao último à direita, assim, um diagrama pode utilizar circuitos gerados anteriormente.

O programa recebe o nome do arquivo .xml ou .drawio, itera por todo o arquivo e identifica os diversos diagramas, sendo que a cada diagrama o programa principal é acionado, gera-se o código VHDL, e o próximo diagrama é identificado, repetindo-se o mesmo procedimento. Basicamente, A Figura 3.22 mostra a execução desta rotina.

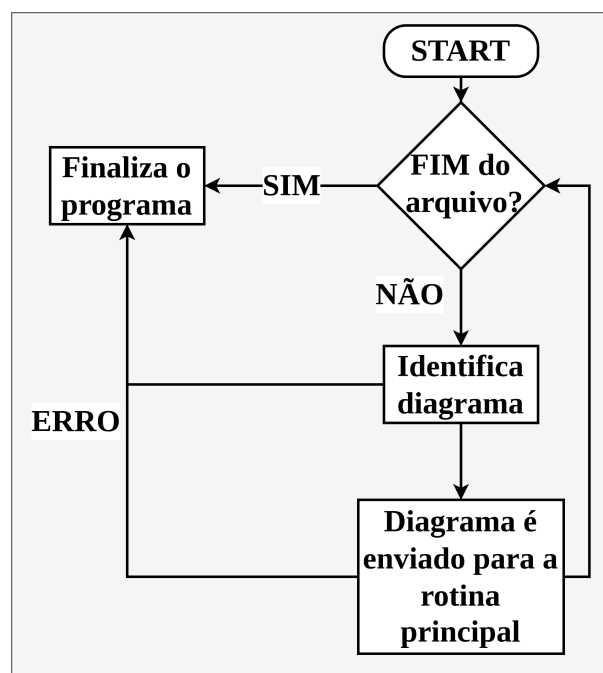


Figura 3.22 – Rotina de geração sequencial de códigos.

Para facilitar o desenvolvimento do gerador foram definidos alguns objetos para guardar os dados de componentes, sinais, entradas e saídas.

Os objetos são mostrados na Figura 3.23. Primeiramente há um objeto que guarda informações sobre entradas, saídas e sinais como:

- **Nome:** Uma string com o nome do sinal, entrada ou saída.
- **Portas:** Porta de origem e destino do sinal.

- **Tipo:** String com o tipo do sinal.
- **Sinal:** Valor numérico indicando se o objeto é um "signal", "in" ou "out".

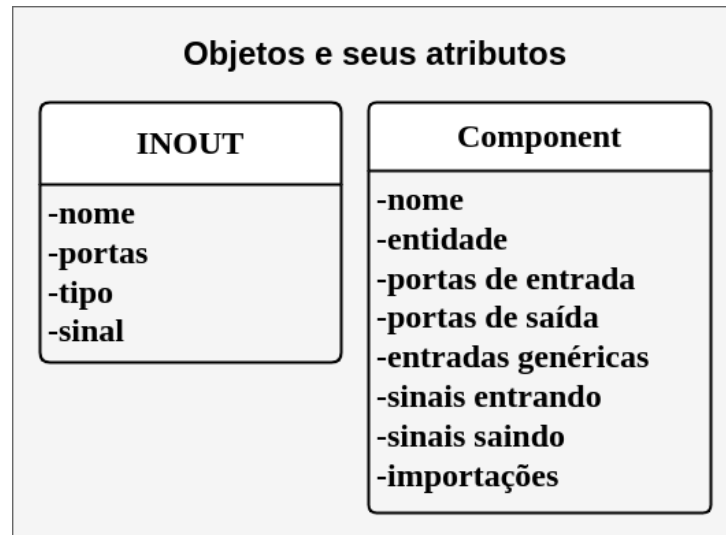


Figura 3.23 – Objetos principais do gerador e seus atributos.

O segundo objeto guarda características importantes dos componentes, que são:

- **Nome:** Uma String com o nome do componente;
- **Entidade:** Uma String com uma cópia da entidade do componente;
- **Portas de entrada:** Lista de portas do tipo "in" do componente.
- **Portas de saída:** Lista de portas do tipo "out" do componente.
- **Entradas Genéricas:** Lista de entradas genéricas do componente.
- **Sinais entrando:** Lista com todos os elementos do tipo "signal" entrando no componente.
- **Sinais saindo:** Lista com todos os elementos do tipo "signal" saindo do componente.
- **Importações:** Lista de bibliotecas utilizadas no arquivo.

O primeiro passo para gerar os arquivos é identificar arquivos VHDL preexistentes e carregá-los para serem utilizados no gerador. Para isso é preciso usar um *parser* para detectar os componentes da entidade de cada arquivo.

Esse *parser* itera por todos os arquivos na pasta "component_files", cada arquivo é lido linha por linha para identificar bibliotecas utilizadas, portas de entrada e portas de saída. É criado um objeto para conter as informações de cada componente, mostrado na Figura 3.24, e esses objetos são salvos em um arquivo *pickle* após passar por todos os arquivos VHDL para uso futuro.

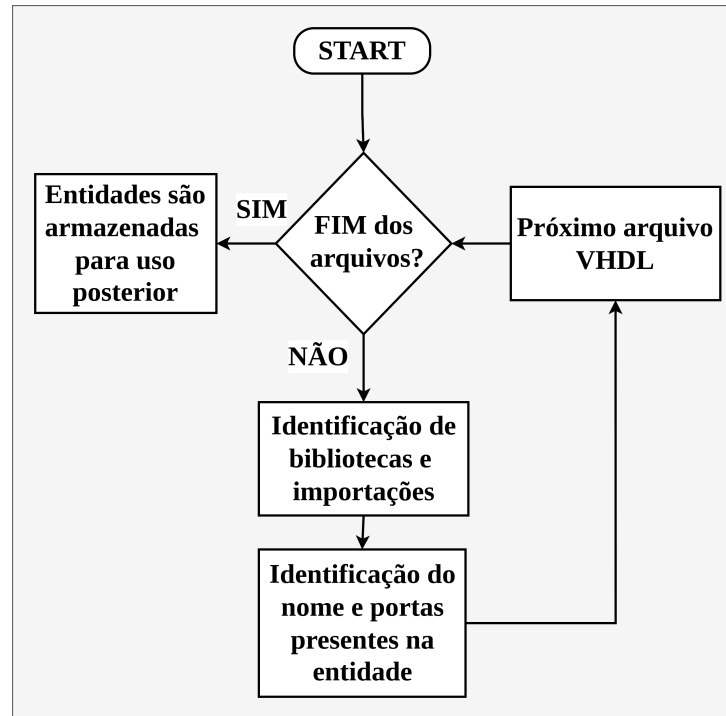


Figura 3.24 – Resumo da caracterização de componentes preexistentes.

3.4.2.1 Parser de diagramas individuais

Após a etapa de caracterização dos arquivos VHDL preexistentes, começam as operações do *parser* no diagrama que foi obtido da maneira mostrada na seção 3.4.2. São utilizados os mesmos atributos mencionados na seção 3.3.1, sendo que os elementos que devem ser identificados, como mencionado na seção 3.2.2, são:

- Entradas, saídas e constantes;
- Instanciação de componentes provenientes de códigos VHDL;
- Geradores de códigos;
- Listas de constantes e tipos;
- Ligações entre diferentes componentes e geradores;

Novamente esses elementos são identificados pelo atributo *style* do arquivo .xml. Os identificadores de cada elemento nesse caso são:

- **dual_inline_ic**: Representam os componentes de arquivos VHDL. O nome do componente e o nome da instância são salvos em um dicionário, sendo a chave o ID do elemento.

- **endArrow**: Conexões entre elementos do gráfico. Para cada conexão é criado um objeto, mostrado na Figura 3.23, inicializado com o nome e esse objeto é adicionado em um dicionário com o nome, as portas e o modo da conexão. Cada objeto de conexão é guardado em um dicionário com a chave igual ao ID do elemento.
- **dac**: Entradas ("IN") do circuito. Estas são adicionadas a um dicionário de entradas e saídas, sendo a chave o ID do elemento e seu conteúdo o nome da entrada e o tipo, sendo que também são adicionadas à uma lista de inputs o nome da entrada e o tipo.
- **delta**: Saídas ("OUT") do circuito. Estas são adicionadas a um dicionário de entradas e saídas, sendo a chave o ID do elemento e seu conteúdo o nome da saída e o tipo, sendo que também são adicionadas à uma lista de outputs o nome da saída e o tipo.
- **whiteSpace=wrap**: Geradores de código presentes no diagrama. São adicionados a um dicionário de geradores, sendo a chave o ID e o valor estocado o nome do gerador, os parâmetros passados pelo usuário, e dois dicionários vazios, que serão utilizados para estocar os sinais de entrada e saída do dicionário.
- **childLayout=stackLayout**: Listas de constantes e tipos declarados. Esses elementos são adicionados em um dicionário usando seu ID como chave e possuem uma lista que conterà os tipos ou constantes declaradas.
- **text**: Elementos das listas de constantes ou tipos declarados.

A partir de todos esses identificadores são obtidas as informações na Figura 3.25. Esta figura não apresenta todas as informações, pois há muitas listas auxiliares, mas mostra as características principais obtidas.

Primeiramente há um dicionário com todos os geradores de código utilizados que contém o nome, parâmetros utilizados, dicionário com as entradas e dicionário com as saídas do elemento.

Os componentes possuem dois dicionários associados, o primeiro possui os objetos, mostrados na Figura 3.23, que representam cada arquivo VHDL. O segundo dicionário apresenta o nome do arquivo e o nome da instância, assim pode-se facilmente encontrar o objeto requerido no dicionário de objetos.

As entradas, saídas e sinais possuem 3 dicionários associados. O primeiro possui todas as conexões feitas no gráfico que estão salvas em objetos, ver Figura 3.23, enquanto que os outros dois representam cada bloco de saída e entrada e os blocos de constantes.

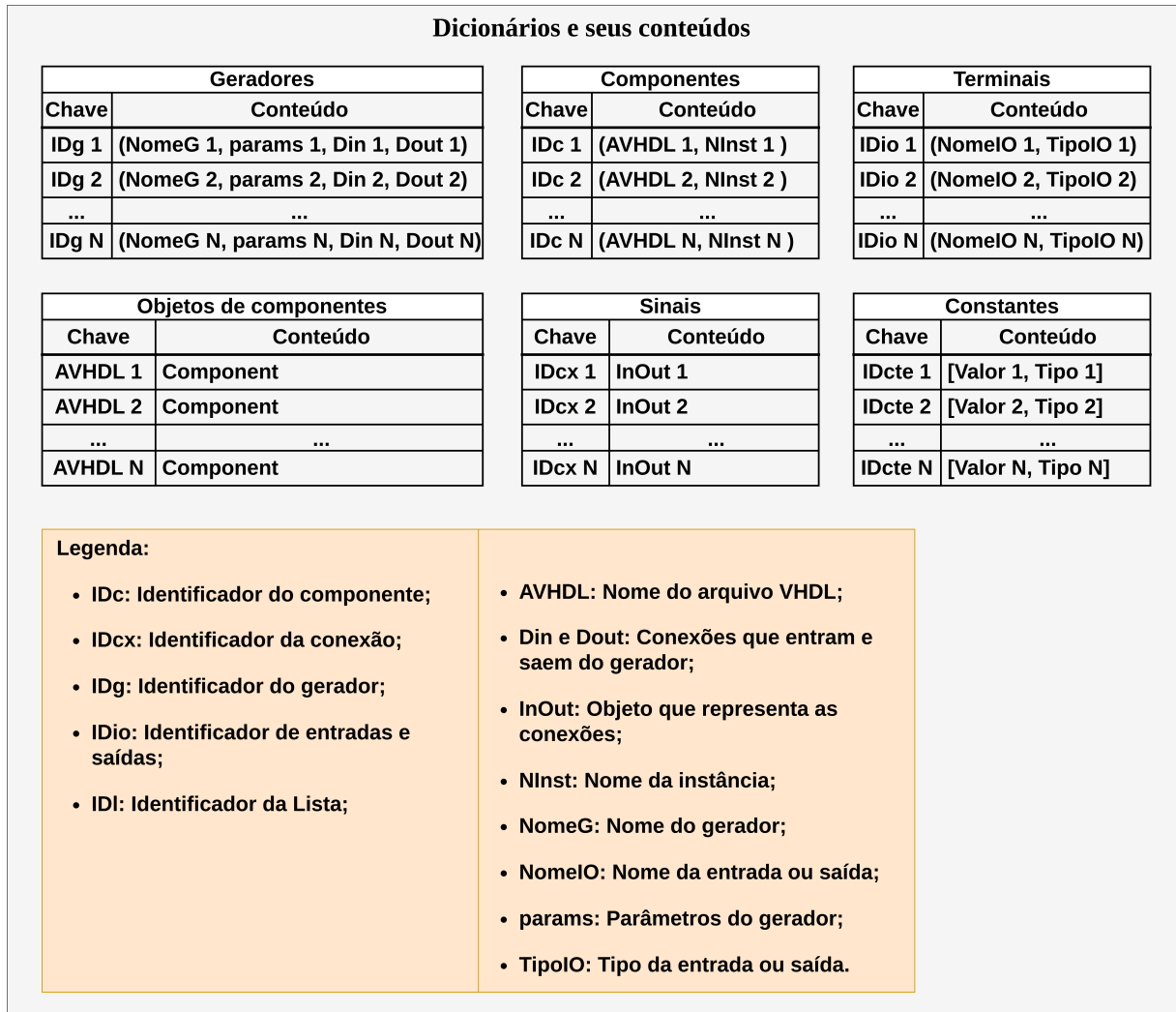


Figura 3.25 – Dicionários com informações obtidas do diagrama.

3.4.3 Geração da estrutura RTL

Projetos RTL possuem uma estrutura muito mais complexa que o projeto de uma FSM, assim, é necessário gerar muito mais porções de código. O principal desafio na geração de uma estrutura RTL é a conexão entre componentes.

O programa começa a montar o VHDL após coletar as informações necessárias do diagrama. O primeiro estágio é a importação de bibliotecas e por padrão a biblioteca da IEEE "STD_LOGIC_1164" e "NUMERIC_STD" são importadas em todos os projetos criados pela ferramenta, sendo que também são importados quaisquer arquivos utilizados pelos componentes presentes no diagrama.

Após as importações começa a entidade nomeada a partir do nome do diagrama e as entradas e saídas são dispostas na entidade. A Figura 3.26 resume o fluxo da criação desta primeira parte do arquivo VHDL.

Após a entidade, começa a arquitetura onde primeiramente são definidos os tipos

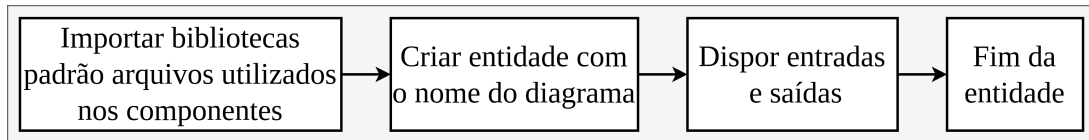


Figura 3.26 – Fluxo de importação de arquivos e criação da entidade.

e constantes, os quais são dispostos em dicionários, como mencionado na seção 3.4.2.1. Assim, o programa itera pelas declarações encontradas nas *Listas* e adiciona cada uma delas. Destaca-se que a ferramenta suporta apenas declarações de tipos compostos, especificamente *arrays*.

Em seguida, os componentes são declarados no arquivo a partir do dicionário mostrado na Figura 3.25. A declaração de um componente possui quase a mesma estrutura da entidade. Assim, pode-se usar a cópia salva no objeto *Component* mostrado na Figura 3.23 e simplesmente substituir a palavra *entity* por *component*. Isso é feito para todos os componentes presentes no diagrama de modo que componentes repetidos são ignorados.

Para terminar as declarações restam somente os sinais e as constantes definidas pelos blocos de constantes. Essas conexões podem sair de um bloco e ir para vários outros, então o primeiro passo é igualar o nome de todas as conexões que saem de uma mesma porta.

Após a uniformização dos nomes das conexões, pode-se declarar os sinais, que consiste basicamente em escrever a palavra-chave *signal*, em seguida o nome do sinal e indicar o seu tipo. Não há suporte para inicialização do sinal. Pela variedade de formas de conexões, é preciso dar suporte a vários casos, de forma que para facilitar o desenvolvimento desses casos, é criado um dicionário auxiliar que possui os *IDs* de conexões que saem de um componente ou gerador em conjunto do elemento de destino dessa conexão como mostra a Figura 3.27. Assim, os sinais são declarados a partir destas listas de cada componente.

Auxiliar para conexões	
Chave	Conteúdo
IDcg a	([IDcx 1, IDed a1], [IDcx 2, IDed a2], ..., [IDcx N, IDed aN])
IDcg b	([IDcx 1, IDed b1], [IDcx 2, IDed b2], ..., [IDcx N, IDed bN])
...	...
IDcg z	([IDcx 1, IDed z1], [IDcx 2, IDed z2], ..., [IDcx N, IDed zN])

Legenda:

- IDcg: Identificador do componente ou gerador;
- IDed: Identificador do elemento destino;
- IDcx: Identificador da conexão.

Figura 3.27 – Dicionário para na definição dos sinais de conexão.

O primeiro caso são os sinais que saem de um gerador de código para uma saída ou outros componentes. Esse caso é muito importante porque em sua execução os geradores de código passam pela inicialização a partir de seus parâmetros. O gerador é iniciado, o tipo de cada sinal é definido com base na porta em que está conectado e o sinal é declarado.

O segundo caso consiste em sinais provenientes de componentes, ou seja, saem de instâncias. Este funciona de forma similar, obtém-se novamente o tipo do sinal a partir dos dicionários declarados anteriormente e monta-se a declaração do sinal a partir do nome e tipo. Tanto neste caso quanto no anterior podem ocorrer sinais com nomes repetidos, assim, o programa necessita sempre registrar os nomes já declarados, pois declará-los mais de uma vez ocasiona erros de sintaxe.

Os demais casos são as entradas e as constantes. As entradas são conectadas diretamente sem a utilização de sinais. As constantes provenientes de blocos são declaradas como qualquer outra constante.

3.4.3.1 Instanciação de componentes

Os componentes são instanciados após todas as declarações. Para isso os inputs e outputs dos componentes são distribuídos em dicionários para auxiliar a instanciação de modo que cada porta referencia um nome e um tipo como mostra a Figura 3.28. Com as entrada e saídas mapeadas basta iterar pelo nome das portas do componente e adicionar as conexões. Nesse processo são verificados o tipo da entrada e da saída, uma mensagem avisando o usuário é escrita na tela caso eles não sejam do mesmo tipo e em alguns casos o programa tenta converter os tipos, esses casos são mostrados no Código A.2.

Auxiliar para portas	
Chave	Conteúdo
Porta a	(Nome a, Tipo a)
Porta b	(Nome b, Tipo b)
...	...
Porta c	(Nome c, Tipo c)

Figura 3.28 – Dicionário para auxílio da conexão das portas.

3.4.3.2 Geradores de códigos e finalização do código

Os geradores de códigos são simplesmente as funções adicionadas pelo usuário, mostrado no Código 3.2, que após chamadas pelo programa, retornam uma *string* que é escrita no corpo do arquivo VHDL, especificamente dentro da arquitetura. Assim, basta iterar pelos geradores e chamar a função de cada um com seus parâmetros, entradas e saídas. Ao final da arquitetura são ligados todos sinais que estão ligados às saídas do circuito e a arquitetura é devidamente fechada. Por fim, é criada uma pasta para o diagrama e os arquivos

VHDL de componentes utilizados são colocados nesta pasta em conjunto com o arquivo gerado, o qual é adicionado na biblioteca de arquivos. Essa é uma função que sempre ocorre na geração sequencial, mas pode ser alterada caso seja preciso.

3.4.3.3 Exemplo: *Multiply-Accumulate*

Uma função muito importante na computação é a *multiply-accumulate* que consiste em sucessivas multiplicações acumuladas em um registrador, sendo que essa função é muito importante para a multiplicação entre dois vetores. Como mostra a Figura 3.29, ela é bem simples e consiste apenas em um multiplicador que nesse caso possuem 27 bits de largura em representação aritmética de ponto flutuante.

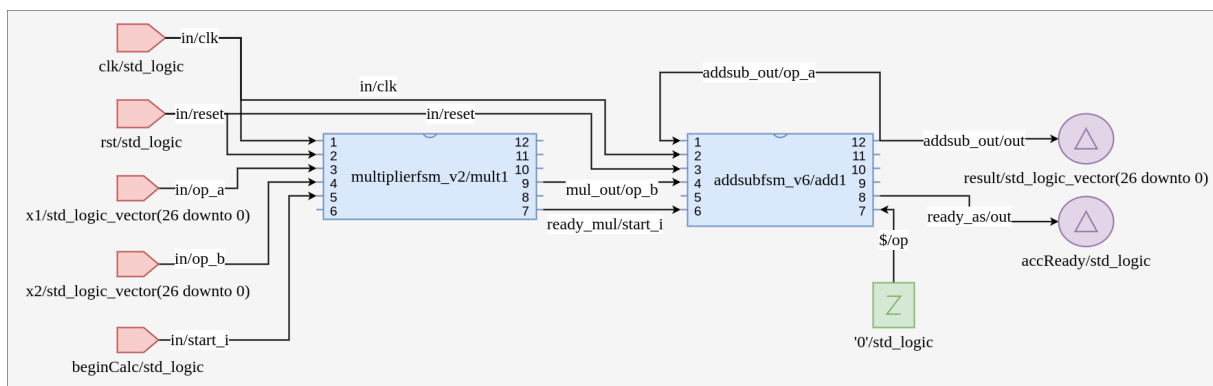


Figura 3.29 – Diagrama no Draw.io da função *multiply-accumulate*.

Exportando-se o diagrama e utilizando-o como entrada da *vRTLgen* a partir do terminal utilizando o comando "python3 <nome do diagrama> 'Y' ", sendo que 'Y' indica que o arquivo VHDL gerado deve ser adicionado à biblioteca. O programa retorna o nome do diagrama indicando que a geração foi bem-sucedida e cria uma pasta com o multiplicador, o somador e o código RTL referente ao diagrama, o qual é mostrado no Apêndice A.3.

3.5 Gerador de Testbench (vTBgen) e simulador

Neste trabalho foi desenvolvida uma interface para a ferramenta *Gerador de Testbench*, também chamada de *vTBgen*, mostrada na Figura 3.30. Essa interface possui botões para adicionar arquivos VHDL, adicionar estímulos de entrada, adicionar saídas e gerar o código VHDL do *testbench*. Os botões "LOAD" e "SAVE" serão desenvolvidos futuramente para salvar e carregar *testbenches* produzidos.

O gerador de *testbench* pode ser aberto utilizando o botão de nome "create testbench" e é aberta a janela mostrada na Figura 3.30. A partir desta interface é possível criar um *testbench*, sendo que ao adicionar o componente, suas entradas e saídas são mostradas na tela para auxiliar o usuário.

Atualmente a ferramenta permite a instanciação e simulação de apenas um componente no testbench. Adicionalmente, a ferramenta possui suporte para três tipos de entrada e um tipo de saída, como mostra a Figura 3.31. Os elementos presentes na ferramenta e suas funcionalidades são:

- **Clock:** Cria um sinal de *clock* para ser utilizado como entrada. Possui campos para definir um nome, a frequência do clock, sendo possível utilizar alguns prefixos do Sistema Internacional de Unidades como em 100MHz, e um campo de valor inicial.
- **Constant:** Cria uma constante com o valor indicado pelo usuário. Possui campos para definir um nome, o tipo e o valor da constante.
- **Variable Signal:** Cria um sinal que pode receber diversos valores diferentes em diversos instantes de tempo. Possui campos para definir um nome, o tipo, o valor inicial do sinal e, por fim, uma lista de valores com seus respectivos instantes de tempo separados por ponto e vírgula. Essa função utiliza da palavra-chave *after* no VHDL para transicionar os valores.
- **Output Signal:** Cria um sinal para receber a saída de um circuito. Possui campos para definir um nome e o tipo do sinal.

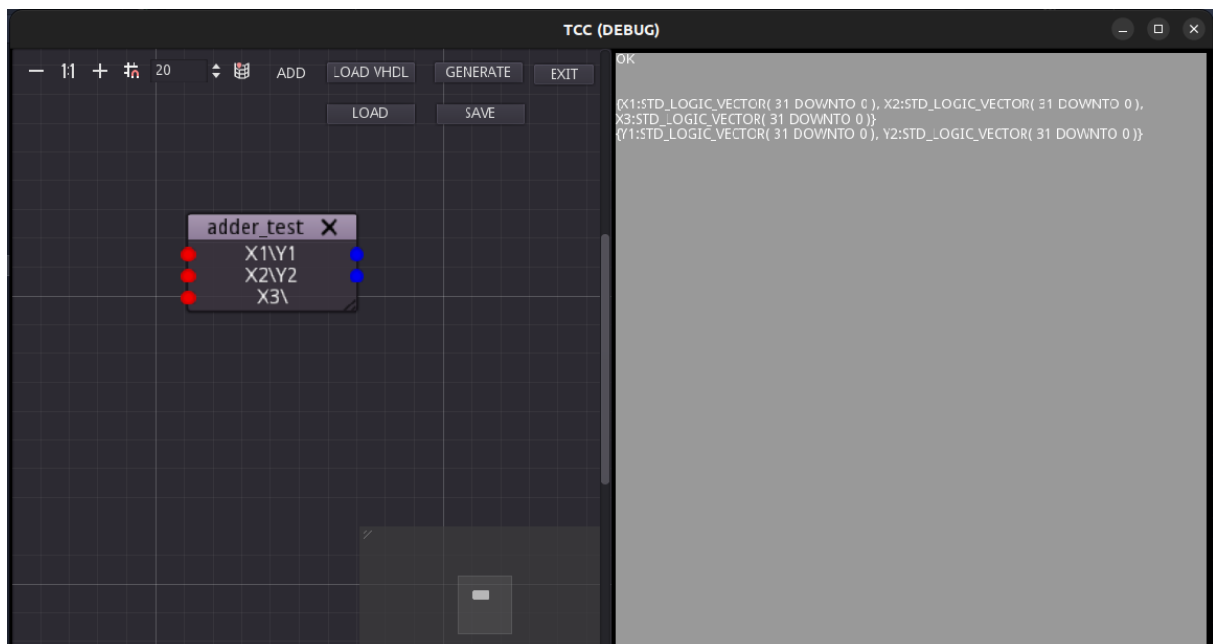


Figura 3.30 – Interface do gerador de testbench.

O *Godot* possui nativamente um criador de diagramas de grafos, então há uma função específica para obter todas as informações do diagrama, logo, não é preciso criar um *parser*. A partir destas informações a geração do código é realizada por um código adaptado da ferramenta *vRTLgen*.

Para finalizar, uma ferramenta de simulação foi incorporada ao HiLDA integrando a função de simulação do simulador open-source gHDL a uma interface gráfica em conjunto com as bibliotecas da AMD Xilinx chamadas Unisim. Para adicionar as bibliotecas Unisim é necessário indicar o local de instalação das bibliotecas da AMD Xilinx utilizando o botão "CONFIG" mostrado na Figura 3.34. Para realizar as simulações é utilizado um *bash script* que automaticamente importa os arquivos da biblioteca da AMD Xilinx no gHDL, simula o arquivo e abre o resultado utilizando o um visualizador de ondas gratuito GTKWave. Deste modo, a interface gráfica apenas possui a função de escolher o arquivo que será simulado, a entidade que será simulada e configurações como o tempo de simulação e o local de instalação das bibliotecas.

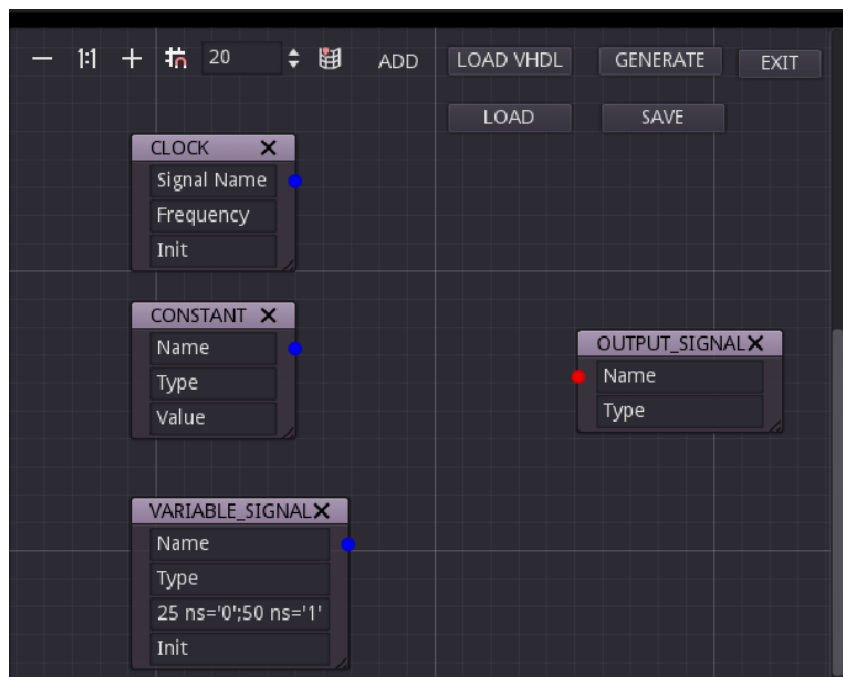


Figura 3.31 – Funções implementadas na vTBgen.

3.6 Desenvolvimento do AXIcreator

A ferramenta HiLDA inclui um gerador de encapsulamento AXI com suporte às interfaces AXI4-Lite e AXI4-Full, no modo escravo, para co-projeto HW/SW usando SoCs FPGA da AMD Xilinx. As interfaces AXI possuem muitas particularidades, assim, o Godot foi escolhido para implementá-las, permitindo a customização de cada uma das duas interfaces implementadas que não seria possível ou seria dificultada caso implementada no Draw.io.

3.6.1 Interfaces AXI suportadas e suas representações gráficas

As interfaces AXI4-Lite e AXI4-Full podem ser adicionadas a partir do botão "ADD". Sendo que para a implementação destas foi utilizada a ferramenta de diagramas de grafos

presente nativamente no Godot, assim foi possível criar uma interface de usuário personalizada para cada um dos protocolos baseada nas opções apresentadas no Vivado para a criação destas interfaces.

As interfaces para a implementação do AXI4-Lite tanto na aplicação HiLDA quanto no Vivado é mostrada na Figura 3.32. A interface do AXI4-Lite no *AXICreator* possui as seguintes características:

- Não há como escolher o nome da interface no *AXICreator*, sendo que ele é escolhido automaticamente baseado no nome do código VHDL que está sendo encapsulado;
- O tipo de interface é sempre indicado no nome do nó;
- O modo de interface é fixo para o *AXICreator* e sempre é do modo escravo;
- A largura de dados para as interfaces são de 32 bits, mas o *AXICreator* consegue se adaptar à interfaces com largura menor que 32 bits;
- O número de registradores pode variar de 4 a 512;
- Saídas e entradas do AXI são criadas individualmente e seguem a nomenclatura do AXI4-Lite.

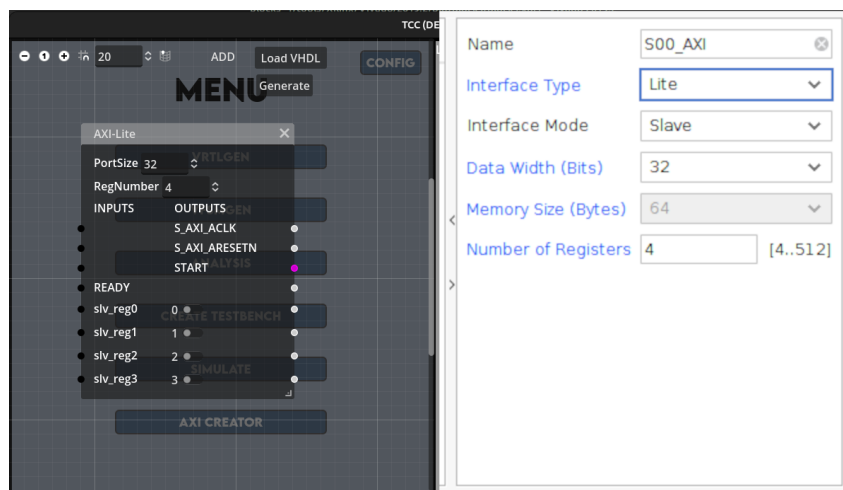


Figura 3.32 – Interfaces para a criação de protocolos AXI4-Lite da plataforma HiLDA à esquerda e do Vivado à direita.

No caso da interface AXI4-Full no *AXICreator*, mostrado na Figura 3.33, possui as seguintes características:

- O nome da interface não é escolhido automaticamente baseado no nome do código VHDL que está sendo encapsulado.
- A interface AXI4-Full é configurada no modo escravo.

- Os tamanhos de memória são iguais aos apresentados no Vivado apresentando valores entre 64 até 1024 bytes;
- Saídas e entradas do AXI são criadas em blocos de palavras de 32 bits, sendo necessário, também, nomeá-las.

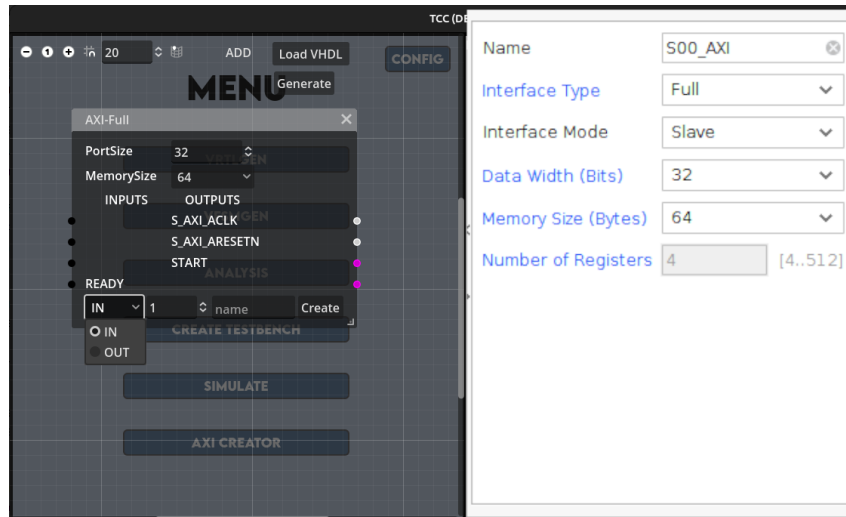


Figura 3.33 – Interfaces para a criação de protocolos AXI4-Full da plataforma HiLDA à esquerda e do Vivado à direita.

3.6.2 Funcionamento e implementação dos protocolos

As duas interfaces quando criadas no *AXIcreator* possuem um funcionamento similar, porém a forma com que ambas são implementadas é alterada para acomodar as particularidades de cada interface.

Percebe-se a partir das Figuras 3.32 e 3.33 que é possível conectar tanto o “clock” quanto o “reset” da interface ao código que será encapsulado. As duas apresentam, também, uma porta chamada “START” e uma porta chamada “READY”, sendo que a porta “START” é assertada durante um ciclo de “clock” assim que a última entrada do AXI é escrita na memória da interface, indicando que os dados estão prontos para serem utilizados. Por outro lado, a porta “READY” aciona o processo de escrita das saídas do AXI na memória da interface ao receber um pulso de um ciclo de *clock*.

Concluindo, as interfaces funcionam a partir dos estímulos escritos em “READY” e lidos em “START” para determinar se os dados serão lidos da memória da interface ou escritos nela. O resto das portas são característicos de cada interface e serão detalhados nas seções que explicam suas implementações.

3.6.3 Implementação do AXI4-Lite

Para gerar os arquivos das interfaces foram utilizados arquivos gerados pelo Vivado como base para cada uma das interfaces, porém adaptadas para 32 bits, e trechos de código que devem ser gerados pela aplicação identificados por “<nome do identificador>” no corpo do texto para facilitar a detecção pelo *script*.

Assim, ao pressionar o botão “GENERATE”, um *script* em Python lê o arquivo base linha por linha e ao detectar um dos identificadores que deve ser alterado, insere o texto conforme as configurações indicadas na interface de usuário.

Os identificadores para a implementação do AXI4-Lite são:

- “<libs>”: Indica que essa porção do código deve ser substituída pelas bibliotecas indicadas pelo usuário;
- “<entity>”: Designa o campo que deve ser substituído pelo nome da entidade do arquivo que está sendo encapsulado;
- “<regn>”: Esse campo define a largura do endereço da interface AXI denominado “C_S_AXI_ADDR_WIDTH”, sendo que depende do número de registradores indicados pelo usuário e seu valor é igual ao número de registradores utilizados;
- “<optaddr>”: Esse identificador é relativo ao número de endereços necessários para acessar toda a memória sendo que este também depende do número de registradores e seu valor é $int(ceil(\log_2(n_registradores) - 1))$, isto é, a quantidade de bits necessários para acessar todos os registradores;
- “<signals>”: Região onde deve ocorrer a declaração de sinais utilizados na interface. Neste caso são declarados os sinais que entram no componente encapsulado quando possuem entradas do tipo array, todas as saídas do componente encapsulado e sinais de “reset”, “start”, “ready”, bem como os sinais utilizados pela interface AXI4-Lite denominados “slv_reg”;
- “<components>”: Indica onde o componente que será encapsulado será declarado;
- “<read>”: Trecho do código que lida com as entradas do AXI que são escritas nos registradores “slv_reg”. Nesse caso o *script* em Python cria exatamente a mesma estrutura de qualquer AXI-Lite criado pelo Vivado, porém, adiciona o sinal “START” que emite um pulso de *clock* ao receber a última entrada definida pelo usuário;
- “<slvregs>”: Indica a lista de sensibilidade do processo que escreve dos registradores “slv_reg” para a saída da interface. Neste caso o *script* somente adiciona os registros “slv_reg” na lista de sensibilidade;

- “<write>”: Trecho do código que escreve os valores contidos nos registradores “slv_reg” para a saída da interface. Novamente, foi utilizado como base o arquivo gerado pelo Vivado e consiste em um “CASE-WHEN” que escreve “slv_regx” na saída dependendo do endereço de memória, sendo que x pertence ao intervalo de 0 até o número definido pelo usuário. Os registradores “slv_reg” definidos como saída são substituídos por um sinal criado pelo *script* para escrever as saídas do código encapsulado na interface AXI, sendo que esses sinais possuem zeros concatenados à direita para compensar a largura de bits indicada pelo usuário;
- “<userlogic>”: Região onde o componente a ser encapsulado é instanciado e suas entradas e saídas são conectadas. Primeiramente as entradas que recebem mais de um registrador “slv_reg” são atribuídas à um registrador único que é conectado à entrada do circuito encapsulado, um sinal recebe o *reset* do AXI invertido e o componente é instanciado conforme as conexões que o usuário efetuou, sendo que as entradas são automaticamente redimensionadas para a largura de bits indicada pelo usuário.

Após a conclusão da geração de cada um desses campos no arquivo, o código é gerado e fica localizado em uma pasta chamada “AXIrepo” e está pronto para ser utilizado no Vivado. Os arquivos podem ser adicionados a um “Block Design” no Vivado, o qual irá reconhecer automaticamente a interface AXI.

3.6.4 Implementação do AXI4-Full

O gerador do AXI4-Full funciona da mesma maneira, porém o trecho de código em cada identificador muda em alguns casos e permanece igual em outros. Assim, novamente, ao pressionar o botão “GENERATE” os campos com identificadores são preenchidos conforme a configuração escolhida pelo usuário.

Os identificadores para a implementação do AXI4-Full são:

- “<libs>”: Porção do código substituída pelas bibliotecas do usuário;
- “<entity>”: Designa o campo que deve ser substituído pelo nome da entidade do arquivo que está sendo encapsulado;
- “<regn>”: Similarmente ao AXI4-Lite, este indicador determina a largura do barramento de endereço de memória, porém, nesse caso ela é referente à quantidade de bytes escolhidos pelo usuário e não mais uma quantidade de registradores como é no AXI4-Lite, assim possui o valor de $\log_2(N)$, sendo N a quantidade de bytes;
- “<opt_mem>”: Este campo é similar ao anterior, mas este define o tamanho do endereço de memória para acessar as palavras de 32 bits armazenadas na interface e é definido por $\log_2(N) - 3$, sendo N igual ao tamanho da memória em bytes;

- “<arrsize>”: Para realizar a interface entre o código encapsulado e a interface é necessário criar um registrador que possui o mesmo tipo da memória interna da interface que é definido como um *array* do tipo “std_logic_vector(31 downto 0)”, assim, “<arrsize>” define o tamanho deste array que é referente à quantidade de memória determinada pelo usuário e possui o tamanho de $2^{\log_2(N)-2} - 1$, sendo N igual ao tamanho da memória em bytes;
- “<signals>”: Similarmente ao AXI4-Lite, nesta seção do código são definidos todos os sinais para realizar as conexões indicadas pelo usuário. Os sinais criados nesta etapa são “sSTART”, “sREADY”, “sRESET e os sinais de entrada e saída do código encapsulado que possuem o tipo igual ao indicado na porta da entidade.
- “<components>”: Indica onde o componente que será encapsulado será declarado;
- “<sstart>”: Campo que representa a quantidade de memória total utilizada pelo usuário como entrada no código encapsulado. Assim, cria uma condicional que gera um pulso em “sSTART” de um ciclo de *clock* ao escrever no último endereço de memória.
- “<sready>”: Condicional que escreve as saídas do código encapsulado para a memória da interface. Este condicional é acionado ao receber o valor lógico alto no sinal “sready” que deve ser conectado ao código encapsulado.
- “<userlogic>”: Representa a área de instanciação do código encapsulado. Nesta seção o sinal de *reset* é invertido, sinais auxiliares recebem os valores lidos na memória, sendo que a ferramenta automaticamente monta *arrays* em sinais que recebem mais de uma entrada e, por fim, estes sinais são conectados ao código instanciado conforme as ligações feitas pelo usuário na interface gráfica.

Igualmente ao AXI4-Lite, após o processo de geração o arquivo é salvo em uma pasta e fica disponível para uso. Com isso, a descrição do funcionamento das duas interfaces está completo.

3.7 Desenvolvimento da Interface Gráfica

A interface gráfica integra os geradores de códigos *vFSMgen*, *vRTLgen* e o *AXIcreator*, bem como funcionalidades do gHDL como a capacidade de analisar códigos sintaticamente e executar simulações.

3.7.1 Funções da interface gráfica

A aplicação precisa ser capaz de integrar as seguintes funcionalidades a partir da interface gráfica:

- Carregar diagramas de FSMs para gerar e verificar a sintaxe de arquivos VHDL gerados;
- Carregar diagramas de projetos RTL para gerar e verificar a sintaxe de arquivos VHDL gerados;
- Verificar a sintaxe arquivos VHDL individualmente;
- Geração de *testbenches* e simulação a partir do gHDL, utilizando a biblioteca de simulação da AMD Xilinx chamada Unisim.
- Encapsular códigos utilizando protocolos AXI4-Lite ou AXI4-Full.

Para o desenvolvimento da aplicação foi escolhido o software *Godot*, sendo este uma *game engine* com diversos objetos úteis para o projeto, como: botões para diversas funções, janelas para escolha de arquivos, caixas de texto que servem como logs, criador de diagramas de grafos, entre outros (GODOT, 2023).

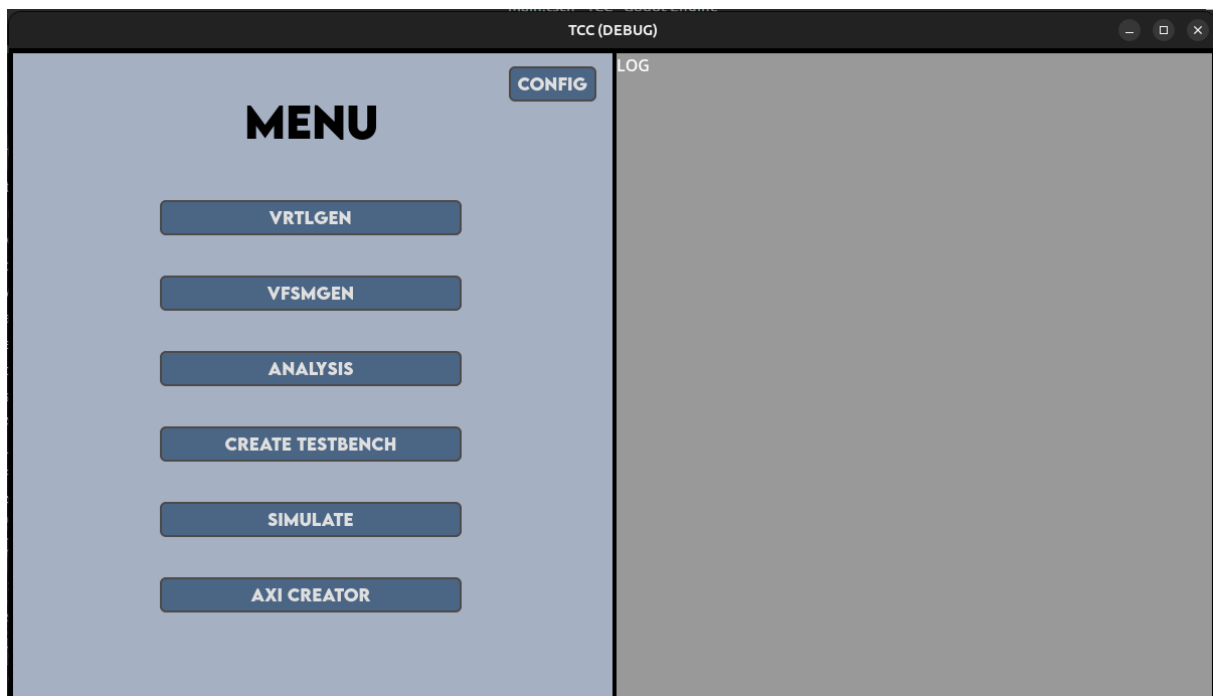


Figura 3.34 – Tela inicial da interface gráfica.

A Figura 3.34 apresenta a tela principal da interface gráfica. Os dois primeiros botões são os geradores *vRTLgen* e o *vFSMgen*, o terceiro botão é o analisador individual de arquivos VHDL, o quarto e o quinto botão são, respectivamente, o gerador de *testbench* e o simulador. O último botão é o gerador de encapsulamento AXI4-Full e AXI4-Lite. Por fim, há o botão denominado “CONFIG” possibilita definir configurações gerais relacionadas à simulação e o gerador de encapsulamento AXI.

3.7.2 Integração do vFSMgen

O funcionamento da *vFSMgen* consiste na execução do *script* em Python, a partir do terminal, e na verificação do arquivo gerado. Primeiramente, uma fonte de entrada de texto aparece para a escolha do nome da FSM, diferentemente da *vRTLgen*, na qual o nome do arquivo e da entidade é o nome do diagrama. Em seguida escolhe-se o diagrama a partir de uma janela de escolha de arquivos, a ferramenta realiza todos os procedimentos restantes a partir desta etapa. A Figura 3.35 resume o fluxo de funcionamento da *vFSMgen*.

O primeiro procedimento consiste em verificar a execução do código em Python, que caso não tenha sido bem-sucedida, exibe uma mensagem de erro do programa na tela. Do contrário, o programa segue para a verificação do arquivo VHDL gerado utilizando o gHDL via terminal, retornando a mensagem de êxito ou de erro dependendo da execução.

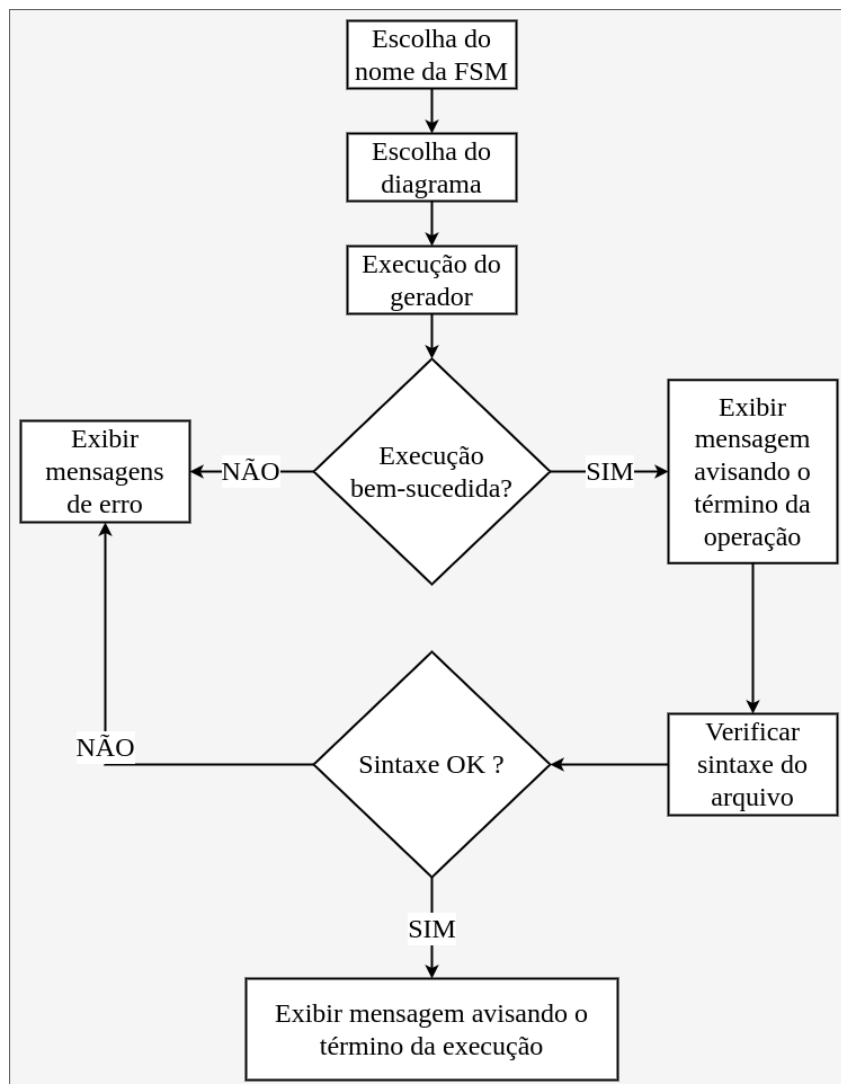


Figura 3.35 – Funcionamento da ferramenta *vFSMgen*.

3.7.3 Integração vRTLgen

A *vRTLgen*, similarmente, consiste na execução de outro script em Python e na verificação do código gerado, porém, nesse caso é necessário realizar a verificação de vários arquivos VHDL. Primeiramente escolhe-se o diagrama, executa-se o *script* em Python e uma mensagem de erro é mostrada caso haja algum problema na execução. Em seguida, em caso de êxito, o programa verifica todos os arquivos gerados e emite mensagens de erro ou êxito para cada arquivo. A Figura 3.36 resume o fluxo de funcionamento dessa integração.

Um aspecto interessante é que as mensagens provenientes da análise do gHDL são mostradas na tela, ou seja, caso a execução tenha sido bem-sucedida, mas haja algum problema no diagrama que gerou algum erro de sintaxe, a respectiva mensagem será mostrada na tela. A ferramenta também apresenta mensagens de *warnings*.

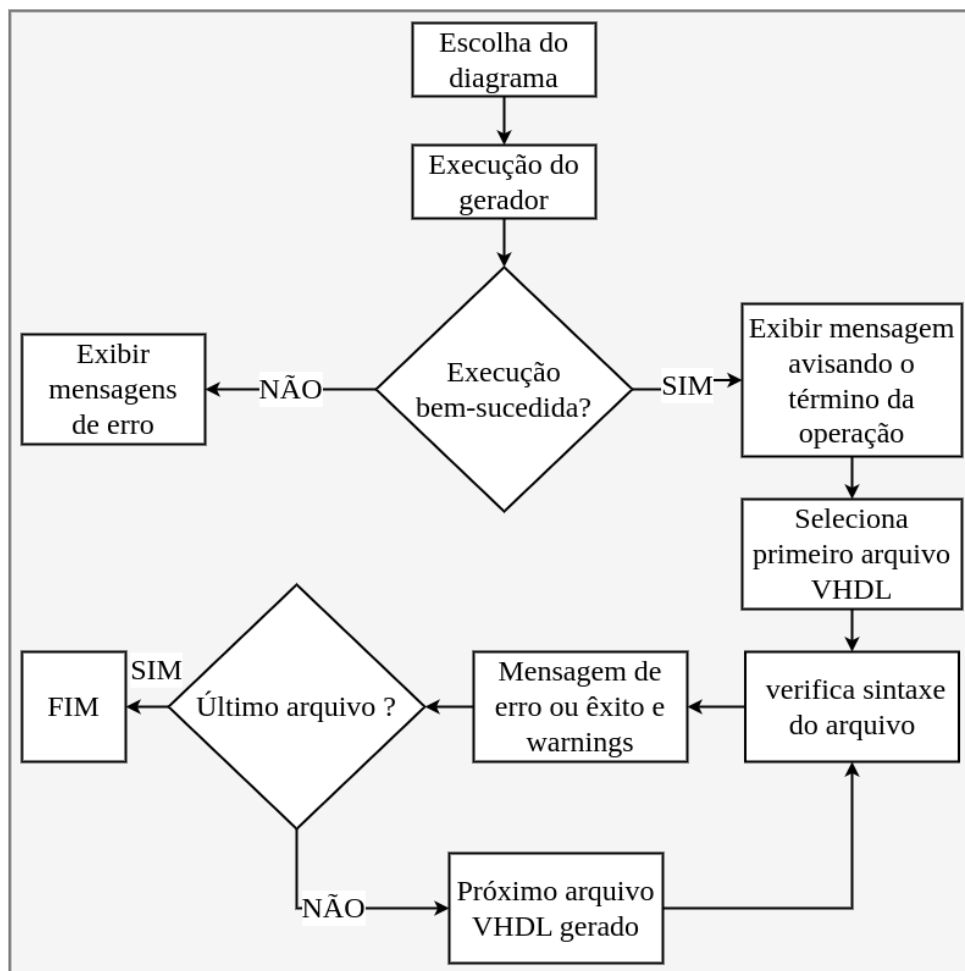


Figura 3.36 – Funcionamento da ferramenta vRTLgen.

3.7.4 Verificação da sintaxe de arquivos VHDL

A função *analysis* analisa e compila os arquivos passados como argumento da função, essa função pode ser executada utilizando o comando "ghdl -a <nome do arquivo>.vhd".

Essa função é utilizada também para verificar todos os arquivos gerados pelo *vRTLgen* e pelo *vFSMgen*.

O processo de verificação é simples. Ao apertar o botão, abre-se uma janela para a escolha do arquivo, mostrado na Figura 3.37. Após a escolha do arquivo, a função *analysis* do gHDL é executada no terminal pelo Godot utilizando a função "OS.execute()". Caso a execução tenha sido um sucesso, a mensagem "OK" aparece na tela, do contrário uma mensagem de erro é mostrada.

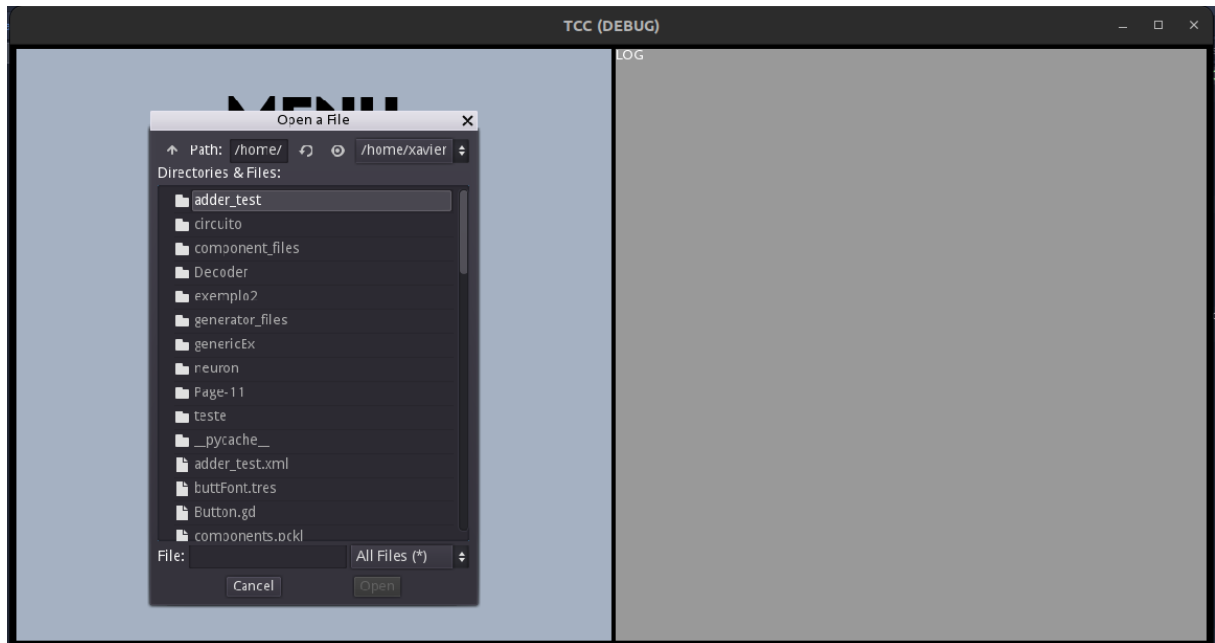


Figura 3.37 – Janela de seleção de arquivos.

4 Resultados

Para a validação das ferramentas criadas neste trabalho são propostos casos de estudo para cada uma das ferramentas principais criadas. Um exemplo de FSM com foco didático para a ferramenta *vFSMgen*, a elaboração de um perceptron para a *vRTLgen* e dois exemplos para o *AXIcreator*, sendo eles o encapsulamento de um neurônio tipo perceptron utilizando *AXI4-Lite* e o encapsulamento de uma rede neural *Multilayer Perceptron* (MLP) utilizando *AXI4-Full*. O perceptron e a MLP foram baseados na implementação em hardware de uma *Particle Swarm Optimization* (PSO) (MUÑOZ, D. et al., 2014). Por fim, foram elaborados diversos vídeo tutoriais dos casos de estudo que podem ser encontrados [nesta playlist](#).

4.1 Caso de Estudo de uma FSM

As FSMs possuem diversas aplicações não somente em hardware, mas também em software. Para demonstrar a capacidade da ferramenta *vFSMgen* foi escolhida a aplicação de uma FSM de controle de um marca-passos atrioventricular como mostrado na figura 4.38. O exemplo é proposto como exercício em um livro guia na área de sistemas digitais (VAHID, 2007).

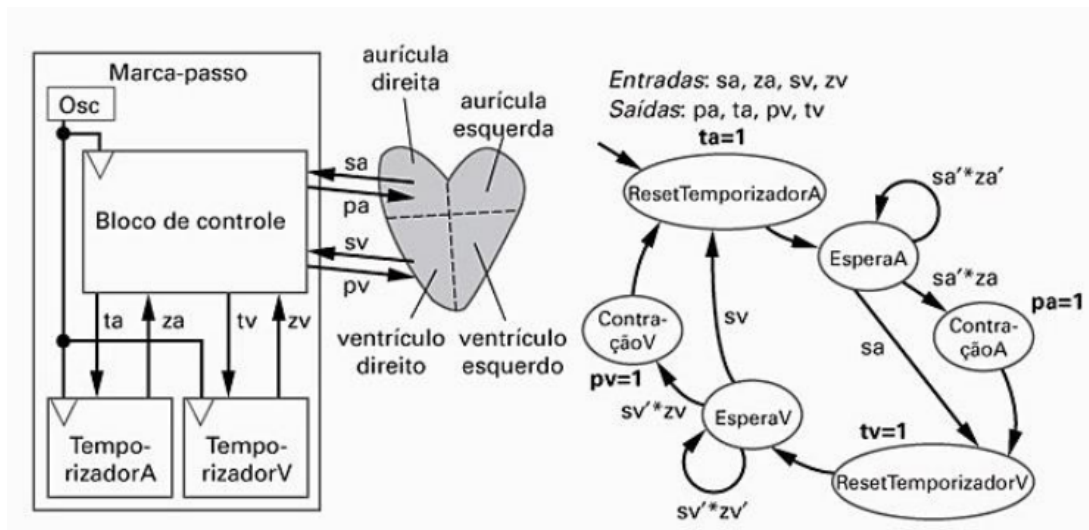


Figura 4.38 – Bloco de controle de um marca-passos atrioventricular (VAHID, 2007).

A Figura 4.39 mostra o diagrama recriado no Draw.io. A lista *Variables* indica como cada entrada está representada no diagrama e o resto das listas representam a saída de cada um dos estados. As transições de cada estado são implementadas de forma igual à original, porém uma delas é substituída por uma transição *else*. Após exportar o diagrama em um arquivo .xml e utilizá-lo no *vFSMgen*, o código A.4 foi gerado, que após submetido à ferramenta de análise do gHDL, retorna um resultado bem-sucedido (vide Figura 4.40).

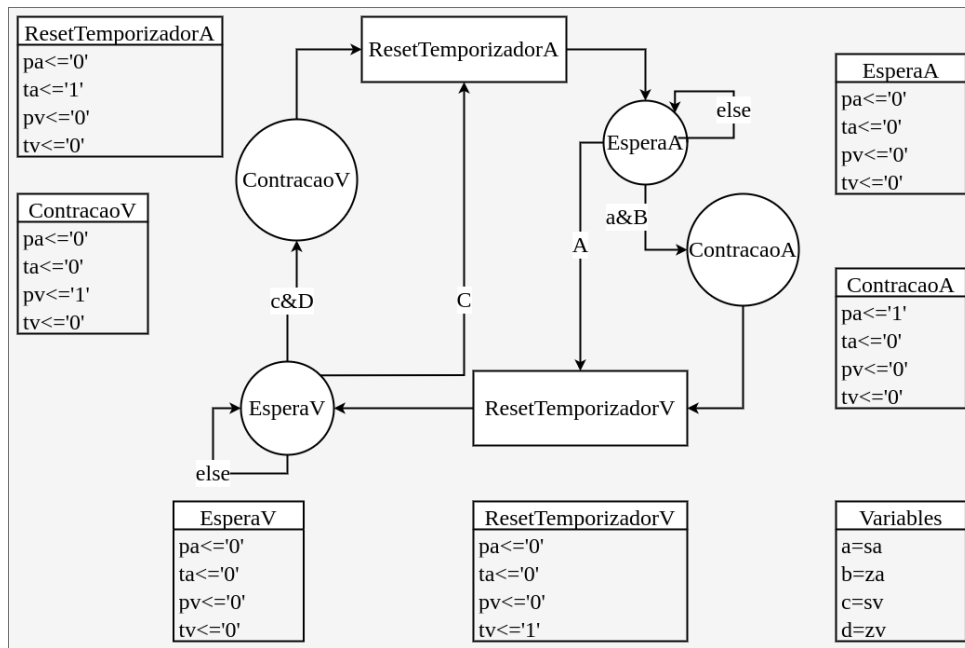


Figura 4.39 – Diagrama da FSM recriado no Draw.io.

```

/home/xavier/Desktop/Materias/TCC/marcapasso.vhd
!!!SUCCESSFUL ANALYSIS!!!

```

Figura 4.40 – Resultado da análise da FSM do exemplo do marca-passo utilizando o gHDL dentro da aplicação.

Com os resultados positivos da análise sintática do circuito, pode-se importar o arquivo VHDL ao Vivado e realizar a síntese lógica. Para testar o comportamento da implementação foi utilizada a ferramenta vTBgen para gerar o código A.5 como *testbench*. Este código testa as transições presentes no diagrama bem como a saída de cada estado. A Figura 4.41 mostra a FSM inicializando no estado *ResetTemporizadorA*, transicionando para *EsperaA* onde espera o sinal *ssa* mudar para '1' no intuito de transicionar para *ResetTemporizadorV*. Por fim, este transiciona diretamente para *EsperaV*. Nesta imagem também é possível verificar que as saídas dos quatro estados mencionados estão de acordo com o gráfico.

A FSM permanece no estado *EsperaV* até o sinal *ssv* mudar para '1' e o estado atual transicionar para *ResetTemporizadorA*. Logo após é mostrado os passos de transição originando de *EsperaA* para *ResetTemporizadorV* passando por *ContracaoA* e a transição de *EsperaV* para *ResetTemporizadorA* passando por *ContracaoV*. Novamente é possível verificar que as saídas de cada estado estão de acordo com o diagrama, como mostra a Figura 4.42. O processo utilizado para gerar estes resultados pode ser conferido neste vídeo



Figura 4.41 – Simulação da FSM do exemplo do marca-passo.

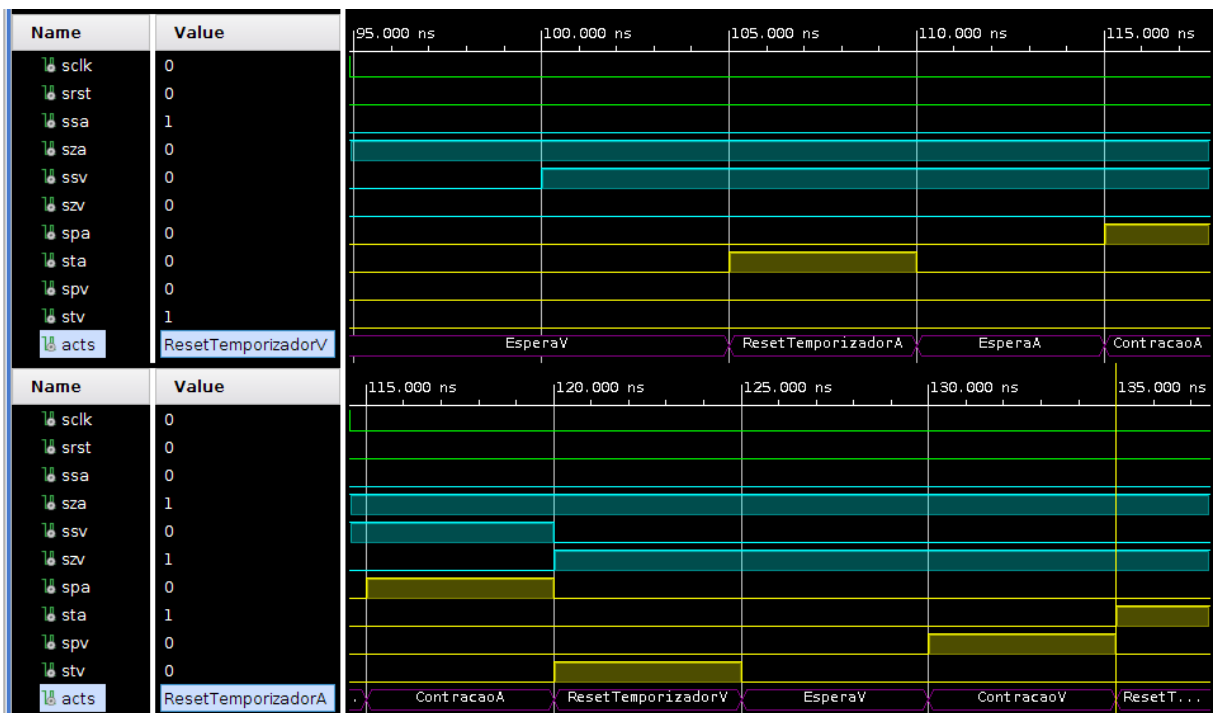


Figura 4.42 – Continuação da simulação da FSM do exemplo do marca-passo.

Uma vez verificado o funcionamento do circuito, foi criado manualmente um arquivo .xdc, mapeando as entradas do circuito em botões da placa *Basys3*, e as saídas em leds. Foi realizada a implementação física utilizando um clock de 100MHz. Após a implementação física foi realizada a caracterização do circuito.

A Tabela 4.3 mostra a utilização de recursos do circuito. Como esperado há uma baixa utilização de LUTs (*Look Up Tables*) e FFs. A Figura 4.43 apresenta o layout do circuito implementado no FPGA. Observa-se que o circuito atendeu os requisitos de temporização para *setup* e *hold*, conforme mostrado na Figura 4.44 que apresenta a análise de timing. O circuito utiliza aproximadamente 75mW, sendo maior parte utilizada pela potência estática do circuito, especificamente o IO, como mostrado na Figura 4.45.

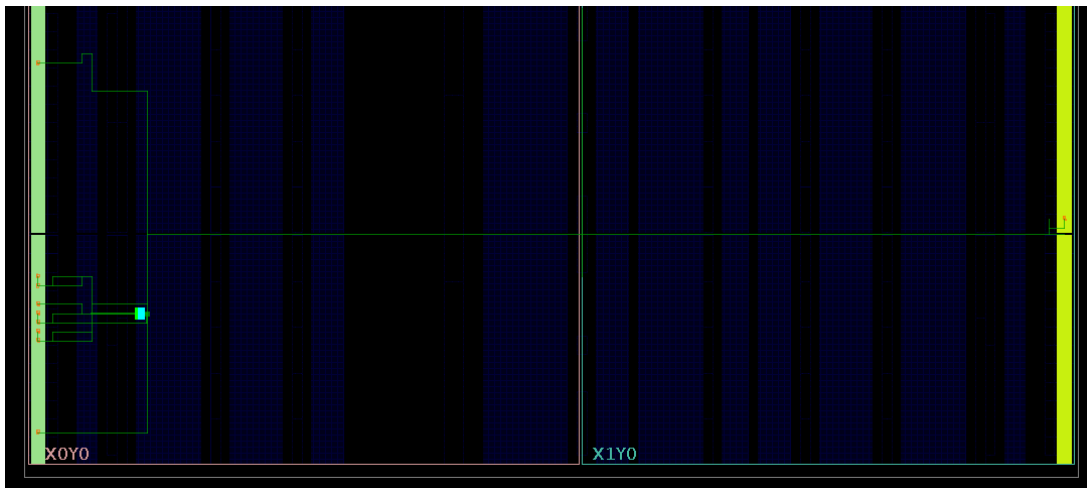


Figura 4.43 – *Place and Route* referente ao circuito da FSM.

Tabela 4.3 – Utilização de recursos pós-implementação.

Resource	Utilization	Available	Utilization %
LUT	4	20800	0.01923077
FF	10	41600	0.024038462
IO	10	106	9.433963
BUFG	1	32	3.125

Setup	Hold	Pulse Width
Worst Negative Slack (WNS): 7,344 ns	Worst Hold Slack (WHS): 0,438 ns	Worst Pulse Width Slack (WPWS): 4,500 ns
Total Negative Slack (TNS): 0,000 ns	Total Hold Slack (THS): 0,000 ns	Total Pulse Width Negative Slack (TPWS): 0,000 ns
Number of Failing Endpoints: 0	Number of Failing Endpoints: 0	Number of Failing Endpoints: 0
Total Number of Endpoints: 10	Total Number of Endpoints: 10	Total Number of Endpoints: 11

All user specified timing constraints are met.

Figura 4.44 – Análise de *timing* referente ao circuito da FSM.

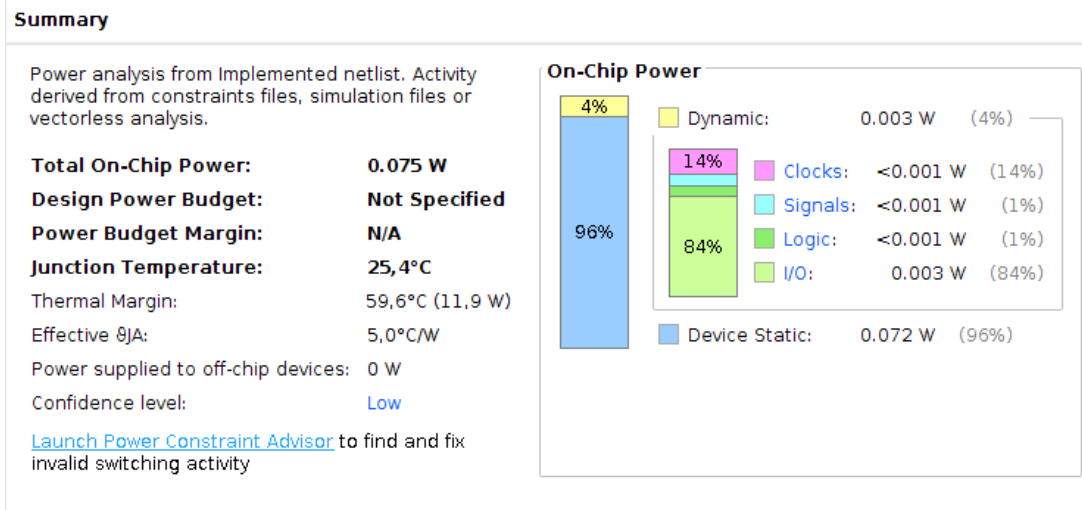


Figura 4.45 – Análise de potência referente ao circuito da FSM.

Assim, percebe-se que com o circuito gerado pela *vFSMgen* em conjunto com o Vivado foi possível realizar todas as etapas de criação de um circuito de uma FSM com sucesso.

4.2 Caso de Estudo de um Projeto RTL

Para demonstrar o funcionamento da ferramenta *vRTLgen* foi escolhida a implementação de um neurônio do tipo *Perceptron* como caso de estudo. A estrutura do *Perceptron* é mostrada na Figura 4.46, a qual consiste em valores de entradas multiplicadas por pesos de conexão, cujos resultados são acumulados e adicionados a um bias. Por fim, o resultado é utilizado como argumento de uma função de ativação. Neste projeto a função de ativação não será implementada e para as operações de multiplicação e adição serão utilizados os IP Cores desenvolvidos pelos pesquisadores do grupo LEIA – GRACO (Grupo de Automação e Controle) do Departamento de Engenharia Mecânica (ENM) da Universidade de Brasília (MUÑOZ, D. M.; SÁNCHEZ et al., 2010).

Dessa forma, o objetivo é a implementação da seguinte equação,

$$y = \text{ativ_func} \left(\left[\sum_{n=0}^N x_n \cdot w_n \right] + \text{bias} \right) \quad (4.1)$$

onde, x representam as entradas, w os pesos de conexão, N o número de entradas, e y a saída do neurônio.

Assim, foi implementado um *Perceptron* de 4 entradas ($N = 4$) e foi usada uma representação aritmética de ponto flutuante de 27 bits e uma saída de 32 bits. Essa configuração pode ser implementada de várias formas diferentes, porém nesse caso foram utilizados 2 multiplicadores de 27 bits que realizam as multiplicações entre as entradas e os pesos de forma paralela, sendo que as entradas e pesos são multiplexadas para que cada multiplicador

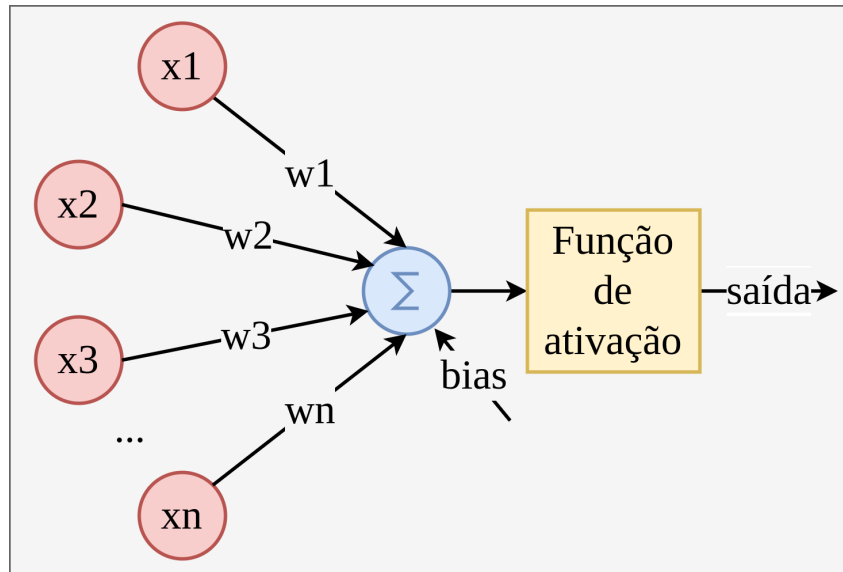


Figura 4.46 – Diagrama de funcionamento de um *Perceptron*.

efetue metade das operações. Cada uma das multiplicações é somada por um somador de 27 bits, acumuladas por um segundo somador, e o resultado do somatório é adicionado ao *bias*. O valor do *bias* foi implementado como uma constante para mostrar a capacidade do gerador de declarar constantes em VHDL. Finalmente, são adicionados 5 bits de valor '0' nos bits menos significativos da palavra para transformá-la em 32 bits.

A Figura 4.47 mostra o diagrama do *Perceptron* finalizado. Os elementos estão destacados com cores diferentes referente a cada tipo. Em vermelho destacam-se as entradas, as saídas em roxo claro, os componentes instanciados em azul, os geradores de código em amarelo e as constantes declaradas em verde e roxo escuro.

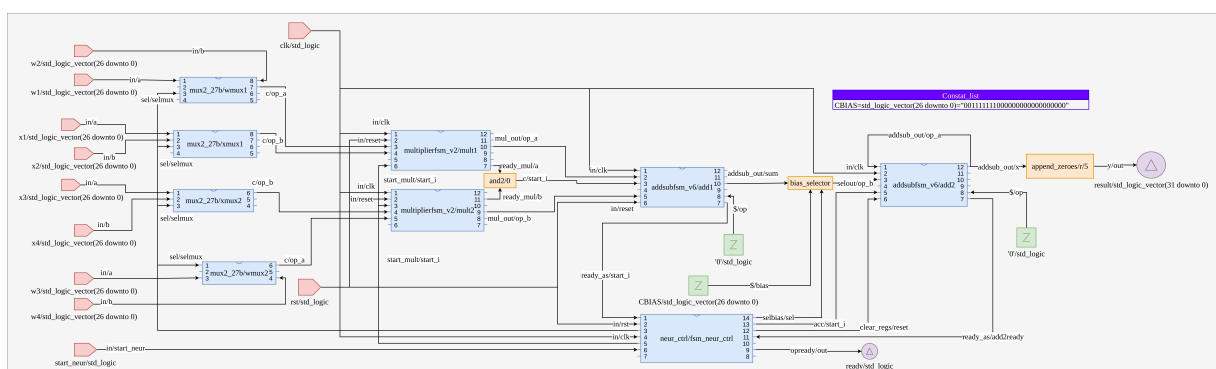


Figura 4.47 – Diagrama de um perceptron criado no Draw.io.

Para o funcionamento do *Perceptron* foi necessário criar uma FSM para controlar os muxes, multiplicações e adições realizadas. Para tal foi utilizada a ferramenta *vFSMgen* e a Figura 4.48 mostra o diagrama de funcionamento do controle da FSM. Este diagrama também foi utilizado como entrada da *vFSMgen*.

O diagrama é, enfim, submetido à *vRTLgen*, como mostra a Figura 4.49, sendo que

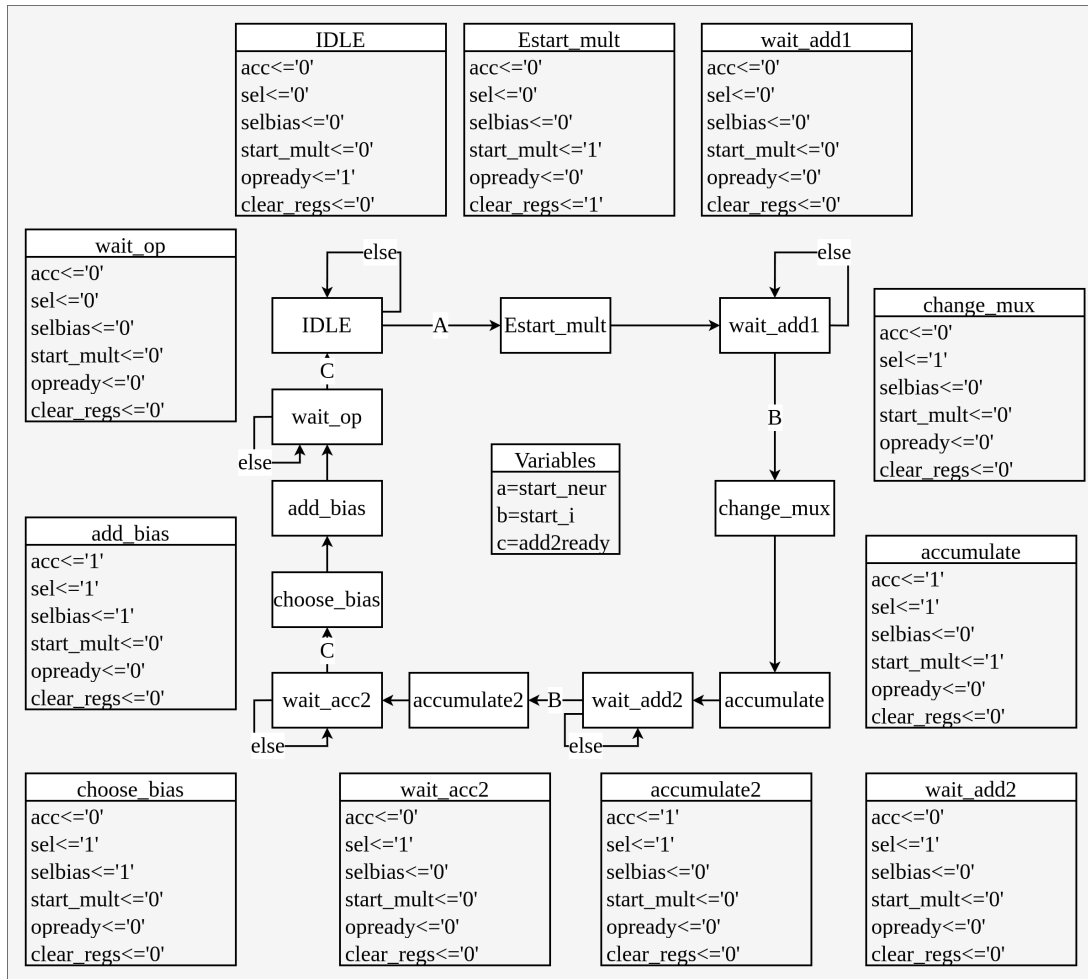


Figura 4.48 – Diagrama da FSM de controle.

à esquerda é mostrada a janela de seleção de diagramas e à direita o resultado tanto dos geradores quanto da análise sintática. O gerador em Python foi bem-sucedido e gerou o código mostrando no Anexo A.7. Entretanto, percebe-se que o gHDL não aponta para um erro na sintaxe dos arquivos, mas aponta para a falta do arquivo *fpupack*, ou seja, indica ao usuário um arquivo que deve ser adicionado ao executar as próximas etapas do fluxo de projeto.

Os códigos gerados foram adicionados ao Vivado e seu esquemático RTL foi obtido, como mostra a Figura 4.50. Percebe-se que o esquemático é muito semelhante ao diagrama utilizado como entrada da *vRTLgen*, sendo possível identificar as estruturas geradas pelos geradores de código como a porta *and* e o multiplexador do *bias*.

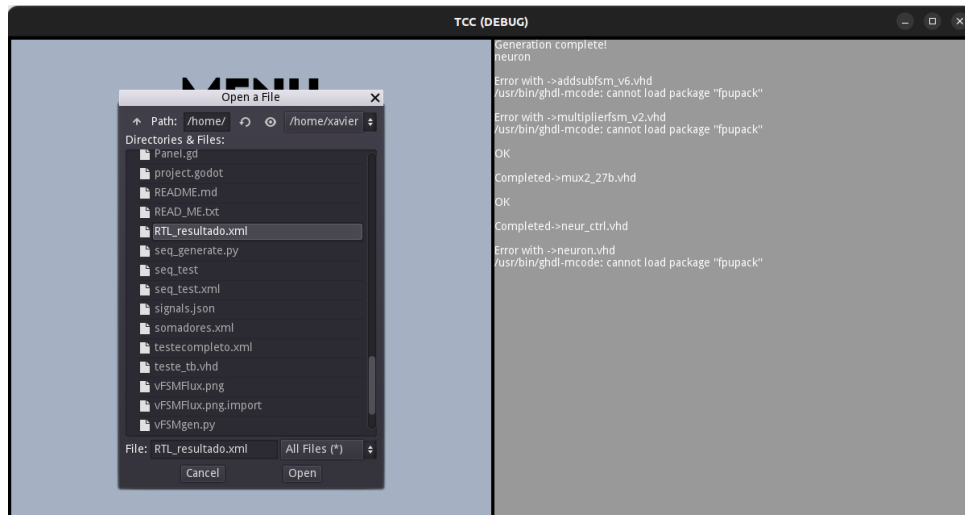


Figura 4.49 – Tela de escolha de diagramas do vRTLgen e resultado.

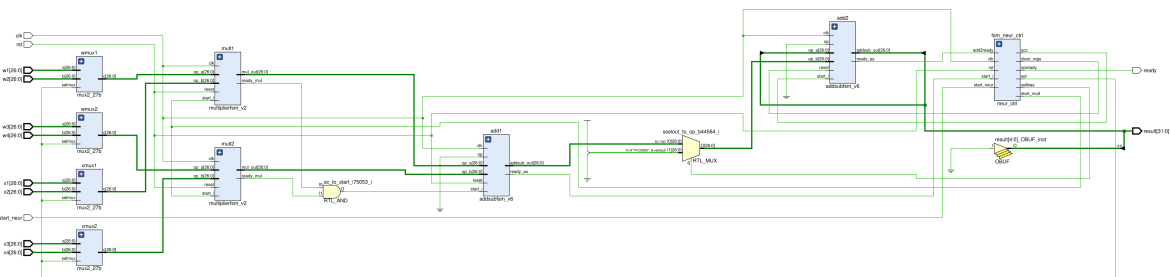


Figura 4.50 – Diagrama esquemático gerado pelo Vivado.

Para testar o funcionamento do *Perceptron* foi utilizada a ferramenta de criação de testbench *vTBgen*. Do lado esquerdo da figura 4.51 mostra-se como foi configurado o *testbench* e do lado direito apresenta-se o código obtido (vide Anexo A.8). São utilizadas constantes nas entradas e pesos, um *clock* de 100MHz, um sinal variável no *reset* e na entrada que inicia os cálculos. Por fim, são conectadas duas saídas, uma indicando o resultado em 32 bits em ponto flutuante, e outra que indica se o resultado está pronto.

A Figura 4.52 mostra o resultado da simulação do circuito obtido. Após a inicialização do circuito, um sinal para iniciar as operações. O valor das entradas foi configurado em "0x200000", 2.0 em base 10, os pesos em "0x2020000", 3.0 em base 10, e o valor do *bias* em 1.0, como mostra a Figura 4.47. O resultado final foi de 25.0, cuja representação em hexadecimal é "0x41c80000", confirmando a corretude lógica da implementação. Por fim, é gerado mais um pulso para iniciar novamente os cálculos e o mesmo resultado é obtido, comprovando que o circuito está funcionando corretamente.

Visto que a verificação do funcionamento do *Perceptron* foi bem-sucedida, pode-se implementá-lo em uma *Basys3*. Entretanto, não há como mapear todas as entradas e saídas do *Perceptron* na *Basys3* devido à grande quantidade de pinos de IO requeridos, sendo necessário realizar alguns ajustes.

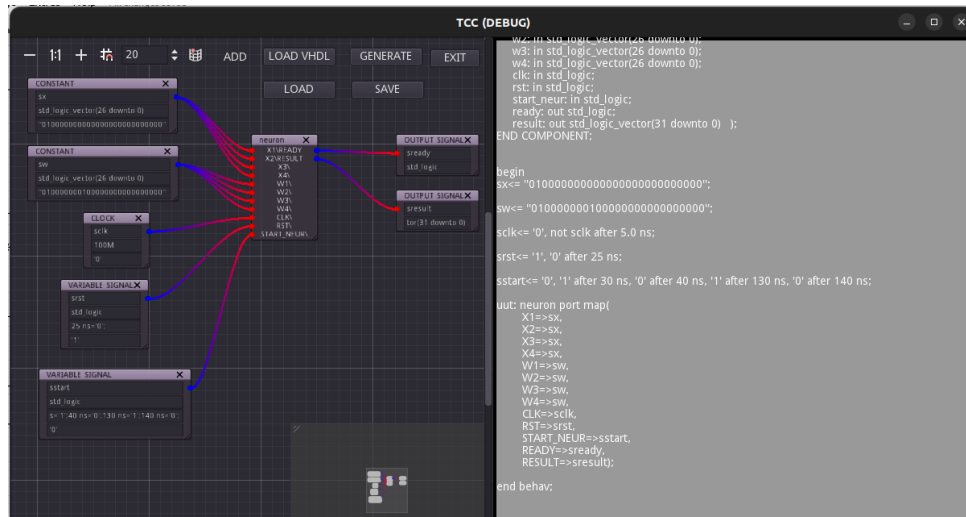


Figura 4.51 – Configuração do *tesbench* para o *Perceptron*.

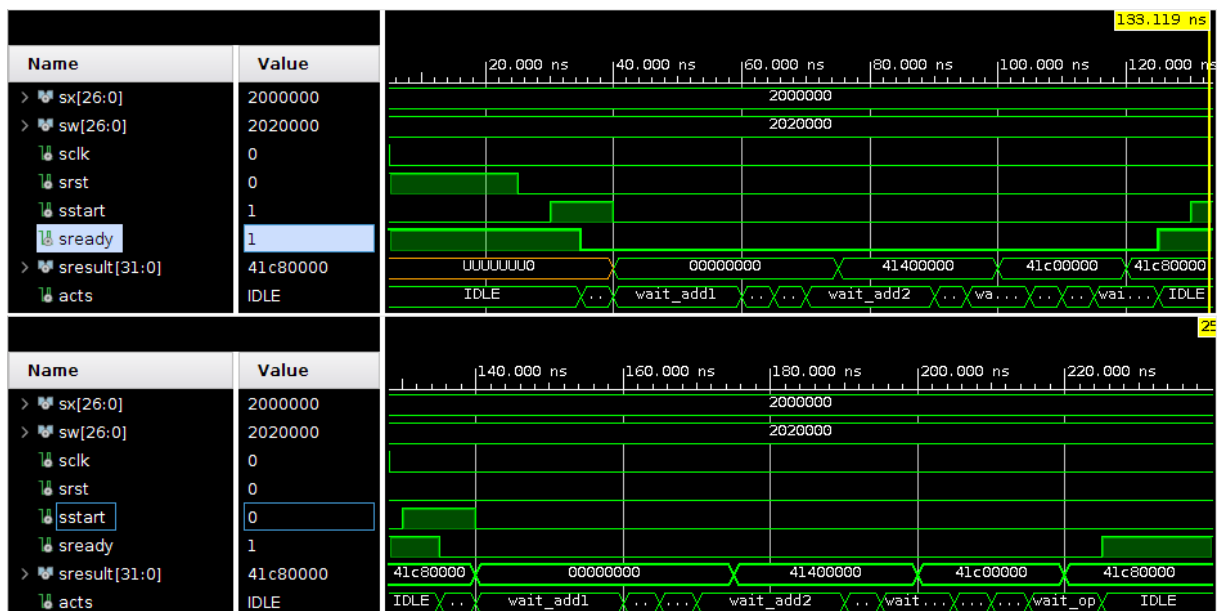


Figura 4.52 – Resultado da simulação do *testbench*.

A ferramenta *vRTLgen* possui a capacidade de reusabilidade de códigos. O código gerado a partir da Figura 4.47 é automaticamente adicionado à biblioteca de códigos da ferramenta e pode ser prontamente reutilizado. A Figura 4.53 mostra o circuito chamado de *topmodule* que é implementado na Basys3, sendo que o funcionamento do circuito se resume a um *Perceptron* que recebe constantes $W1$, $W2$, $W3$ e $W4$ em conjunto com as entradas $X1$, $X2$, $X3$ e $X4$ geradas pelo gerador *gen_in* que, por sua vez, recebe uma *seed* e gera dois conjuntos de entradas que podem ser selecionadas por um *switch*. Após os cálculos, a palavra resultante de 32 bits alimenta *choose_out* que divide o resultado em palavras de 16 bits que são mostradas nos leds da Basys3, sendo possível escolher a parte alta ou a parte baixa a partir de um *switch* visto que a o sinal *ready* é mostrado no bit menos significativo da parte baixa.

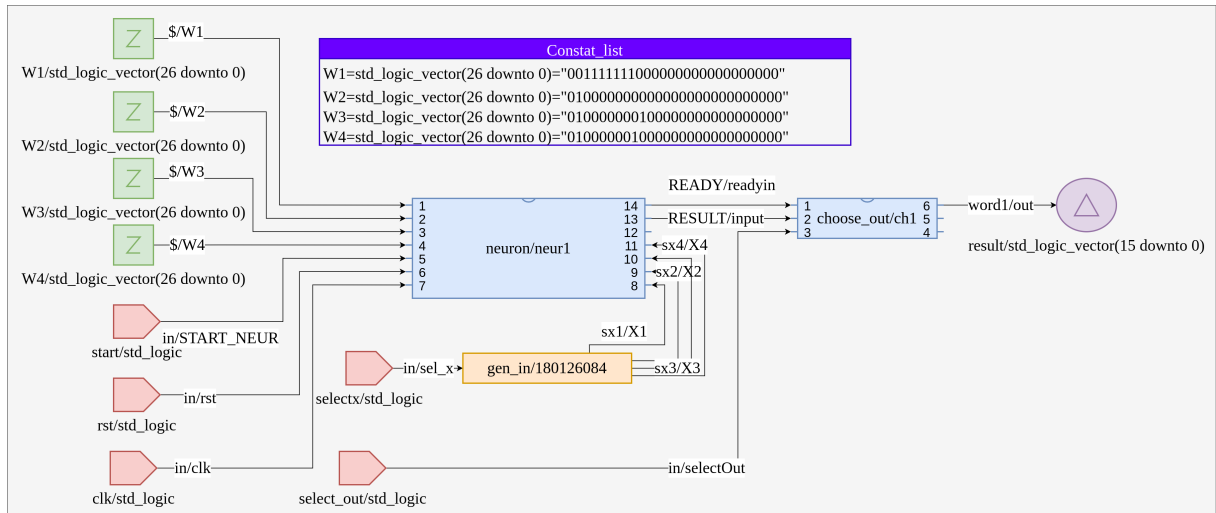


Figura 4.53 – Diagrama no Draw.io dp circuito implementado na Basys3.

O *vRTLgen* gerou o código apresentado no Anexo A.9 quando alimentado com o diagrama da Figura 4.53, e a partir deste código o diagrama RTL da Figura 4.54 foi gerado no Vivado. Percebe-se novamente, que o diagrama é muito semelhante ao diagrama montado no Draw.io, sendo que nesse caso o *gen_in* gerou os multiplexadores mostrados na figura.

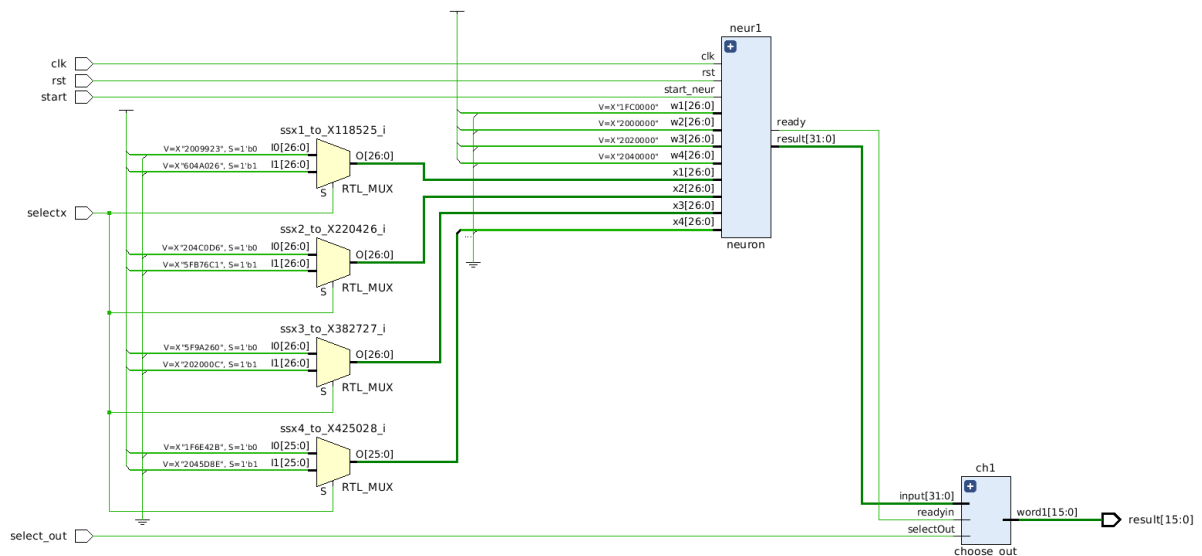


Figura 4.54 – Circuito implementado na Basys3.

Nesta implementação é muito importante saber quais são os valores de entrada do circuito para verificar o funcionamento do circuito. Felizmente, a ferramenta *vRTLgen* é capaz de imprimir qualquer texto que esteja presente em funções *print* dentro dos geradores de código, desta forma o usuário pode criar avisos e notificações personalizadas. Por exemplo, como mostra a Figura 4.55, o gerador *gen_in* imprime na tela o valor de cada variável, bem como o resultado aproximado que deve ser obtido.

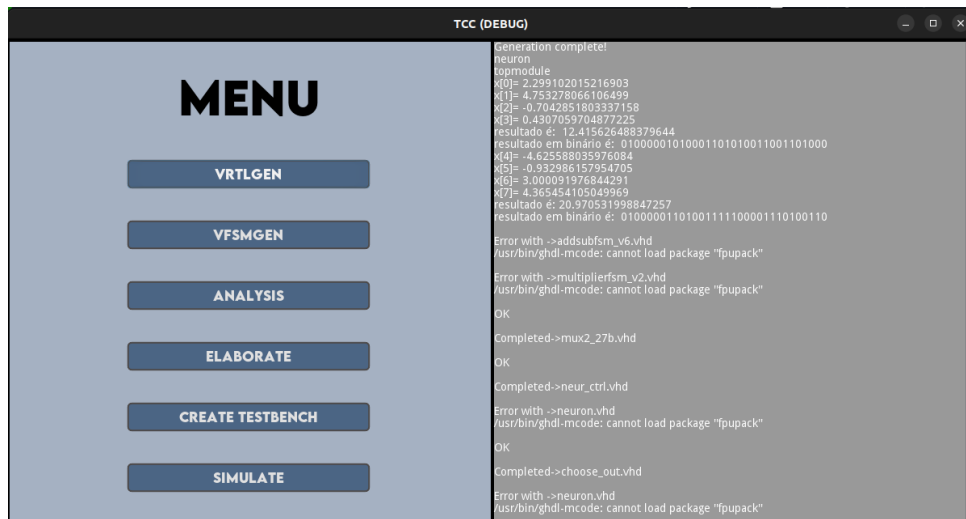


Figura 4.55 – Valores de entrada e resultados notificados pelo gerador de código.

Novamente, o *vTBgen* é utilizado para gerar o *testbench* do circuito, como mostra a Figura 4.56 que gera o código A.10. Este testbench funciona de maneira bem simples, os cálculos do primeiro conjunto de entradas são realizados após o *reset* do circuito e a parte alta e baixa da palavra do resultado são mostradas na saída, logo após trocam-se a entrada e repete-se o procedimento.

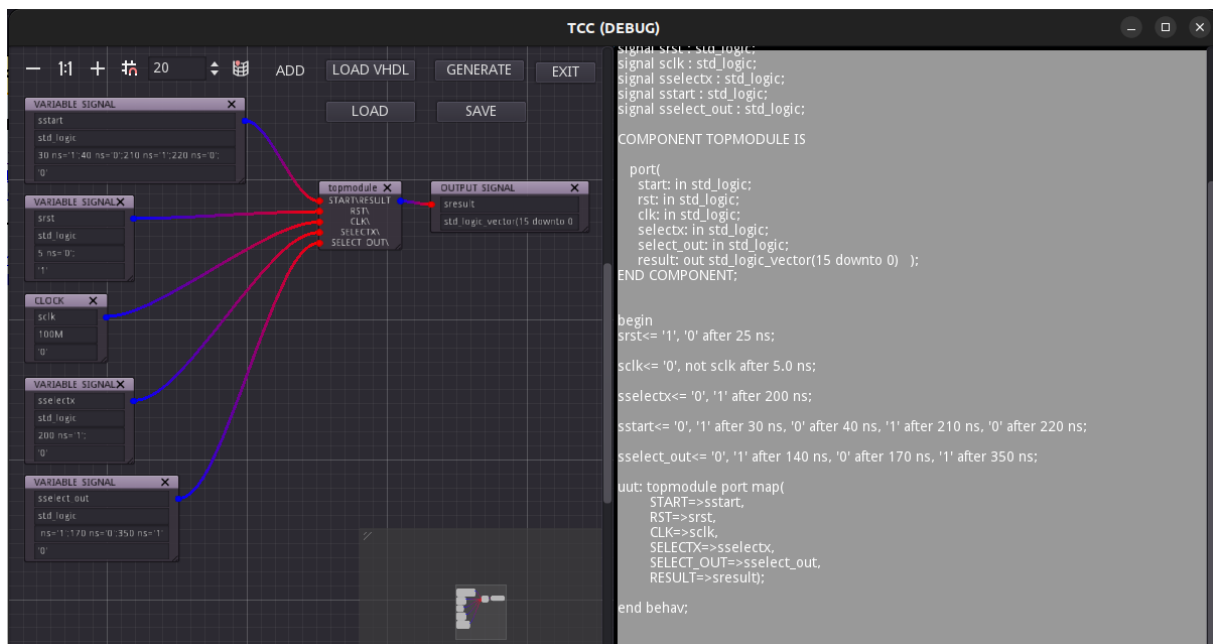


Figura 4.56 – Diagrama do *testbench* do *topmodule*.

A Figura 4.57 mostra a simulação do *testbench*. Após o *reset*, *sstart* é acionado e após alguns nanosegundos a saída 0xa621 aparece na saída. Ao trocar o valor de *sselect_out*, a saída se transforma em 0x4146. Quando as duas saídas (alta e baixa) são combinadas, ignorando o bit menos significativo, e transformados em *float*, representam o valor 12.415557861328125 que é próximo do que é mostrado na Figura 4.55. Logo após, trocam-se os valores de entrada

Novamente, a partir de diagramas oriundos do Draw.io em conjunto com as ferramentas *vRTLgen*, *vFSMgen* e *vTBgen* foi possível realizar todas as etapas de projeto necessárias para desenvolver um circuito em FPGA. Inclusive, foram facilmente reutilizados circuitos de etapas anteriores para gerar e testar novos designs.

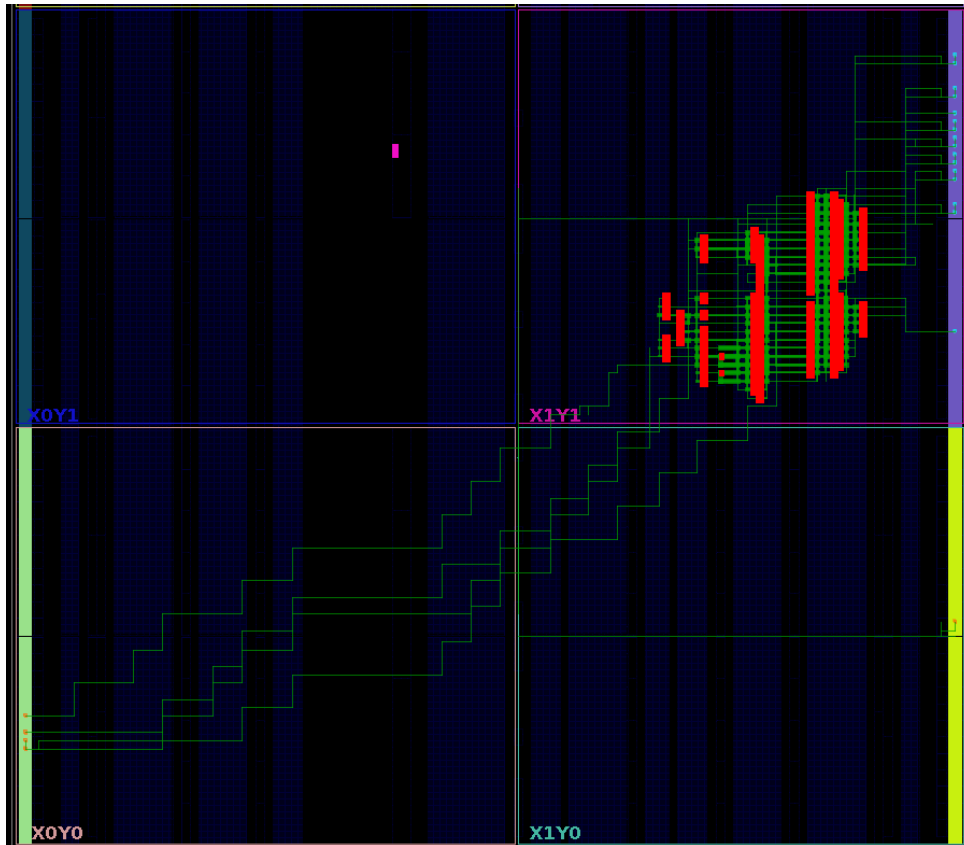


Figura 4.59 – Place and Route do topmodule.

Setup	Hold	Pulse Width
Worst Negative Slack (WNS): 7,133 ns	Worst Hold Slack (WHS): 0,184 ns	Worst Pulse Width Slack (WPWS): 4,500 ns
Total Negative Slack (TNS): 0,000 ns	Total Hold Slack (THS): 0,000 ns	Total Pulse Width Negative Slack (TPWS): 0,000 ns
Number of Failing Endpoints: 0	Number of Failing Endpoints: 0	Number of Failing Endpoints: 0
Total Number of Endpoints: 325	Total Number of Endpoints: 325	Total Number of Endpoints: 172

All user specified timing constraints are met.

Figura 4.60 – Sumário de análise de *timing* do circuito.

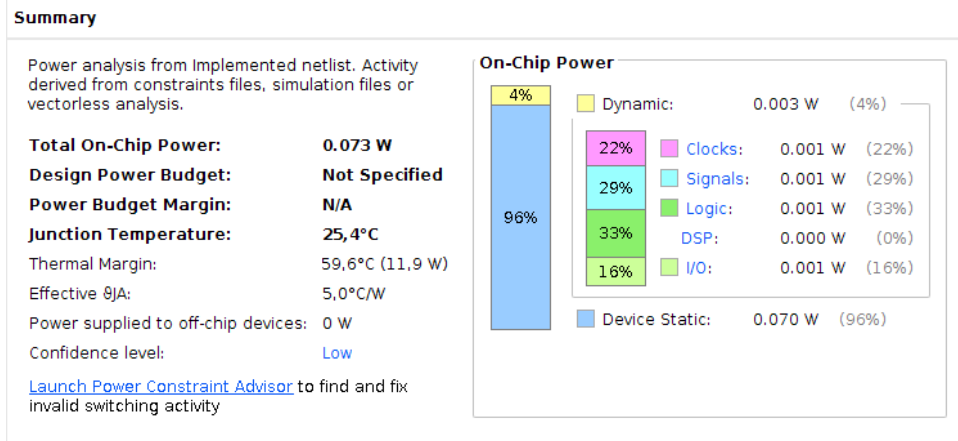


Figura 4.61 – Utilização de potência do circuito.

4.3 Caso de estudo encapsulamento com AXI4-Lite

Para demonstrar o funcionamento da ferramenta *AXIcreator* foi utilizado o mesmo circuito do perceptron da Figura 4.47, porém com a saída de 27 bits ao invés de 32 bits, ou seja, retirou-se a função “append_zeroes” do diagrama. Assim, o circuito resultante possui uma entrada de “clock”, uma entrada de “reset”, uma entrada “start_neur” que começa os cálculos do perceptron, 8 entradas de 27 bits para as entradas e pesos do perceptron, uma saída “ready” e uma saída de 27 bits que representa o resultado.

A configuração para este circuito no *AXIcreator* é mostrada na Figura 4.62. Percebe-se que o tamanho da porta ou *port size* é configurado para 27 bits, são utilizados 9 registradores para entradas e saídas, o “clock” e o “reset” da interface são conectados em suas portas equivalentes do código encapsulado, bem como o “START” e o “READY”. Por fim, os 4 primeiros registradores são conectados nas entradas, os próximos 4 são conectados aos pesos e o último é conectado à saída do código encapsulado. O processo utilizado para encapsular o código pode ser conferido [neste vídeo](#).

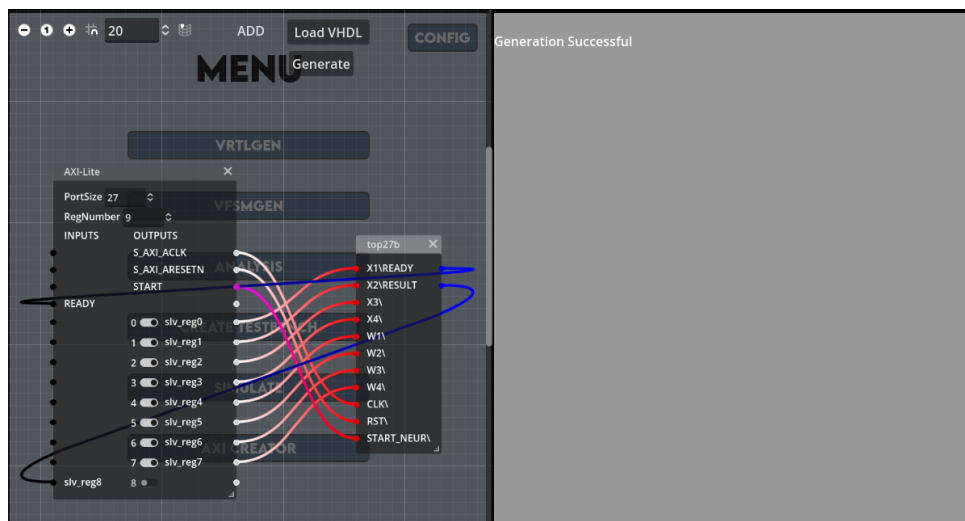


Figura 4.62 – Conexões realizadas no *AXIcreator*.

Os códigos gerados, apresentados nos Anexos A.11 e A.12, foram adicionados ao Vivado em um *Block Design* com um *ZYNQ Processing System* para realizar a conexão com a placa Zedboard e, neste caso, a interface AXI é automaticamente reconhecida ao adicionar o IP do *Perceptron* no *Block Design*, como mostrado na Figura 4.63.

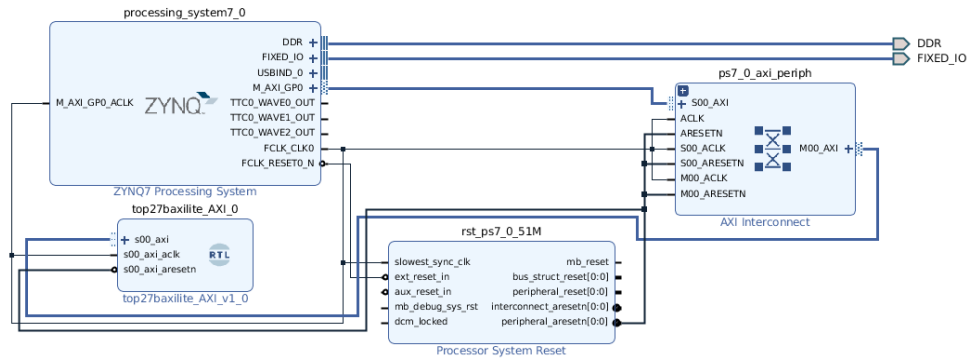


Figura 4.63 – *Block Design* gerado pelo Vivado com a interface AXI4-Lite. A interface criada possui o nome de “top27baxillite_AXI_0”.

Este circuito foi implementado com a frequência do “FCLK_CLK0” de 50MHz para garantir que atenda aos critérios de *timing*. Assim, a implementação e a geração de *bitstream* foi bem sucedida, sendo que o circuito atende os critérios de *timing* como mostra a Tabela 4.4, a utilização de recursos do circuito é mostrada na Figura 4.64 com maior parte dos recursos concentrados na interface AXI.

Tabela 4.4 – Valores pós-implementação de *timing*.

WNS (ns)	TNS (ns)	WHS (ns)	THS (ns)	WPWS (ns)	TPWS (ns)
6.362	0	0.051	0	8.823	0

Name	Slice LUTs (53200)	Slice Registers (106400)	Slice (13300)	LUT as Logic (53200)	LUT as Memory (17400)	DSPs (220)	Bonded IOPADs (130)	BUFGCTRL (32)
design_neuronio_lite_wrapper	1433	937	477	1373	60	2	130	1
design_neuronio_lite_i (design_neuronio_lite)	1433	937	477	1373	60	2	0	1
processing_system7_0 (design_neuronio_lite_processing_system7_0)	0	0	0	0	0	0	0	1
ps7_0_axi_periph (design_neuronio_lite_ps7_0_axi_periph)	350	428	140	291	59	0	0	0
rst_ps7_0_51M (design_neuronio_lite_rst_ps7_0_51M)	16	33	11	15	1	0	0	0
top27baxillite_AXI_0 (design_neuronio_lite_top27baxillite_AXI_0)	1067	476	331	1067	0	2	0	0

Figura 4.64 – Utilização do circuito pós-implementação.

A Figura 4.65 mostra o *Place and Route* do circuito e a Figura 4.66 mostra o consumo de energia do circuito que é relativamente alto, porém é o esperado em um SoC.

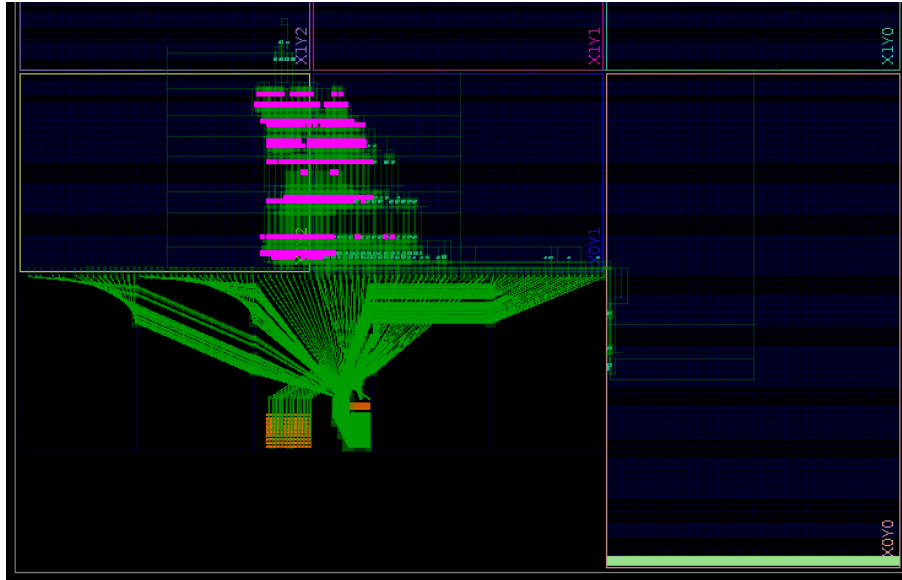


Figura 4.65 – Place and Route do circuito com a interface AXI destacada em vermelho.

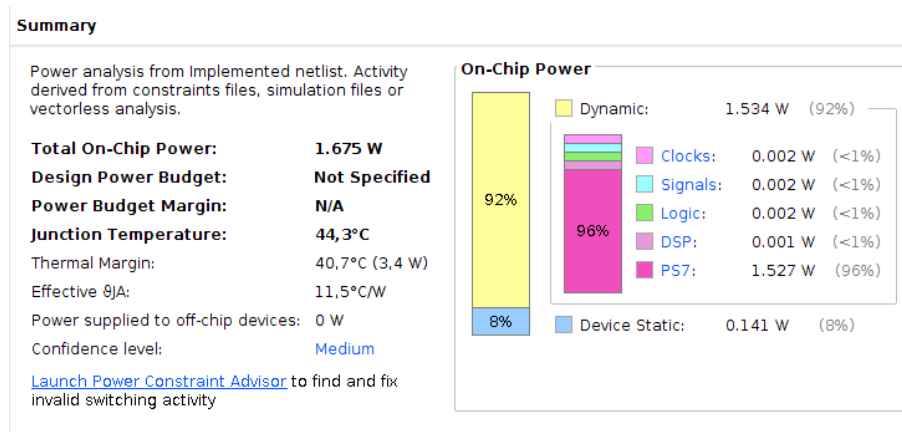


Figura 4.66 – Uso de energia do circuito.

Com a caracterização do circuito concluída, a validação em hardware utilizando a placa Zedboard foi realizada utilizando o código em C mostrado no Anexo A.15, que testa o circuito com 2 conjuntos de valores diferentes mostrados na Tabela 4.5.

Tabela 4.5 – Valores de entrada e saída do perceptron.

Entrada	Conjunto 1 hex(27b)	Valor(float32)	Conjunto 2 hex(27b)	Valor(float32)
X1	1FC0000	1	1FC0000	1
X2	2000000	2	2000000	2
X3	2020000	3	2020000	3
X4	2040000	4	2040000	4
W1	1FE0000	1,5	1FE0000	1,5
W2	1FC0000	1	1FC0000	1
W3	2006666	2,2	2006666	2,2
W4	2020000	3	2030000	3,5
Valor esperado	41B8CCC0	23,1	41c8ccc0	25,1

O resultado da operação é escrito na porta serial, como mostra a Figura 4.67, assim,

verificando que o circuito funciona corretamente. O processo de validação pode ser verificado neste vídeo.

```

1   5   10  15  20  25  30  35  40  45
Enviando entradas.\n
↳Lendo saida.saida neuronio= 41B8CCC0\n
↳Enviando entradas.\n
↳Lendo saida.\n
↳saida neuronio= 41C8CCC0\n
↳

```

Figura 4.67 – Resultados obtidos com o encapsulamento AXI4-Lite.

4.4 Caso de estudo encapsulamento com AXI4-Full

Para a demonstração do AXI4-Full foi utilizado um *IP Core* de uma rede neural artificial perceptron de múltiplas camadas ou MLP, sendo que este possui 4 perceptrons na camada de entrada, 4 perceptrons na camada escondida e 3 na camada de saída. Assim, são 4 entradas de 27 bits, 3 saídas de 27 bits e seus pesos já estão definidos internamente.

Para esta MLP a configuração escolhida no AXIcreator é mostrada na Figura 4.68. Esta mostra que a *port size* está configurado para 27 bits, utiliza-se uma memória de 64 bytes ou 16 palavras de 32 bits, o *clock* e o *reset* da interface são ligados em suas portas equivalentes do código encapsulado, bem como o “START” e o “READY”. Por fim, são conectadas as entradas e saídas, sendo que as entradas são um *array* de tamanho 4 indicado pelo texto “0->3” com o nome de “sx” na ferramenta e as saídas são um *array* de tamanho 3 indicado pelo texto “0->2” com o nome de “ssaida” na ferramenta.

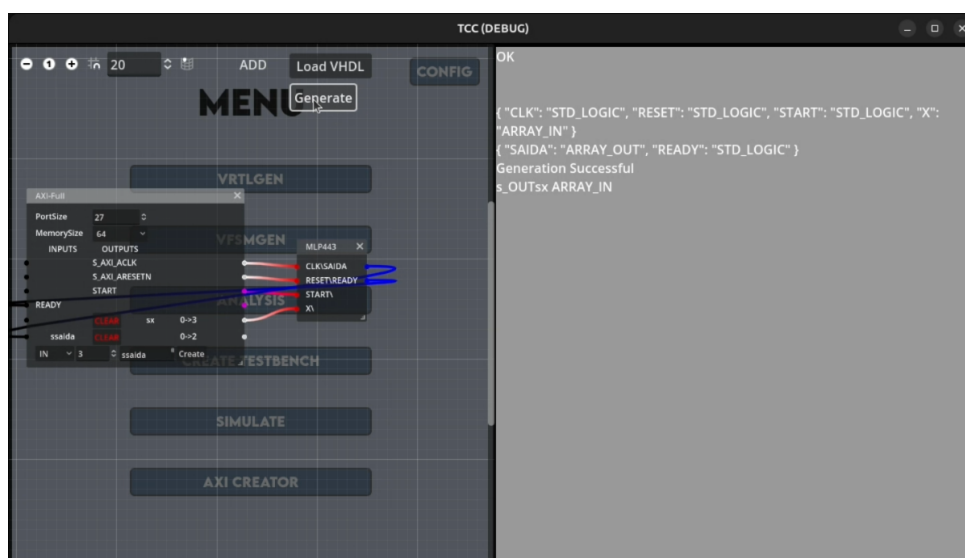


Figura 4.68 – Conexões realizadas no AXIcreator.

Os códigos gerados, apresentados nos Anexos A.13 e A.14, foram adicionados ao Vivado em um Block Design com um ZYNQ Processing System para realizar a conexão

com a placa Zedboard e, neste caso, a interface AXI foi automaticamente reconhecida ao adicionar o IP no Block Design, resultando no circuito da Figura 4.69. Percebe-se que quando utiliza-se uma interface AXI4-Full o Vivado utiliza o *AXI SmartConnect* ao invés do *AXI Interconnect*. O processo para chegar a este resultado pode ser conferido [neste vídeo](#).

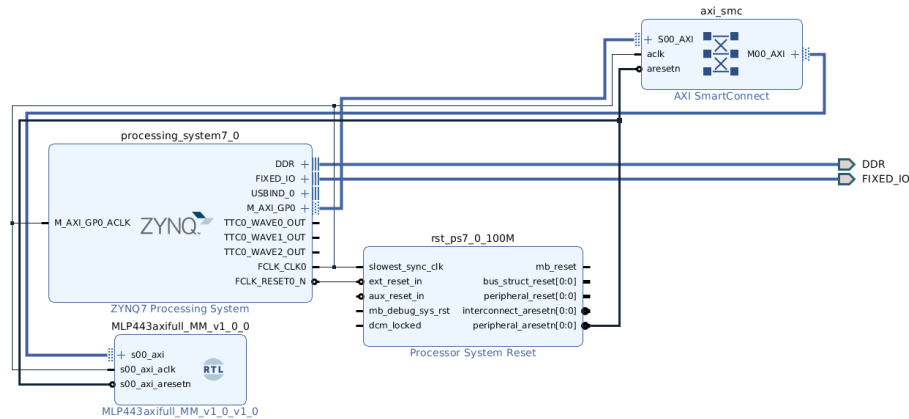


Figura 4.69 – *Block Design* gerado pelo Vivado com a interface AXI4-Full. A interface criada possui o nome de “MLP443axifull_MM_v1_0_0”.

Este circuito foi implementado com a frequência padrão de “FCLK_CLK0” de 100MHz com sucesso e gerado o *bitstream*. Assim, os critérios de *timing* foram atendidos como mostra a Tabela 4.6. A utilização de recursos é mostrada na Figura 4.70, como esperado, uma MLP utiliza uma grande quantidade de recursos.

Tabela 4.6 – Valores pós-implementação de *timing*.

WNS (ns)	TNS (ns)	WHS (ns)	THS (ns)	WPWS (ns)	TPWS (ns)
0.119	0	0.043		0 3.651	0

Name	Slice LUTs (53200)	Slice Registers (106400)	F7 Muxes (26600)	F8 Muxes (13300)	Slice (13300)	LUT as Logic (53200)	LUT as Memory (17400)	DSPs (220)	Bonded IOPADs (130)	BUFGCTRL (32)
design_MLP_wrapper	12819	2842	464	74	3702	12579	240	14	130	1
design_MLP_i (design_MLP)	12819	2842	464	74	3702	12579	240	14	0	1
axi_smc (design_MLP_axi_smc)	1071	764	1	0	333	832	239	0	0	0
MLP443axifull_MM_v1_0_0	11734	2045	463	74	3394	11734	0	14	0	0
processing_system7_0 (design_PS7_0)	0	0	0	0	0	0	0	0	0	1
rst_ps7_0_100M (design_RST_PS7_0_100M)	16	33	0	0	9	15	1	0	0	0

Figura 4.70 – Utilização de recursos do circuito.

A Figura 4.71 mostra o *Place and Route* do circuito com uma utilização de área relativamente alta e a Figura 4.72 mostra o consumo de energia do circuito que é relativamente alto, porém é o esperado em um SoC, ainda mais com um circuito relativamente grande.

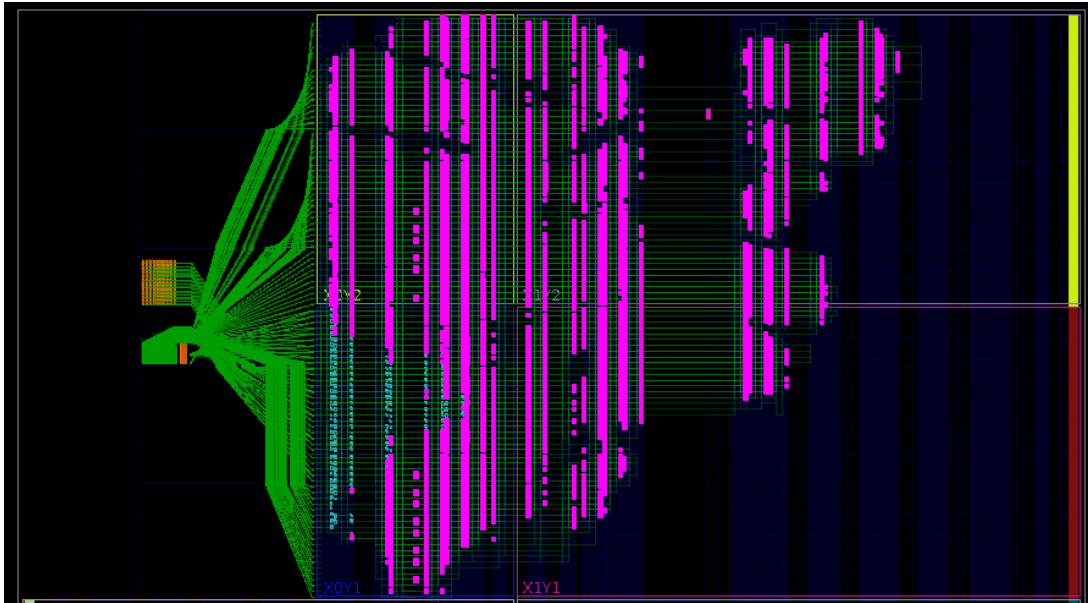


Figura 4.71 – *Place and Route* do circuito com a interface AXI destacada em rosa.

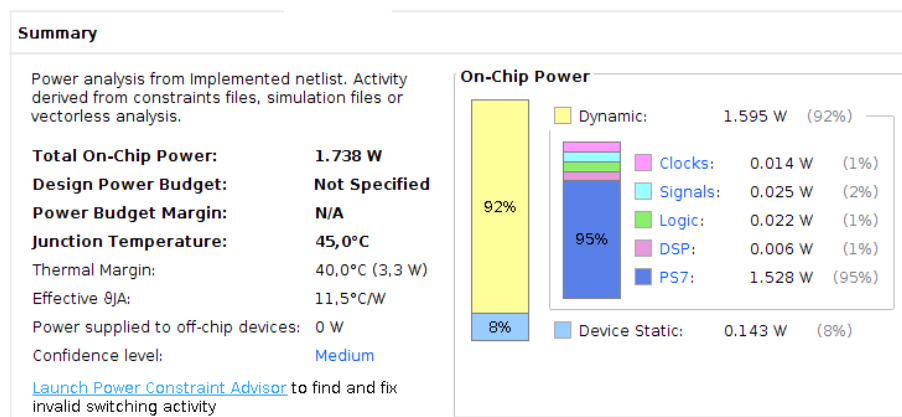


Figura 4.72 – Energia utilizada pelo circuito.

Com a caracterização do circuito concluída a validação em hardware utilizando a placa Zedboard foi realizada utilizando o código do Anexo A.16 que testa a MLP com os valores de entrada ‘1.0’, ‘2.0’, ‘3.0’ e ‘4.0’. Para estes valores, segundo a simulação do circuito, deve-se encontrar os resultados em hexadecimal de “390EFEA0”, “3DCC49E0”, “3F7EBA60”. Assim, o funcionamento é validado pela saída serial que imprime os valores mostrados na Figura 4.73. O processo de validação pode ser conferido [neste vídeo](#).

```

1   5   10  15  20  25  30  35  40
Enviando entradas
↳ Calculando Saídas
↳ saída neuronio= 390EFEA0
↳ saída neuronio= 3DCC49E0
↳ saída neuronio= 3F7EBA60
↳

```

Figura 4.73 – Resultados da MLP impressos na porta serial.

Assim, finalizam-se as demonstrações referentes ao protocolo AXI. Percebe-se que é possível facilmente encapsular um código VHDL, sendo necessário somente que ele possua portas de “START”, “READY” e todas as saídas e entradas de mesmo tamanho. Conclui-se também que com a aplicação HiLDA é possível criar um design complexo, testá-lo e integrá-lo a um SoC de uma forma relativamente simples.

5 Conclusões

O Draw.io se mostrou como uma aplicação promissora para ser utilizada como base de geradores de códigos. A diversidade de elementos e a capacidade de facilmente exportar diagramas elimina a necessidade de criar uma aplicação específica para criá-los, pelo menos ao nível de prototipação, sendo que para geradores voltados para o meio profissional é desejável uma aplicação específica.

A ferramenta *vFSMgen* foi executada com sucesso dentro das limitações propostas. Até o momento já é possível criar diagramas sintetizáveis e implementáveis de FSMs do tipo *Moore* e *Mealy*. Por fim, adições desejáveis a essa ferramenta são entradas e saídas de qualquer tipo e não somente binárias, assim, é possível criar FSMs mais complexas.

A ferramenta *vRTLgen* no momento é funcional, assim como mostrado nos resultados, já é possível criar circuitos relativamente complexos sintetizáveis, implementáveis em FPGAs e, também, validados em hardware utilizando a placa Zedboard. No entanto, a ferramenta não possui suporte para entradas genéricas e o seu principal ponto fraco são diagramas com muitos elementos, ao utilizá-la é recomendado que o circuito seja dividido em pedaços menores para facilitar a criação das conexões.

A ferramenta *AXIcreator* possui atualmente a capacidade de encapsular códigos utilizando tanto a interface AXI4-Lite quanto a AXI4-Full. Como demonstrado anteriormente, a ferramenta é funcional e cria códigos que funcionam em hardware. No entanto, esta ferramenta tem algumas limitações, como suportar apenas o modo escravo e limitar o uso a apenas uma interface AXI4-Full ou AXI4-Lite. Adicionalmente, a forma de encapsular um componente esta condicionada ao uso de uma entrada de *start* e uma saída *ready*.

A interface gráfica responsável pela integração de ferramentas funciona de forma satisfatória, sendo que no momento é possível acessar as ferramentas *vFSMgen*, *vRTLgen*, *vTBgen*, *AXIcreator*, a funcionalidade de análise do gHDL, bem como exercer simulações utilizando o gHDL.

Com isso todos os objetivos do trabalho foram alcançados satisfatoriamente. A ferramenta HiLDA tem grande potencial de aplicação em ambientes educacionais e de pesquisa, além de grandes possibilidades de expansão de suas funcionalidades. Por exemplo, facilmente podem ser adicionados códigos VHDL e novos geradores de códigos à *vRTLgen*. Novas topologias para encapsulamento utilizando AXI4 também podem ser criadas. Por fim, pode-se aprimorar a integração da ferramenta HiLDA com o Vivado utilizando-o apenas a partir de *scripts*.

Referências

- AMD. **AXI Vivado Reference AXI Reference Guide**. AMD, jul. 2017. Disponível em: <<https://docs.xilinx.com/v/u/en-US/ug1037-vivado-axi-reference-guide>>. Citado nas pp. 20, 21.
- AMD. **Vivado Design Suite User Guide: Dynamic Function eXchange (UG909)**. AMD, mai. 2023a. Disponível em: <<https://docs.xilinx.com/r/en-US/ug909-vivado-partial-reconfiguration/Navigating-Content-by-Design-Process>>. Citado na p. 17.
- AMD. **Zynq 7000 SOC**. 2023b. Disponível em: <<https://www.xilinx.com/products/silicon-devices/soc/zynq-7000.html#productAdvantages>>. Citado na p. 19.
- ARBOLEDA, D. M. M.; LLANOS, C. H.; COELHO, L. d.; AYALA-RINCÓN, M. Hardware Architecture for Particle Swarm Optimization Using Floating-Point Arithmetic. In: 2009 Ninth International Conference on Intelligent Systems Design and Applications. 2009. P. 243–248. DOI: 10.1109/ISDA.2009.107. Citado na p. 22.
- AVNET. **Zedboard | Avnet Boards**. AVNET, 2023. Disponível em: <<https://www.avnet.com/wps/portal/us/products/avnet-boards/avnet-board-families/zedboard/>>. Citado na p. 26.
- AYALA, H. V. H.; MUÑOZ, D. M.; LLANOS, C. H.; SANTOS COELHO, L. dos. Efficient hardware implementation of radial basis function neural network with customized-precision floating-point operations. **Control Engineering Practice**, v. 60, p. 124–132, 2017. ISSN 0967-0661. DOI: <https://doi.org/10.1016/j.conengprac.2016.12.004>. Disponível em: <<https://www.sciencedirect.com/science/article/pii/S0967066116302921>>. Citado na p. 22.
- BALID, W.; ABDULWAHED, M. A novel FPGA educational paradigm using the next generation programming languages case of an embedded FPGA system course. In: 2013 IEEE Global Engineering Education Conference (EDUCON). 2013. P. 23–31. DOI: 10.1109/EduCon.2013.6530082. Citado na p. 13.
- BERKOWITZ, E. **Why should you use an industrial embedded system for production automation?** Fev. 2023. Disponível em: <<https://www.cprime.com/resources/blog/why-should-you-use-an-industrial-embedded-system-for-production-automation/>>. Citado na p. 13.
- CHU, P. P. **FPGA prototyping by VHDL examples: Xilinx spartan-3 version**. Wiley-Interscience, 2008. Citado nas pp. 17, 18.

- COUSSY, P.; GAJSKI, D. D.; MEREDITH, M.; TAKACH, A. An Introduction to High-Level Synthesis. **IEEE Design & Test of Computers**, v. 26, n. 4, p. 8–17, 2009. DOI: [10.1109/MDT.2009.69](https://doi.org/10.1109/MDT.2009.69). Citado na p. 19.
- DIGILENT. **Basys 3 artix-7 FPGA trainer board: Recommended for introductory users**. Digilent, 2023. Disponível em: <https://digilent.com/shop/basys-3-artix-7-fpga-trainer-board-recommended-for-introductory-users/>. Citado na p. 25.
- EB. **Xilinx Artix Arty**. EB, nov. 2015. Disponível em: <https://eb.dy.fi/author/eb/page/5/>. Citado na p. 18.
- FORSYDE. **The SystemC implementation of ForSyDe**. ForSyDe. Disponível em: <https://forsyde.github.io/ForSyDe-SystemC/ct-tutorial>. Citado na p. 21.
- GODOT. **List of features**. Godot, 2023. Disponível em: https://docs.godotengine.org/en/3.5/about/list_of_features.html. Citado na p. 55.
- IVO, R. M.; MUÑOZ, D. M. RTRLib: A High-Level Modeling Tool for the Implementation of Dynamically Partial Reconfigurable System-on-Chips. In: 2019 International Conference on ReConfigurable Computing and FPGAs (ReConFig). 2019. P. 1–5. DOI: [10.1109/ReConFig48160.2019.8994779](https://doi.org/10.1109/ReConFig48160.2019.8994779). Citado na p. 21.
- JESUS, T. R. de. **Arquiteturas de hardware dedicadas de controladores nebulosos para auxílio à locomoção de deficientes visuais**. 2017. Dissertação (Mestrado em Sistemas Mecatrônicos) – Universidade de Brasília, Brasília. Citado na p. 22.
- LOPEZ, D.; JIMENEZ, C.; BATURONE, I.; BARRIGA, A.; SANCHEZ-SOLANO, S. Xfuzzy: a design environment for fuzzy systems. In: 1998 IEEE International Conference on Fuzzy Systems Proceedings. IEEE World Congress on Computational Intelligence (Cat. No.98CH36228). 1998. v. 2, 1060–1065 vol.2. DOI: [10.1109/FUZZY.1998.686265](https://doi.org/10.1109/FUZZY.1998.686265). Citado na p. 22.
- MARTIN, D. **US chip industry has another shortage: Electronics engineers**. The Register, jul. 2022. Disponível em: https://www.theregister.com/2022/07/08/semiconductor_engineer_shortage/. Citado na p. 13.
- MENDEZ, S. P.; GHERARDINI, M.; SANTOS, G. V. d. P.; MUÑOZ, D. M.; AYALA, H. V. H.; CIPRIANI, C. Data-Driven Real-Time Magnetic Tracking Applied to Myokinetic Interfaces. **IEEE Transactions on Biomedical Circuits and Systems**, v. 16, n. 2, p. 266–274, 2022. DOI: [10.1109/TBCAS.2022.3161133](https://doi.org/10.1109/TBCAS.2022.3161133). Citado na p. 22.
- MUÑOZ, D. M.; SÁNCHEZ, D.; LLANOS, C.; AYALA-RINCÓN, M. Tradeoff of FPGA Design of a Floating-point Library for Arithmetic Operators. **International Journal of Integrated Circuits and Systems**, v. 5, n. 1, 2010. Citado na p. 63.

- MUÑOZ, D.; LLANOS, C.; COELHO, L.; AYALA-RINCÓN, M. Hardware opposition-based PSO applied to mobile robot controllers. **Engineering Applications of Artificial Intelligence**, v. 28, 2014. Citado na p. 59.
- MUÑOZ, D. M.; LLANOS, C. H.; COELHO, L. d. S.; AYALA-RINCÓN, M. Comparison between two FPGA implementations of the Particle Swarm Optimization algorithm for high-performance embedded applications. In: 2010 IEEE Fifth International Conference on Bio-Inspired Computing: Theories and Applications (BIC-TA). 2010. P. 1637–1645. DOI: [10.1109/BICTA.2010.5645256](https://doi.org/10.1109/BICTA.2010.5645256). Citado na p. 22.
- PROST-BOUCLE, A.; MULLER, O.; ROUSSEAU, F. A Fast and Autonomous HLS Methodology for Hardware Accelerator Generation under Resource Constraints. In: 2013 Euromicro Conference on Digital System Design. 2013. P. 201–208. DOI: [10.1109/DSD.2013.30](https://doi.org/10.1109/DSD.2013.30). Citado na p. 19.
- VAHID, F. **Digital Design**. J. Wiley & Sons, 2007. Citado nas pp. 15–17, 59.
- VASILACHE, N.; ZINENKO, O.; BIK, A. J. C.; RAVISHANKAR, M.; RAOUX, T.; BELYAEV, A.; SPRINGER, M.; GYSI, T.; CABALLERO, D.; HERHUT, S.; LAURENZO, S.; COHEN, A. Structured Operations: Modular Design of a Code Generators for Tensor Compilers. In: MENDIS, C.; RAUCHWERGER, L. (Ed.). **Languages and Compilers for Parallel Computing**. Cham: Springer Nature Switzerland, 2023. P. 141–156. ISBN 978-3-031-31445-2. Citado na p. 13.
- WAKERLY, J. F. **Digital Design: Principles and practices**. 4. ed.: Pearson Prentice Hall, 2006. Citado nas pp. 15, 16.
- WILSON, A. **Active-HDL**. FirstEDA. Disponível em: <https://firsteda.com/products/aldec/aldec-active-hdl/>. Citado na p. 21.
- XILINX. **Vitis High-Level Synthesis User Guide (UG1399)**. Mai. 2023. Disponível em: <https://docs.xilinx.com/r/en-US/ug1399-vitis-hls/Benefits-of-High-Level-Synthesis>. Citado nas pp. 19–21.
- ZHANG, X.; WANG, J.; ZHU, C.; LIN, Y.; XIONG, J.; HWU, W.-m.; CHEN, D. DNNBuilder: an Automated Tool for Building High-Performance DNN Hardware Accelerators for FPGAs. In: 2018 IEEE/ACM International Conference on Computer-Aided Design (ICCAD). 2018. P. 1–8. DOI: [10.1145/3240765.3240801](https://doi.org/10.1145/3240765.3240801). Citado na p. 22.

Anexos

Anexo A – Códigos Gerados pela Aplicação HiLDA e de Validação em Hardware

A.1 Exemplo de FSM simples

Código A.1 – Código gerado a partir do exemplo da figura 3.21.

```
1 library IEEE;
2 use IEEE.STD_LOGIC_1164.ALL;
3
4 entity exemplo is
5     Port ( clk : in STD_LOGIC;
6           rst : in STD_LOGIC;
7           button: in STD_LOGIC;
8           fim: out STD_LOGIC;
9           s1: out STD_LOGIC;
10          s2: out STD_LOGIC);
11 end exemplo;
12
13 architecture Behavioral of exemplo is
14
15     type states is (A,B,C);
16     signal acts,nxts:states:=A;
17
18     begin
19     stateReg:process(clk,rst)
20     begin
21         if rst = '1' then
22             acts <= A;
23         elsif rising_edge(clk) then
24             acts <= nxts;
25         end if;
26     end process;
27
28     combLogic:process(acts,button)
29     begin
30
31     case acts is
32         when A=>
33             if button='1' then
34                 nxts<= B;
35             else
36                 nxts<=A;
37             end if;
```

```
38     when B=>
39         if button='1' then
40             nxts<= C;
41         else
42             nxts<=A;
43         end if;
44     when C=>
45         if button='0' then
46             nxts<= A;
47         else
48             nxts<=C;
49         end if;
50     when others=>
51         nxts<= A;
52 end case;
53 end process;
54
55 outputLogic : process (acts , button)
56 begin
57
58 case acts is
59     when A=>
60         fim<='0';
61
62         if button='1' then
63             s1<='0';
64             s2<='1';
65         else
66             s1<='0';
67             s2<='0';
68         end if;
69     when B=>
70         fim<='0';
71
72         if button='1' then
73             s1<='1';
74             s2<='0';
75         else
76             s1<='0';
77             s2<='1';
78         end if;
79     when C=>
80         fim<='1';
81
82         if button='0' then
83             s1<='0';
84             s2<='1';
85         else
86             s1<='1';
87             s2<='0';
88         end if;
89     when others=>
```

```

90     fim<='0';
91     s1<='0';
92     s2<='0';
93 end case;
94 end process;
95 end Behavioral;

```

A.2 Casos suportados para conversão automática de tipos de sinais

Código A.2 – Código com casos suportados para conversão de tipo de sinal.

```

1 def convert_signal(type0, type1, val):
2     type0 = type0.upper().split("(")[0]
3     type1 = type1.upper().split("(")[0]
4
5     vals = (type0, type1)
6
7     if type0.upper() == type1.upper():
8         return val
9     else:
10        print("Signal type does not match in", val)
11    match vals:
12        case ("STD_LOGIC_VECTOR", "UNSIGNED"):
13            print(val, "-> has been transformed from ", type0,
14                  "to", type1)
15            return f"unsigned({val})"
16
17        case ("STD_LOGIC_VECTOR", "SIGNED"):
18            print(val, "-> has been transformed from ", type0,
19                  "to", type1)
20            return f"signed({val})"
21
22        case ("STD_LOGIC_VECTOR", "INTEGER"):
23            print(val, "-> has been transformed from ", type0,
24                  "to", type1)
25            return f"to_integer(unsigned({val}))"
26
27        case ("UNSIGNED", "STD_LOGIC_VECTOR"):
28            print(val, "-> has been transformed from ", type0,
29                  "to", type1)
30            return f"std_logic_vector({val})"
31
32        case ("UNSIGNED", "SIGNED"):
33            print(val, "-> has been transformed from ", type0,
34                  "to", type1)
35            return f"signed({val})"
36
37        case ("UNSIGNED", "INTEGER"):

```

```

33     print(val, "-> has been transformed from ", type0,
34           "to", type1)
35     return f"to_integer({val})"
36
37     case ("SIGNED", "STD_LOGIC_VECTOR"):
38         print(val, "-> has been transformed from ", type0,
39               "to", type1)
40         return f"std_logic_vector({val})"
41
42     case ("SIGNED", "INTEGER"):
43         print(val, "-> has been transformed from ", type0,
44               "to", type1)
45         return f"to_integer({val})"
46
47     case ("SIGNED", "UNSIGNED"):
48         print(val, "-> has been transformed from ", type0,
49               "to", type1)
50         return f"unsigned({val})"
51
52     case ("INTEGER", "UNSIGNED"):
53         print(val, "-> has been transformed from ", type0,
54               "to", type1)
55         return f"to_unsigned({val},1)"
56
57     case ("INTEGER", "SIGNED"):
58         print(val, "-> has been transformed from ", type0,
59               "to", type1)
60         return f"to_signed({val},1)"
61
62     case ("INTEGER", "STD_LOGIC_VECTOR"):
63         print(val, "-> has been transformed from ", type0,
64               "to", type1)
65         return f"std_logic_vector(to_unsigned({val},1))"
66
67     case _:
68         print(f"{val}--->conversion not supported " + type0 +
69               " and " + type1)
70         exit()

```

A.3 Código do *multiply-accumulate*

Código A.3 – Código gerado a partir do exemplo da figura 3.29.

```

1  library IEEE;
2  use IEEE.STD_LOGIC_1164.ALL;
3  use IEEE.NUMERIC_STD.ALL;
4
5  USE WORK.FPUPACK.ALL;
6
7  entity exRTL is
8

```

```

9     port(
10         clk: in std_logic;
11         rst: in std_logic;
12         x1: in std_logic_vector(26 downto 0);
13         x2: in std_logic_vector(26 downto 0);
14         beginCalc: in std_logic;
15         result: out std_logic_vector(26 downto 0);
16         accReady: out std_logic );
17 end exRTL;
18
19 architecture Behavioral of exRTL is
20
21 component addsubfsm_v6 is
22     port (reset      : in std_logic;
23          clk        : in std_logic;
24          op         : in std_logic;
25          op_a       : in std_logic_vector(FP_WIDTH-1 downto 0);
26          op_b       : in std_logic_vector(FP_WIDTH-1 downto 0);
27          start_i    : in std_logic;
28          addsub_out : out std_logic_vector(FP_WIDTH-1 downto 0);
29          ready_as   : out std_logic);
30 end component;
31
32 component multiplierfsm_v2 is
33     port (reset      : in std_logic;
34          clk        : in std_logic;
35          op_a       : in std_logic_vector(FP_WIDTH-1 downto 0);
36          op_b       : in std_logic_vector(FP_WIDTH-1 downto 0);
37          start_i    : in std_logic;
38          mul_out    : out std_logic_vector(FP_WIDTH-1 downto 0);
39          ready_mul  : out std_logic);
40 end component;
41
42 signal saddsub_out_to_out6970 : STD_LOGIC_VECTOR( FP_WIDTH-1 DOWNT0
43           0 );
44 signal saddsub_out_to_out6970 : STD_LOGIC;
45 signal smul_out_to_op_b5684 : STD_LOGIC_VECTOR( FP_WIDTH-1 DOWNT0 0
46           );
47 signal sready_mul_to_start_i9575 : STD_LOGIC;
48 constant sconst_to_op19318 : std_logic:='0';
49
50 begin
51 add1: addsubfsm_v6
52     port map(
53         RESET=>rst,
54         CLK=>clk,
55         OP=>sconst_to_op19318,
56         OP_A=>saddsub_out_to_out6970,
57         OP_B=>smul_out_to_op_b5684,
58         START_I=>sready_mul_to_start_i9575,
59         ADDSUB_OUT=>saddsub_out_to_out6970,

```

```

59     READY_AS=>saddsub_out_to_out6970);
60
61 mult1: multiplierfsm_v2
62     port map(
63         RESET=>rst,
64         CLK=>clk,
65         OP_A=>x1,
66         OP_B=>x2,
67         START_I=>beginCalc,
68         MUL_OUT=>smul_out_to_op_b5684,
69         READY_MUL=>sready_mul_to_start_i9575);
70
71
72
73
74
75 result<=saddsub_out_to_out6970;
76 accReady<=saddsub_out_to_out6970;
77
78
79 end behavioral;

```

A.4 Códigos utilizados na implementação do controlador de marca-passo

Código A.4 – Código do bloco de controle de um marca-passo gerado pelo vFSMgen.

```

1  library IEEE;
2  use IEEE.STD_LOGIC_1164.ALL;
3
4  entity marcapasso is
5      Port ( clk : in STD_LOGIC;
6            rst : in STD_LOGIC;
7            sa : in STD_LOGIC;
8            za : in STD_LOGIC;
9            sv : in STD_LOGIC;
10           zv : in STD_LOGIC;
11           pa : out STD_LOGIC;
12           pv : out STD_LOGIC;
13           ta : out STD_LOGIC;
14           tv : out STD_LOGIC);
15 end marcapasso;
16
17 architecture Behavioral of marcapasso is
18
19 type states is
20     (ResetTemporizadorA, EsperaA, ContracaoA, ResetTemporizadorV, EsperaV, Contra
21 signal acts, nxts: states := ResetTemporizadorA;

```

```
22 begin
23 stateReg: process (clk, rst)
24 begin
25     if rst = '1' then
26         acts <= ResetTemporizadorA;
27     elsif rising_edge(clk) then
28         acts <= nxts;
29     end if;
30 end process;
31
32 combLogic: process (acts, sa, sv, za, zv)
33 begin
34
35 case acts is
36     when ResetTemporizadorA=>
37         nxts <= EsperaA;
38     when EsperaA=>
39         if sa='0' and za='1' then
40             nxts <= ContracaoA;
41         elsif sa='1' then
42             nxts <= ResetTemporizadorV;
43         else
44             nxts <= EsperaA;
45         end if;
46     when ContracaoA=>
47         nxts <= ResetTemporizadorV;
48     when ResetTemporizadorV=>
49         nxts <= EsperaV;
50     when EsperaV=>
51         if sv='0' and zv='1' then
52             nxts <= ContracaoV;
53         elsif sv='1' then
54             nxts <= ResetTemporizadorA;
55         else
56             nxts <= EsperaV;
57         end if;
58     when ContracaoV=>
59         nxts <= ResetTemporizadorA;
60     when others=>
61         nxts <= ResetTemporizadorA;
62 end case;
63 end process;
64
65 outputLogic: process (acts, sa, sv, za, zv)
66 begin
67
68 case acts is
69     when ResetTemporizadorA=>
70         pa <= '0';
71         ta <= '1';
72         pv <= '0';
73         tv <= '0';
```

```

74     when EsperaA=>
75         pa<='0';
76         ta<='0';
77         pv<='0';
78         tv<='0';
79     when ContracaoA=>
80         pa<='1';
81         ta<='0';
82         pv<='0';
83         tv<='0';
84     when ResetTemporizadorV=>
85         pa<='0';
86         ta<='0';
87         pv<='0';
88         tv<='1';
89     when EsperaV=>
90         pa<='0';
91         ta<='0';
92         pv<='0';
93         tv<='0';
94     when ContracaoV=>
95         pa<='0';
96         ta<='0';
97         pv<='1';
98         tv<='0';
99     when others=>
100         pa<='0';
101         pv<='0';
102         ta<='0';
103         tv<='0';
104 end case;
105 end process;
106 end Behavioral;

```

Código A.5 – Código do *testbench* do controlador marca-passo.

```

1  library IEEE;
2  use IEEE.STD_LOGIC_1164.ALL;
3  use IEEE.NUMERIC_STD.ALL;
4
5  entity marcapasso_tb is
6  end marcapasso_tb;
7
8  architecture behav of marcapasso_tb is
9
10 signal sclk : std_logic;
11 signal srst : STD_LOGIC;
12 signal spa : STD_LOGIC;
13 signal sta : STD_LOGIC;
14 signal spv : STD_LOGIC;
15 signal stv : STD_LOGIC;
16 signal ssa : STD_LOGIC;

```

```
17 signal sza : STD_LOGIC;
18 signal ssv : STD_LOGIC;
19 signal szv : STD_LOGIC;
20
21 COMPONENT MARCAPASSO IS
22     Port ( clk : in STD_LOGIC;
23           rst : in STD_LOGIC;
24           sa: in STD_LOGIC;
25           za: in STD_LOGIC;
26           sv: in STD_LOGIC;
27           zv: in STD_LOGIC;
28           pa: out STD_LOGIC;
29           pv: out STD_LOGIC;
30           ta: out STD_LOGIC;
31           tv: out STD_LOGIC);
32 END COMPONENT;
33
34
35 begin
36 sclk<= '0', not sclk after 5.0 ns;
37
38 srst<= '0', '1' after 25 ns, '0' after 50 ns;
39
40 ssa<= '0', '1' after 60 ns, '0' after 80 ns;
41
42 sza<= '0', '1' after 80 ns;
43
44 ssv<= '0', '1' after 100 ns, '0' after 120 ns;
45
46 szv<= '0', '1' after 120 ns;
47
48 uut: marcapasso port map(
49     CLK=>sclk,
50     RST=>srst,
51     SA=>ssa,
52     ZA=>sza,
53     SV=>ssv,
54     ZV=>szv,
55     PA=>spa,
56     PV=>spv,
57     TA=>sta,
58     TV=>stv);
59
60 end behav;
```

A.5 Códigos utilizados na implementação do *Perceptron*

Código A.6 – Código da FSM de controle do perceptron.

```

1  library IEEE;
2  use IEEE.STD_LOGIC_1164.ALL;
3
4  entity neur_ctrl is
5      Port ( clk : in STD_LOGIC;
6            rst : in STD_LOGIC;
7            start_neur: in STD_LOGIC;
8            start_i: in STD_LOGIC;
9            add2ready: in STD_LOGIC;
10           acc: out STD_LOGIC;
11           clear_regs: out STD_LOGIC;
12           opready: out STD_LOGIC;
13           sel: out STD_LOGIC;
14           selbias: out STD_LOGIC;
15           start_mult: out STD_LOGIC);
16 end neur_ctrl;
17
18 architecture Behavioral of neur_ctrl is
19
20 type states is
21     (IDLE, Estart_mult, wait_add1, accumulate, wait_add2, accumulate2, choose_bias,
22     signal acts, nxts: states := IDLE;
23
24 begin
25     stateReg: process (clk, rst)
26     begin
27         if rst = '1' then
28             acts <= IDLE;
29         elsif rising_edge(clk) then
30             acts <= nxts;
31         end if;
32     end process;
33
34     combLogic: process (acts, add2ready, start_i, start_neur)
35     begin
36         case acts is
37             when IDLE =>
38                 if start_neur = '1' then
39                     nxts <= Estart_mult;
40                 else
41                     nxts <= IDLE;
42                 end if;
43             when Estart_mult =>
44                 nxts <= wait_add1;
45             when wait_add1 =>
46                 if start_i = '1' then
47                     nxts <= accumulate;
48                 else
49                     nxts <= wait_add1;

```

```
50     end if;
51     when accumulate=>
52         nxts<=wait_add2;
53     when wait_add2=>
54         if start_i='1' then
55             nxts<= accumulate2;
56         else
57             nxts<=wait_add2;
58         end if;
59     when accumulate2=>
60         nxts<=choose_bias;
61     when choose_bias=>
62         if add2ready='1' then
63             nxts<= add_bias;
64         else
65             nxts<=choose_bias;
66         end if;
67     when add_bias=>
68         nxts<=wait_op;
69     when wait_op=>
70         if add2ready='1' then
71             nxts<= IDLE;
72         else
73             nxts<=wait_op;
74         end if;
75     when others=>
76         nxts<= IDLE;
77 end case;
78 end process;
79
80 outputLogic : process (acts , add2ready , start_i , start_neur)
81 begin
82
83     case acts is
84         when IDLE=>
85             acc <= '0';
86             sel <= '0';
87             selbias <= '0';
88             start_mult <= '0';
89             oready <= '1';
90             clear_regs <= '0';
91         when Estart_mult=>
92             acc <= '0';
93             sel <= '0';
94             selbias <= '0';
95             start_mult <= '1';
96             oready <= '0';
97             clear_regs <= '1';
98         when wait_add1=>
99             acc <= '0';
100            sel <= '1';
101            selbias <= '0';
```

```
102     start_mult <= '0';
103     opready <= '0';
104     clear_regs <= '0';
105     when accumulate=>
106         acc <= '1';
107         sel <= '1';
108         selbias <= '0';
109         start_mult <= '1';
110         opready <= '0';
111         clear_regs <= '0';
112     when wait_add2=>
113         acc <= '0';
114         sel <= '1';
115         selbias <= '0';
116         start_mult <= '0';
117         opready <= '0';
118         clear_regs <= '0';
119     when accumulate2=>
120         acc <= '1';
121         sel <= '1';
122         selbias <= '0';
123         start_mult <= '0';
124         opready <= '0';
125         clear_regs <= '0';
126     when choose_bias=>
127         acc <= '0';
128         sel <= '1';
129         selbias <= '1';
130         start_mult <= '0';
131         opready <= '0';
132         clear_regs <= '0';
133     when add_bias=>
134         acc <= '1';
135         sel <= '1';
136         selbias <= '1';
137         start_mult <= '0';
138         opready <= '0';
139         clear_regs <= '0';
140     when wait_op=>
141         acc <= '0';
142         sel <= '0';
143         selbias <= '0';
144         start_mult <= '0';
145         opready <= '0';
146         clear_regs <= '0';
147     when others=>
148         acc <= '0';
149         clear_regs <= '0';
150         opready <= '0';
151         sel <= '0';
152         selbias <= '0';
153         start_mult <= '0';
```

```

154 end case;
155 end process;
156 end Behavioral;

```

Código A.7 – Código do perceptron.

```

1  library IEEE;
2  use IEEE.STD_LOGIC_1164.ALL;
3  use IEEE.NUMERIC_STD.ALL;
4
5  USE WORK.FPUPACK.ALL;
6
7  entity neuron is
8
9      port(
10     x1: in std_logic_vector(26 downto 0);
11     x2: in std_logic_vector(26 downto 0);
12     x3: in std_logic_vector(26 downto 0);
13     x4: in std_logic_vector(26 downto 0);
14     w1: in std_logic_vector(26 downto 0);
15     w2: in std_logic_vector(26 downto 0);
16     w3: in std_logic_vector(26 downto 0);
17     w4: in std_logic_vector(26 downto 0);
18     clk: in std_logic;
19     rst: in std_logic;
20     start_neur: in std_logic;
21     ready: out std_logic;
22     result: out std_logic_vector(31 downto 0) );
23 end neuron;
24
25 architecture Behavioral of neuron is
26
27     constant CBIAS : std_logic_vector(26 downto
28         0):="0011111110000000000000000000";
29     component mux2_27b is
30         Port ( a : in STD_LOGIC_VECTOR (26 downto 0);
31               b : in STD_LOGIC_VECTOR (26 downto 0);
32               selmux : in STD_LOGIC;
33               c : out STD_LOGIC_VECTOR (26 downto 0));
34     end component;
35     component multiplier_fsm_v2 is
36         port (reset      : in std_logic;
37               clk        : in std_logic;
38               op_a       : in std_logic_vector(FP_WIDTH-1 downto 0);
39               op_b       : in std_logic_vector(FP_WIDTH-1 downto 0);
40               start_i    : in std_logic;
41               mul_out    : out std_logic_vector(FP_WIDTH-1 downto 0);
42               ready_mul : out std_logic);
43     end component;
44
45     component addsub_fsm_v6 is

```

```

46     port (reset      : in std_logic;
47          clk        : in std_logic;
48          op         : in std_logic;
49          op_a       : in std_logic_vector(FP_WIDTH-1 downto 0);
50          op_b       : in std_logic_vector(FP_WIDTH-1 downto 0);
51          start_i    : in std_logic;
52          addsub_out : out std_logic_vector(FP_WIDTH-1 downto 0);
53          ready_as   : out std_logic);
54 end component;
55
56 component neur_ctrl is
57     Port ( clk : in STD_LOGIC;
58          rst : in STD_LOGIC;
59          start_neur: in STD_LOGIC;
60          start_i: in STD_LOGIC;
61          add2ready: in STD_LOGIC;
62          acc: out STD_LOGIC;
63          clear_regs: out STD_LOGIC;
64          opready: out STD_LOGIC;
65          sel: out STD_LOGIC;
66          selbias: out STD_LOGIC;
67          start_mult: out STD_LOGIC);
68 end component;
69
70 signal sc_to_op_b10000 :STD_LOGIC_VECTOR( 26 DOWNT0 0 );
71 signal sc_to_op_b68810 :STD_LOGIC_VECTOR( 26 DOWNT0 0 );
72 signal ssel_to_selmux37912 :STD_LOGIC;
73 signal sstart_mult_to_start_i46645 :STD_LOGIC;
74 signal sselbias_to_sel81370 :STD_LOGIC;
75 signal sacc_to_start_i71971 :STD_LOGIC;
76 signal sopready_to_out80672 :STD_LOGIC;
77 signal sclear_regs_to_reset41673 :STD_LOGIC;
78 signal sc_to_op_a48716 :STD_LOGIC_VECTOR( 26 DOWNT0 0 );
79 signal sc_to_op_a46918 :STD_LOGIC_VECTOR( 26 DOWNT0 0 );
80 signal sready_mul_to_a19428 :STD_LOGIC;
81 signal smul_out_to_op_a27229 :STD_LOGIC_VECTOR( FP_WIDTH-1 DOWNT0
82     0 );
83 signal smul_out_to_op_b41131 :STD_LOGIC_VECTOR( FP_WIDTH-1 DOWNT0
84     0 );
85 signal sready_mul_to_b15032 :STD_LOGIC;
86 signal sready_as_to_start_i99047 :STD_LOGIC;
87 signal saddsub_out_to_sum28848 :STD_LOGIC_VECTOR( FP_WIDTH-1
88     DOWNT0 0 );
89 signal sready_as_to_add2ready88650 :STD_LOGIC;
90 signal saddsub_out_to_x18551 :STD_LOGIC_VECTOR( FP_WIDTH-1 DOWNT0
91     0 );
92 signal sc_to_start_i19253 :std_logic;
93 constant sconst_to_op18055 : std_logic:= '0';
94 constant sconst_to_op39357 : std_logic:= '0';
95 signal sy_to_out17562 :std_logic_vector(31 downto 0);
96 signal sselout_to_op_b72864 :std_logic_vector(26 downto 0);
97 constant sconst_to_bias32066 : std_logic_vector(26 downto

```

```
    0) := CBIAS;
94
95 begin
96
97 xmux1: mux2_27b
98   port map(
99     A=>x1,
100    B=>x2,
101    SELMUX=>s.sel_to_selmux37912,
102    C=>sc_to_op_b10000);
103
104 xmux2: mux2_27b
105   port map(
106     A=>x3,
107     B=>x4,
108     SELMUX=>s.sel_to_selmux37912,
109     C=>sc_to_op_b68810);
110
111 wmux1: mux2_27b
112   port map(
113     A=>w1,
114     B=>w2,
115     SELMUX=>s.sel_to_selmux37912,
116     C=>sc_to_op_a48716);
117
118 wmux2: mux2_27b
119   port map(
120     A=>w3,
121     B=>w4,
122     SELMUX=>s.sel_to_selmux37912,
123     C=>sc_to_op_a46918);
124
125 mult1: multiplier_fsm_v2
126   port map(
127     RESET=>rst,
128     CLK=>clk,
129     OP_A=>sc_to_op_a48716,
130     OP_B=>sc_to_op_b10000,
131     START_I=>s.start_mult_to_start_i46645,
132     MUL_OUT=>smul_out_to_op_a27229,
133     READY_MUL=>s.ready_mul_to_a19428);
134
135 mult2: multiplier_fsm_v2
136   port map(
137     RESET=>rst,
138     CLK=>clk,
139     OP_A=>sc_to_op_a46918,
140     OP_B=>sc_to_op_b68810,
141     START_I=>s.start_mult_to_start_i46645,
142     MUL_OUT=>smul_out_to_op_b41131,
143     READY_MUL=>s.ready_mul_to_b15032);
144
```

```

145 add1: addsubfsm_v6
146     port map(
147         RESET=>rst,
148         CLK=>clk,
149         OP=>sconst_to_op18055,
150         OP_A=>smul_out_to_op_a27229,
151         OP_B=>smul_out_to_op_b41131,
152         START_I=>sc_to_start_i19253,
153         ADDSUB_OUT=>saddsub_out_to_sum28848,
154         READY_AS=>sready_as_to_start_i99047);
155
156 add2: addsubfsm_v6
157     port map(
158         RESET=>sclear_regs_to_reset41673,
159         CLK=>clk,
160         OP=>sconst_to_op39357,
161         OP_A=>saddsub_out_to_x18551,
162         OP_B=>sselout_to_op_b72864,
163         START_I=>sacc_to_start_i71971,
164         ADDSUB_OUT=>saddsub_out_to_x18551,
165         READY_AS=>sready_as_to_add2ready88650);
166
167 fsm_neur_ctrl: neur_ctrl
168     port map(
169         CLK=>clk,
170         RST=>rst,
171         START_NEUR=>start_neur,
172         START_I=>sready_as_to_start_i99047,
173         ADD2READY=>sready_as_to_add2ready88650,
174         ACC=>sacc_to_start_i71971,
175         CLEAR_REGS=>sclear_regs_to_reset41673,
176         OPREADY=>sopready_to_out80672,
177         SEL=>ssel_to_selmux37912,
178         SELBIAS=>sselbias_to_sel81370,
179         START_MULT=>sstart_mult_to_start_i46645);
180
181
182
183
184
185 sc_to_start_i19253 <= sready_mul_to_a19428 and sready_mul_to_b15032;
186
187
188
189 sy_to_out17562 <= saddsub_out_to_x18551 & "00000";
190
191 with sselbias_to_sel81370 select sselout_to_op_b72864 <=
192     saddsub_out_to_sum28848 when '0',
193     sconst_to_bias32066 when others;
194
195 result <= sy_to_out17562;
196 ready <= sopready_to_out80672;

```

```

197
198
199 end behavioral;

```

Código A.8 – Código do *testebench* do perceptron.

```

1
2 library IEEE;
3 use IEEE.STD_LOGIC_1164.ALL;
4 use IEEE.NUMERIC_STD.ALL;
5
6 entity neuron_tb is
7 end neuron_tb;
8
9 architecture behav of neuron_tb is
10
11 signal sx : std_logic_vector(26 downto 0);
12 signal sw : std_logic_vector(26 downto 0);
13 signal sclk : std_logic;
14 signal srst : std_logic;
15 signal sstart : std_logic;
16 signal sready : std_logic;
17 signal sresult : std_logic_vector(31 downto 0);
18
19 COMPONENT NEURON IS
20
21 port(
22     x1: in std_logic_vector(26 downto 0);
23     x2: in std_logic_vector(26 downto 0);
24     x3: in std_logic_vector(26 downto 0);
25     x4: in std_logic_vector(26 downto 0);
26     w1: in std_logic_vector(26 downto 0);
27     w2: in std_logic_vector(26 downto 0);
28     w3: in std_logic_vector(26 downto 0);
29     w4: in std_logic_vector(26 downto 0);
30     clk: in std_logic;
31     rst: in std_logic;
32     start_neur: in std_logic;
33     ready: out std_logic;
34     result: out std_logic_vector(31 downto 0) );
35 END COMPONENT;
36
37
38 begin
39 sx<= "01000000000000000000000000";
40
41 sw<= "01000000100000000000000000";
42
43 sclk<= '0', not sclk after 5.0 ns;
44
45 srst<= '1', '0' after 25 ns;
46

```

```

47 sstart<= '0', '1' after 30 ns, '0' after 40 ns, '1' after 130 ns,
    '0' after 140 ns;
48
49 uut: neuron port map(
50     X1=>sx,
51     X2=>sx,
52     X3=>sx,
53     X4=>sx,
54     W1=>sw,
55     W2=>sw,
56     W3=>sw,
57     W4=>sw,
58     CLK=>sclk,
59     RST=>srst,
60     START_NEUR=>sstart,
61     READY=>sready,
62     RESULT=>sresult);
63
64 end behav;

```

Código A.9 – Código do topmodule do Perceptron.

```

1  library IEEE;
2  use IEEE.STD_LOGIC_1164.ALL;
3  use IEEE.NUMERIC_STD.ALL;
4
5  USE WORK.FPUPACK.ALL;
6
7  entity topmodule is
8
9      port(
10         start: in std_logic;
11         rst: in std_logic;
12         clk: in std_logic;
13         selectx: in std_logic;
14         select_out: in std_logic;
15         result: out std_logic_vector(15 downto 0) );
16 end topmodule;
17
18 architecture Behavioral of topmodule is
19
20     constant W1 : std_logic_vector(26 downto
21         0):="00111111100000000000000000";
22     constant W2 : std_logic_vector(26 downto
23         0):="01000000000000000000000000";
24     constant W3 : std_logic_vector(26 downto
25         0):="01000000100000000000000000";
26     constant W4 : std_logic_vector(26 downto
27         0):="01000001000000000000000000";
28     component neuron is
29
30         port(

```

```

27     x1: in std_logic_vector(26 downto 0);
28     x2: in std_logic_vector(26 downto 0);
29     x3: in std_logic_vector(26 downto 0);
30     x4: in std_logic_vector(26 downto 0);
31     w1: in std_logic_vector(26 downto 0);
32     w2: in std_logic_vector(26 downto 0);
33     w3: in std_logic_vector(26 downto 0);
34     w4: in std_logic_vector(26 downto 0);
35     clk: in std_logic;
36     rst: in std_logic;
37     start_neur: in std_logic;
38     ready: out std_logic;
39     result: out std_logic_vector(31 downto 0) );
40 end component;
41
42 component choose_out is
43     Port ( input : in STD_LOGIC_VECTOR (31 downto 0);
44           readyin : in STD_LOGIC;
45           selectOut : in STD_LOGIC;
46           word1: out STD_LOGIC_VECTOR (15 downto 0));
47 end component;
48
49 signal sword1_to_out8860 : STD_LOGIC_VECTOR( 15 DOWNT0 0 );
50 signal sRESULT_to_input3951 : STD_LOGIC_VECTOR( 31 DOWNT0 0 );
51 signal sREADY_to_readyin31230 : STD_LOGIC;
52 constant sconst_to_W13388 : std_logic_vector(26 downto 0):=W1;
53 constant sconst_to_W254110 : std_logic_vector(26 downto 0):=W2;
54 constant sconst_to_W342712 : std_logic_vector(26 downto 0):=W3;
55 constant sconst_to_W498614 : std_logic_vector(26 downto 0):=W4;
56 signal ssx1_to_X118525 : std_logic_vector(26 downto 0);
57 signal ssx2_to_X220426 : std_logic_vector(26 downto 0);
58 signal ssx3_to_X382727 : std_logic_vector(26 downto 0);
59 signal ssx4_to_X425028 : std_logic_vector(26 downto 0);
60
61 begin
62
63 neur1: neuron
64     port map(
65         X1=>ssx1_to_X118525 ,
66         X2=>ssx2_to_X220426 ,
67         X3=>ssx3_to_X382727 ,
68         X4=>ssx4_to_X425028 ,
69         W1=>sconst_to_W13388 ,
70         W2=>sconst_to_W254110 ,
71         W3=>sconst_to_W342712 ,
72         W4=>sconst_to_W498614 ,
73         CLK=>clk ,
74         RST=>rst ,
75         START_NEUR=>start ,
76         READY=>sREADY_to_readyin31230 ,
77         RESULT=>sRESULT_to_input3951);
78

```

```

79 ch1: choose_out
80   port map(
81     INPUT=>sRESULT_to_input3951,
82     READYIN=>sREADY_to_readyin31230,
83     SELECTOUT=>select_out,
84     WORD1=>sword1_to_out8860);
85
86
87
88
89
90 randomIn: process(selectx)
91 begin
92   case selectx is
93     when '0' =>
94       ssx1_to_X118525 <= "01000000001001100100100011";
95       ssx2_to_X220426 <= "010000001001100000011010110";
96       ssx3_to_X382727 <= "101111110011010001001100000";
97       ssx4_to_X425028 <= "001111101101110010000101011";
98     when '1' =>
99       ssx1_to_X118525 <= "110000001001010000000100110";
100      ssx2_to_X220426 <= "101111110110111011011000001";
101      ssx3_to_X382727 <= "010000000100000000000001100";
102      ssx4_to_X425028 <= "010000001000101110110001110";
103     when others=>
104       ssx1_to_X118525 <= "110000001001010000000100110";
105       ssx2_to_X220426 <= "101111110110111011011011000001";
106       ssx3_to_X382727 <= "010000000100000000000001100";
107       ssx4_to_X425028 <= "010000001000101110110001110";
108   end case;
109 end process;
110
111
112
113 result <= sword1_to_out8860;
114
115
116 end behavioral;

```

Código A.10 – Código do *testbench* do *topmodule* do *Perceptron*.

```

1  library IEEE;
2  use IEEE.STD_LOGIC_1164.ALL;
3  use IEEE.NUMERIC_STD.ALL;
4
5  entity topmodule_tb is
6  end topmodule_tb;
7
8  architecture behav of topmodule_tb is
9
10 signal sresult : std_logic_vector(15 downto 0);
11 signal srst : std_logic;

```

```

12 signal sclk : std_logic;
13 signal sselectx : std_logic;
14 signal sstart : std_logic;
15 signal sselect_out : std_logic;
16
17 COMPONENT TOPMODULE IS
18
19     port(
20         start: in std_logic;
21         rst: in std_logic;
22         clk: in std_logic;
23         selectx: in std_logic;
24         select_out: in std_logic;
25         result: out std_logic_vector(15 downto 0)    );
26 END COMPONENT;
27
28
29 begin
30 srst<= '1', '0' after 25 ns;
31
32 sclk<= '0', not sclk after 5.0 ns;
33
34 sselectx<= '0', '1' after 200 ns;
35
36 sstart<= '0', '1' after 30 ns, '0' after 40 ns, '1' after 210 ns,
37         '0' after 220 ns;
38
39 sselect_out<= '0', '1' after 140 ns, '0' after 170 ns, '1' after
40             350 ns;
41
42 uut: topmodule port map(
43     START=>sstart,
44     RST=>srst,
45     CLK=>sclk,
46     SELECTX=>sselectx,
47     SELECT_OUT=>sselect_out,
48     RESULT=>sresult);
49
50 end behav;

```

A.6 Códigos utilizados na implementação das interfaces AXI

Código A.11 – Código mais externo do AXI4-Lite encapsulando o perceptron.

```

1 library ieee;
2 use ieee.std_logic_1164.all;
3 use ieee.numeric_std.all;
4

```

```
5 entity top27baxilite_AXI is
6   generic (
7     -- Users to add parameters here
8
9     -- User parameters ends
10    -- Do not modify the parameters beyond this line
11
12
13    -- Parameters of Axi Slave Bus Interface S00_AXI
14    C_S00_AXI_DATA_WIDTH  : integer := 32;
15    C_S00_AXI_ADDR_WIDTH  : integer := 9
16  );
17  port (
18    -- Users to add ports here
19
20    -- User ports ends
21    -- Do not modify the ports beyond this line
22
23
24    -- Ports of Axi Slave Bus Interface S00_AXI
25    s00_axi_aclk  : in std_logic;
26    s00_axi_aresetn : in std_logic;
27    s00_axi_awaddr  : in std_logic_vector(C_S00_AXI_ADDR_WIDTH-1
28      downto 0);
29    s00_axi_awprot  : in std_logic_vector(2 downto 0);
30    s00_axi_awvalid : in std_logic;
31    s00_axi_awready : out std_logic;
32    s00_axi_wdata  : in std_logic_vector(C_S00_AXI_DATA_WIDTH-1
33      downto 0);
34    s00_axi_wstrb  : in std_logic_vector((C_S00_AXI_DATA_WIDTH/8)-1
35      downto 0);
36    s00_axi_wvalid : in std_logic;
37    s00_axi_wready : out std_logic;
38    s00_axi_bresp  : out std_logic_vector(1 downto 0);
39    s00_axi_bvalid : out std_logic;
40    s00_axi_bready : in std_logic;
41    s00_axi_araddr  : in std_logic_vector(C_S00_AXI_ADDR_WIDTH-1
42      downto 0);
43    s00_axi_arprot  : in std_logic_vector(2 downto 0);
44    s00_axi_arvalid : in std_logic;
45    s00_axi_arready : out std_logic;
46    s00_axi_rdata  : out std_logic_vector(C_S00_AXI_DATA_WIDTH-1
47      downto 0);
48    s00_axi_rresp  : out std_logic_vector(1 downto 0);
49    s00_axi_rvalid : out std_logic;
50    s00_axi_rready : in std_logic
51  );
52 end top27baxilite_AXI;
53
54 architecture arch_imp of top27baxilite_AXI is
55
56   -- component declaration
```

```

52
53 component top27baxilite is
54     generic (
55         C_S_AXI_DATA_WIDTH  : integer := 32;
56         C_S_AXI_ADDR_WIDTH  : integer := 9
57     );
58     port (
59         S_AXI_ACLK           : in std_logic;
60         S_AXI_ARESETN       : in std_logic;
61         S_AXI_AWADDR        : in std_logic_vector(C_S_AXI_ADDR_WIDTH-1
62             downto 0);
63         S_AXI_AWPROT        : in std_logic_vector(2 downto 0);
64         S_AXI_AWVALID       : in std_logic;
65         S_AXI_AWREADY       : out std_logic;
66         S_AXI_WDATA         : in std_logic_vector(C_S_AXI_DATA_WIDTH-1 downto
67             0);
68         S_AXI_WSTRB         : in std_logic_vector((C_S_AXI_DATA_WIDTH/8)-1
69             downto 0);
70         S_AXI_WVALID       : in std_logic;
71         S_AXI_WREADY       : out std_logic;
72         S_AXI_BRESP        : out std_logic_vector(1 downto 0);
73         S_AXI_BVALID       : out std_logic;
74         S_AXI_BREADY       : in std_logic;
75         S_AXI_ARADDR        : in std_logic_vector(C_S_AXI_ADDR_WIDTH-1
76             downto 0);
77         S_AXI_ARPROT        : in std_logic_vector(2 downto 0);
78         S_AXI_ARVALID       : in std_logic;
79         S_AXI_ARREADY       : out std_logic;
80         S_AXI_RDATA         : out std_logic_vector(C_S_AXI_DATA_WIDTH-1 downto
81             0);
82         S_AXI_RRESP        : out std_logic_vector(1 downto 0);
83         S_AXI_RVALID       : out std_logic;
84         S_AXI_RREADY       : in std_logic
85     );
86 end component top27baxilite;
87 begin
88
89 -- Instantiation of Axi Bus Interface S00_AXI
90
91 top27baxilite_inst : top27baxilite
92     generic map (
93         C_S_AXI_DATA_WIDTH  => C_S00_AXI_DATA_WIDTH ,
94         C_S_AXI_ADDR_WIDTH  => C_S00_AXI_ADDR_WIDTH
95     )
96     port map (
97         S_AXI_ACLK           => s00_axi_aclk ,
98         S_AXI_ARESETN       => s00_axi_aresetn ,
99         S_AXI_AWADDR        => s00_axi_awaddr ,
100        S_AXI_AWPROT        => s00_axi_awprot ,
101        S_AXI_AWVALID       => s00_axi_awvalid ,
102        S_AXI_AWREADY       => s00_axi_awready ,
103        S_AXI_WDATA         => s00_axi_wdata ,

```

```

99     S_AXI_WSTRB => s00_axi_wstrb ,
100     S_AXI_WVALID => s00_axi_wvalid ,
101     S_AXI_WREADY => s00_axi_wready ,
102     S_AXI_BRESP => s00_axi_bresp ,
103     S_AXI_BVALID => s00_axi_bvalid ,
104     S_AXI_BREADY => s00_axi_bready ,
105     S_AXI_ARADDR => s00_axi_araddr ,
106     S_AXI_ARPROT => s00_axi_arprot ,
107     S_AXI_ARVALID => s00_axi_arvalid ,
108     S_AXI_ARREADY => s00_axi_arready ,
109     S_AXI_RDATA => s00_axi_rdata ,
110     S_AXI_RRESP => s00_axi_rresp ,
111     S_AXI_RVALID => s00_axi_rvalid ,
112     S_AXI_RREADY => s00_axi_rready
113 );
114 -- Add user logic here
115
116 -- User logic ends
117
118 end arch_imp;

```

Código A.12 – Código mais interno do AXI4-Lite encapsulando o perceptron.

```

1  library ieee;
2  use ieee.std_logic_1164.all;
3  use ieee.numeric_std.all;
4
5  library work;
6  use work.fpupack.all;
7  use work.rnapack.all;
8  entity top27baxilite is
9      generic (
10         -- Users to add parameters here
11
12         -- User parameters ends
13         -- Do not modify the parameters beyond this line
14
15         -- Width of S_AXI data bus
16         C_S_AXI_DATA_WIDTH  : integer := 32;
17         -- Width of S_AXI address bus
18         C_S_AXI_ADDR_WIDTH  : integer := 9
19     );
20     port (
21         -- Users to add ports here
22
23         -- User ports ends
24         -- Do not modify the ports beyond this line
25
26         -- Global Clock Signal
27         S_AXI_ACLK  : in std_logic;
28         -- Global Reset Signal. This Signal is Active LOW
29         S_AXI_ARESETN : in std_logic;

```

```
30 -- Write address (issued by master, accepted by Slave)
31 S_AXI_AWADDR : in std_logic_vector(C_S_AXI_ADDR_WIDTH-1
    downto 0);
32 -- Write channel Protection type. This signal indicates the
33 -- privilege and security level of the transaction, and
    whether
34 -- the transaction is a data access or an instruction
    access.
35 S_AXI_AWPROT : in std_logic_vector(2 downto 0);
36 -- Write address valid. This signal indicates that the master
    signaling
37 -- valid write address and control information.
38 S_AXI_AWVALID : in std_logic;
39 -- Write address ready. This signal indicates that the slave
    is ready
40 -- to accept an address and associated control signals.
41 S_AXI_AWREADY : out std_logic;
42 -- Write data (issued by master, accepted by Slave)
43 S_AXI_WDATA : in std_logic_vector(C_S_AXI_DATA_WIDTH-1 downto
    0);
44 -- Write strobes. This signal indicates which byte lanes hold
45 -- valid data. There is one write strobe bit for each eight
46 -- bits of the write data bus.
47 S_AXI_WSTRB : in std_logic_vector((C_S_AXI_DATA_WIDTH/8)-1
    downto 0);
48 -- Write valid. This signal indicates that valid write
49 -- data and strobes are available.
50 S_AXI_WVALID : in std_logic;
51 -- Write ready. This signal indicates that the slave
52 -- can accept the write data.
53 S_AXI_WREADY : out std_logic;
54 -- Write response. This signal indicates the status
55 -- of the write transaction.
56 S_AXI_BRESP : out std_logic_vector(1 downto 0);
57 -- Write response valid. This signal indicates that the channel
58 -- is signaling a valid write response.
59 S_AXI_BVALID : out std_logic;
60 -- Response ready. This signal indicates that the master
61 -- can accept a write response.
62 S_AXI_BREADY : in std_logic;
63 -- Read address (issued by master, accepted by Slave)
64 S_AXI_ARADDR : in std_logic_vector(C_S_AXI_ADDR_WIDTH-1
    downto 0);
65 -- Protection type. This signal indicates the privilege
66 -- and security level of the transaction, and whether the
67 -- transaction is a data access or an instruction access.
68 S_AXI_ARPROT : in std_logic_vector(2 downto 0);
69 -- Read address valid. This signal indicates that the channel
70 -- is signaling valid read address and control information.
71 S_AXI_ARVALID : in std_logic;
72 -- Read address ready. This signal indicates that the slave is
73 -- ready to accept an address and associated control
```

```

        signals.
74     S_AXI_ARREADY : out std_logic;
75     -- Read data (issued by slave)
76     S_AXI_RDATA   : out std_logic_vector(C_S_AXI_DATA_WIDTH-1 downto
        0);
77     -- Read response. This signal indicates the status of the
78     -- read transfer.
79     S_AXI_RRESP   : out std_logic_vector(1 downto 0);
80     -- Read valid. This signal indicates that the channel is
81     -- signaling the required read data.
82     S_AXI_RVALID  : out std_logic;
83     -- Read ready. This signal indicates that the master can
84     -- accept the read data and response information.
85     S_AXI_RREADY  : in  std_logic
86 );
87 end top27baxilite;
88
89 architecture arch_imp of top27baxilite is
90
91     -- AXI4LITE signals
92     signal axi_awaddr : std_logic_vector(C_S_AXI_ADDR_WIDTH-1 downto
        0);
93     signal axi_awready : std_logic;
94     signal axi_wready : std_logic;
95     signal axi_bresp   : std_logic_vector(1 downto 0);
96     signal axi_bvalid  : std_logic;
97     signal axi_araddr  : std_logic_vector(C_S_AXI_ADDR_WIDTH-1 downto
        0);
98     signal axi_arready : std_logic;
99     signal axi_rdata   : std_logic_vector(C_S_AXI_DATA_WIDTH-1 downto
        0);
100    signal axi_rresp   : std_logic_vector(1 downto 0);
101    signal axi_rvalid  : std_logic;
102
103    -- Example-specific design signals
104    -- local parameter for addressing 32 bit / 64 bit
        C_S_AXI_DATA_WIDTH
105    -- ADDR_LSB is used for addressing 32/64 bit registers/memories
106    -- ADDR_LSB = 2 for 32 bits (n downto 2)
107    -- ADDR_LSB = 3 for 64 bits (n downto 3)
108    constant ADDR_LSB : integer := (C_S_AXI_DATA_WIDTH/32)+ 1;
109    constant OPT_MEM_ADDR_BITS : integer := 3;
110    -----
111    ----- Signals for user logic register space example
112    -----
113    ----- Number of Slave Registers 7
114        signal START :std_logic:='0';
115        signal sready :std_logic:='0';
116        signal slv_reg0 :std_logic_vector(C_S_AXI_DATA_WIDTH-1
        downto 0);
117        signal slv_reg1 :std_logic_vector(C_S_AXI_DATA_WIDTH-1
        downto 0);

```

```

118     signal slv_reg2 : std_logic_vector(C_S_AXI_DATA_WIDTH - 1
119         downto 0);
120     signal slv_reg3 : std_logic_vector(C_S_AXI_DATA_WIDTH - 1
121         downto 0);
122     signal slv_reg4 : std_logic_vector(C_S_AXI_DATA_WIDTH - 1
123         downto 0);
124     signal slv_reg5 : std_logic_vector(C_S_AXI_DATA_WIDTH - 1
125         downto 0);
126     signal slv_reg6 : std_logic_vector(C_S_AXI_DATA_WIDTH - 1
127         downto 0);
128     signal slv_reg7 : std_logic_vector(C_S_AXI_DATA_WIDTH - 1
129         downto 0);
130     signal slv_reg8 : std_logic_vector(C_S_AXI_DATA_WIDTH - 1
131         downto 0);
132     signal s_RESULT_SLV_REG8
133         : std_logic_vector(C_S_AXI_DATA_WIDTH - 1 downto 5);
134 signal slv_reg_rden : std_logic;
135 signal sreset : std_logic := '0';
136 signal slv_reg_wren : std_logic;
137 signal reg_data_out : std_logic_vector(C_S_AXI_DATA_WIDTH - 1
138     downto 0);
139 signal byte_index : integer;
140 signal aw_en : std_logic;
141
142     component top27b is
143
144     port(
145         x1: in std_logic_vector(26 downto 0);
146         x2: in std_logic_vector(26 downto 0);
147         x3: in std_logic_vector(26 downto 0);
148         x4: in std_logic_vector(26 downto 0);
149         w1: in std_logic_vector(26 downto 0);
150         w2: in std_logic_vector(26 downto 0);
151         w3: in std_logic_vector(26 downto 0);
152         w4: in std_logic_vector(26 downto 0);
153         clk: in std_logic;
154         rst: in std_logic;
155         start_neur: in std_logic;
156         ready: out std_logic;
157         result: out std_logic_vector(26 downto 0) );
158 end component;
159 begin
160     -- I/O Connections assignments
161
162     S_AXI_AWREADY <= axi_awready;
163     S_AXI_WREADY <= axi_wready;
164     S_AXI_BRESP <= axi_bresp;
165     S_AXI_BVALID <= axi_bvalid;
166     S_AXI_ARREADY <= axi_arready;
167     S_AXI_RDATA <= axi_rdata;
168     S_AXI_RRESP <= axi_rresp;
169     S_AXI_RVALID <= axi_rvalid;

```

```
161 -- Implement axi_awready generation
162 -- axi_awready is asserted for one S_AXI_ACLK clock cycle when
    both
163 -- S_AXI_AWVALID and S_AXI_WVALID are asserted. axi_awready is
164 -- de-asserted when reset is low.
165
166 process (S_AXI_ACLK)
167 begin
168     if rising_edge(S_AXI_ACLK) then
169         if S_AXI_ARESETN = '0' then
170             axi_awready <= '0';
171             aw_en <= '1';
172         else
173             if (axi_awready = '0' and S_AXI_AWVALID = '1' and
174                 S_AXI_WVALID = '1' and aw_en = '1') then
175                 -- slave is ready to accept write address when
176                 -- there is a valid write address and write data
177                 -- on the write address and data bus. This design
178                 -- expects no outstanding transactions.
179                 axi_awready <= '1';
180                 aw_en <= '0';
181             elsif (S_AXI_BREADY = '1' and axi_bvalid = '1') then
182                 aw_en <= '1';
183                 axi_awready <= '0';
184             else
185                 axi_awready <= '0';
186             end if;
187         end if;
188     end process;
189
190 -- Implement axi_awaddr latching
191 -- This process is used to latch the address when both
192 -- S_AXI_AWVALID and S_AXI_WVALID are valid.
193
194 process (S_AXI_ACLK)
195 begin
196     if rising_edge(S_AXI_ACLK) then
197         if S_AXI_ARESETN = '0' then
198             axi_awaddr <= (others => '0');
199         else
200             if (axi_awready = '0' and S_AXI_AWVALID = '1' and
201                 S_AXI_WVALID = '1' and aw_en = '1') then
202                 -- Write Address latching
203                 axi_awaddr <= S_AXI_AWADDR;
204             end if;
205         end if;
206     end process;
207
208 -- Implement axi_wready generation
209 -- axi_wready is asserted for one S_AXI_ACLK clock cycle when
```

```

    both
210 -- S_AXI_AWVALID and S_AXI_WVALID are asserted. axi_wready is
211 -- de-asserted when reset is low.
212
213 process (S_AXI_ACLK)
214 begin
215     if rising_edge(S_AXI_ACLK) then
216         if S_AXI_ARESETN = '0' then
217             axi_wready <= '0';
218         else
219             if (axi_wready = '0' and S_AXI_WVALID = '1' and
220                 S_AXI_AWVALID = '1' and aw_en = '1') then
221                 -- slave is ready to accept write data when
222                 -- there is a valid write address and write data
223                 -- on the write address and data bus. This design
224                 -- expects no outstanding transactions.
225                 axi_wready <= '1';
226             else
227                 axi_wready <= '0';
228             end if;
229         end if;
230     end if;
231 end process;
232
233 -- Implement memory mapped register select and write logic
234 -- generation
235 -- The write data is accepted and written to memory mapped
236 -- registers when
237 -- axi_awready, S_AXI_WVALID, axi_wready and S_AXI_WVALID are
238 -- asserted. Write strobes are used to
239 -- select byte enables of slave registers while writing.
240 -- These registers are cleared when reset (active low) is
241 -- applied.
242 -- Slave register write enable is asserted when valid address
243 -- and data are available
244 -- and the slave is ready to accept the write address and write
245 -- data.
246 slv_reg_wren <= axi_wready and S_AXI_WVALID and axi_awready and
247 S_AXI_AWVALID ;
248
249 process (S_AXI_ACLK)
250 variable loc_addr :std_logic_vector(OPT_MEM_ADDR_BITS downto 0);
251 begin
252     if rising_edge(S_AXI_ACLK) then
253         if S_AXI_ARESETN = '0' then
254             slv_reg0 <=(others=>'0');
255             slv_reg1 <=(others=>'0');
256             slv_reg2 <=(others=>'0');
257             slv_reg3 <=(others=>'0');
258             slv_reg4 <=(others=>'0');
259             slv_reg5 <=(others=>'0');
260             slv_reg6 <=(others=>'0');

```

```

253     slv_reg7 <= (others => '0');
254     slv_reg8 <= (others => '0');
255     START <= '0';
256   else
257     START <= '0';
258     loc_addr := axi_awaddr(ADDR_LSB + OPT_MEM_ADDR_BITS
259                          downto ADDR_LSB);
259     if (slv_reg_wren = '1') then
260       case loc_addr is
261         when b"0000" =>
262           for byte_index in 0 to (C_S_AXI_DATA_WIDTH/8-1)
263             loop
264               if ( S_AXI_WSTRB(byte_index) = '1' ) then
265                 slv_reg0(byte_index*8+7 downto byte_index*8)
266                   <= S_AXI_WDATA(byte_index*8+7 downto
267                                byte_index*8);
268               end if;
269             end loop;
270         when b"0001" =>
271           for byte_index in 0 to (C_S_AXI_DATA_WIDTH/8-1)
272             loop
273               if ( S_AXI_WSTRB(byte_index) = '1' ) then
274                 slv_reg1(byte_index*8+7 downto byte_index*8)
275                   <= S_AXI_WDATA(byte_index*8+7 downto
276                                byte_index*8);
277               end if;
278             end loop;
279         when b"0010" =>
280           for byte_index in 0 to (C_S_AXI_DATA_WIDTH/8-1)
281             loop
282               if ( S_AXI_WSTRB(byte_index) = '1' ) then
283                 slv_reg2(byte_index*8+7 downto byte_index*8)
284                   <= S_AXI_WDATA(byte_index*8+7 downto
285                                byte_index*8);
286               end if;
287             end loop;
288         when b"0011" =>
289           for byte_index in 0 to (C_S_AXI_DATA_WIDTH/8-1)
290             loop
291               if ( S_AXI_WSTRB(byte_index) = '1' ) then
292                 slv_reg3(byte_index*8+7 downto byte_index*8)
293                   <= S_AXI_WDATA(byte_index*8+7 downto
294                                byte_index*8);
295               end if;
296             end loop;
297         when b"0100" =>
298           for byte_index in 0 to (C_S_AXI_DATA_WIDTH/8-1)
299             loop
300               if ( S_AXI_WSTRB(byte_index) = '1' ) then
301                 slv_reg4(byte_index*8+7 downto byte_index*8)
302                   <= S_AXI_WDATA(byte_index*8+7 downto
303                                byte_index*8);
304               end if;
305             end loop;

```

```
289         end if;
290     end loop;
291 when b"0101"=>
292     for byte_index in 0 to (C_S_AXI_DATA_WIDTH/8-1)
293     loop
294         if ( S_AXI_WSTRB(byte_index) = '1' ) then
295             slv_reg5(byte_index*8+7 downto byte_index*8)
296                 <= S_AXI_WDATA(byte_index*8+7 downto
297                     byte_index*8);
298         end if;
299     end loop;
300 when b"0110"=>
301     for byte_index in 0 to (C_S_AXI_DATA_WIDTH/8-1)
302     loop
303         if ( S_AXI_WSTRB(byte_index) = '1' ) then
304             slv_reg6(byte_index*8+7 downto byte_index*8)
305                 <= S_AXI_WDATA(byte_index*8+7 downto
306                     byte_index*8);
307         end if;
308     end loop;
309 when b"0111"=>
310     for byte_index in 0 to (C_S_AXI_DATA_WIDTH/8-1)
311     loop
312         if ( S_AXI_WSTRB(byte_index) = '1' ) then
313             slv_reg7(byte_index*8+7 downto byte_index*8)
314                 <= S_AXI_WDATA(byte_index*8+7 downto
315                     byte_index*8);
316             START<='1';
317         end if;
318     end loop;
319 when b"1000"=>
320     for byte_index in 0 to (C_S_AXI_DATA_WIDTH/8-1)
321     loop
322         if ( S_AXI_WSTRB(byte_index) = '1' ) then
323             slv_reg8(byte_index*8+7 downto byte_index*8)
324                 <= S_AXI_WDATA(byte_index*8+7 downto
325                     byte_index*8);
326         end if;
327     end loop;
328 when others =>
329     START<='0';
330     slv_reg0<=slv_reg0;
331     slv_reg1<=slv_reg1;
332     slv_reg2<=slv_reg2;
333     slv_reg3<=slv_reg3;
334     slv_reg4<=slv_reg4;
335     slv_reg5<=slv_reg5;
336     slv_reg6<=slv_reg6;
337     slv_reg7<=slv_reg7;
338     slv_reg8<=slv_reg8;
339 end case;
340 end if;
```

```

329         end if;
330     end if;
331 end process;
332
333 -- Implement write response logic generation
334 -- The write response and response valid signals are asserted by
    the slave
335 -- when axi_wready, S_AXI_WVALID, axi_wready and S_AXI_WVALID
    are asserted.
336 -- This marks the acceptance of address and indicates the status
    of
337 -- write transaction.
338
339 process (S_AXI_ACLK)
340 begin
341     if rising_edge(S_AXI_ACLK) then
342         if S_AXI_ARESETN = '0' then
343             axi_bvalid <= '0';
344             axi_bresp <= "00"; --need to work more on the responses
345         else
346             if (axi_awready = '1' and S_AXI_AWVALID = '1' and
                axi_wready = '1' and S_AXI_WVALID = '1' and axi_bvalid
                = '0' ) then
347                 axi_bvalid <= '1';
348                 axi_bresp <= "00";
349             elsif (S_AXI_BREADY = '1' and axi_bvalid = '1') then
                --check if bready is asserted while bvalid is high)
350                 axi_bvalid <= '0'; --
                (there is a possibility that bready is always
                asserted high)
351             end if;
352         end if;
353     end if;
354 end process;
355
356 -- Implement axi_arready generation
357 -- axi_arready is asserted for one S_AXI_ACLK clock cycle when
358 -- S_AXI_ARVALID is asserted. axi_arready is
359 -- de-asserted when reset (active low) is asserted.
360 -- The read address is also latched when S_AXI_ARVALID is
361 -- asserted. axi_araddr is reset to zero on reset assertion.
362
363 process (S_AXI_ACLK)
364 begin
365     if rising_edge(S_AXI_ACLK) then
366         if S_AXI_ARESETN = '0' then
367             axi_arready <= '0';
368             axi_araddr <= (others => '1');
369         else
370             if (axi_arready = '0' and S_AXI_ARVALID = '1') then
371                 -- indicates that the slave has accepted the valid read
                address

```

```

372         axi_arready <= '1';
373         -- Read Address latching
374         axi_araddr  <= S_AXI_ARADDR;
375     else
376         axi_arready <= '0';
377     end if;
378 end if;
379 end if;
380 end process;
381
382 -- Implement axi_arvalid generation
383 -- axi_rvalid is asserted for one S_AXI_ACLK clock cycle when
384 -- both
385 -- S_AXI_ARVALID and axi_arready are asserted. The slave
386 -- registers
387 -- data are available on the axi_rdata bus at this instance. The
388 -- assertion of axi_rvalid marks the validity of read data on the
389 -- bus and axi_rresp indicates the status of read
390 -- transaction.axi_rvalid
391 -- is deasserted on reset (active low). axi_rresp and axi_rdata
392 -- are
393 -- cleared to zero on reset (active low).
394 process (S_AXI_ACLK)
395 begin
396     if rising_edge(S_AXI_ACLK) then
397         if S_AXI_ARESETN = '0' then
398             axi_rvalid <= '0';
399             axi_rresp  <= "00";
400         else
401             if (axi_arready = '1' and S_AXI_ARVALID = '1' and
402                 axi_rvalid = '0') then
403                 -- Valid read data is available at the read data bus
404                 axi_rvalid <= '1';
405                 axi_rresp  <= "00"; -- 'OKAY' response
406             elsif (axi_rvalid = '1' and S_AXI_RREADY = '1') then
407                 -- Read data is accepted by the master
408                 axi_rvalid <= '0';
409             end if;
410         end if;
411     end if;
412 end process;
413
414 -- Implement memory mapped register select and read logic
415 -- generation
416 -- Slave register read enable is asserted when valid address is
417 -- available
418 -- and the slave is ready to accept the read address.
419 slv_reg_rden <= axi_arready and S_AXI_ARVALID and (not
420     axi_rvalid) ;
421
422 process
423     (slv_reg0 ,slv_reg1 ,slv_reg2 ,slv_reg3 ,slv_reg4 ,slv_reg5 ,slv_reg6 ,slv_reg

```

```

S_AXI_ARESETN, slv_reg_rden, sready)
415 variable loc_addr :std_logic_vector(OPT_MEM_ADDR_BITS downto 0);
416 begin
417     -- Address decoding for reading registers
418     loc_addr := axi_araddr(ADDR_LSB + OPT_MEM_ADDR_BITS downto
        ADDR_LSB);
419         case loc_addr is
420             when b"0000"=>
421                 reg_data_out <= slv_reg0;
422             when b"0001"=>
423                 reg_data_out <= slv_reg1;
424             when b"0010"=>
425                 reg_data_out <= slv_reg2;
426             when b"0011"=>
427                 reg_data_out <= slv_reg3;
428             when b"0100"=>
429                 reg_data_out <= slv_reg4;
430             when b"0101"=>
431                 reg_data_out <= slv_reg5;
432             when b"0110"=>
433                 reg_data_out <= slv_reg6;
434             when b"0111"=>
435                 reg_data_out <= slv_reg7;
436             when b"1000"=>
437                 reg_data_out <=s_RESULT_SLV_REG8&"00000";
438             when others=>
439                 reg_data_out <= (others=>'0');
440         end case;
441     --reg
442 end process;
443
444 -- Output register or memory read data
445 process( S_AXI_ACLK ) is
446 begin
447     if (rising_edge (S_AXI_ACLK)) then
448         if ( S_AXI_ARESETN = '0' ) then
449             axi_rdata <= (others => '0');
450         else
451             if (slv_reg_rden = '1') then
452                 -- When there is a valid read address (S_AXI_ARVALID)
453                 with
454                 -- acceptance of read address by the slave (axi_arready),
455                 -- output the read dada
456                 -- Read address mux
457                 axi_rdata <= reg_data_out;           -- register read data
458             end if;
459         end if;
460     end if;
461 end process;
462 sreset<=not S_AXI_ARESETN;
463 uut: top27b port map(
464     X1=>slv_reg0(31 downto 5),

```

```

464     X2=>slv_reg1(31 downto 5),
465     X3=>slv_reg2(31 downto 5),
466     X4=>slv_reg3(31 downto 5),
467     W1=>slv_reg4(31 downto 5),
468     W2=>slv_reg5(31 downto 5),
469     W3=>slv_reg6(31 downto 5),
470     W4=>slv_reg7(31 downto 5),
471     CLK=>S_AXI_ACLK,
472     RST=>sreset,
473     START_NEUR=>START,
474     READY=> sready,
475     RESULT=>s_RESULT_SLV_REG8);
476
477 end arch_imp;

```

Código A.13 – Código mais externo do AXI4-Full encapsulando a MLP.

```

1  library ieee;
2  use ieee.std_logic_1164.all;
3  use ieee.numeric_std.all;
4
5  entity MLP443axifull_MM_v1_0 is
6      generic (
7          -- Users to add parameters here
8
9          -- User parameters ends
10         -- Do not modify the parameters beyond this line
11
12
13         -- Parameters of Axi Slave Bus Interface S00_AXI
14         C_S00_AXI_ID_WIDTH   : integer := 1;
15         C_S00_AXI_DATA_WIDTH : integer := 32;
16         C_S00_AXI_ADDR_WIDTH : integer := 6;
17         C_S00_AXI_AWUSER_WIDTH : integer := 0;
18         C_S00_AXI_ARUSER_WIDTH : integer := 0;
19         C_S00_AXI_WUSER_WIDTH : integer := 0;
20         C_S00_AXI_RUSER_WIDTH : integer := 0;
21         C_S00_AXI_BUSER_WIDTH : integer := 0
22     );
23     port (
24         -- Users to add ports here
25
26         -- User ports ends
27         -- Do not modify the ports beyond this line
28
29
30         -- Ports of Axi Slave Bus Interface S00_AXI
31         s00_axi_aclk   : in std_logic;
32         s00_axi_aresetn : in std_logic;
33         s00_axi_awid   : in std_logic_vector(C_S00_AXI_ID_WIDTH-1
           downto 0);

```

```
34     s00_axi_awaddr   : in std_logic_vector(C_S00_AXI_ADDR_WIDTH-1
        downto 0);
35     s00_axi_awlen   : in std_logic_vector(7 downto 0);
36     s00_axi_awsz   : in std_logic_vector(2 downto 0);
37     s00_axi_awburst : in std_logic_vector(1 downto 0);
38     s00_axi_awlock  : in std_logic;
39     s00_axi_awcache : in std_logic_vector(3 downto 0);
40     s00_axi_awprot  : in std_logic_vector(2 downto 0);
41     s00_axi_awqos   : in std_logic_vector(3 downto 0);
42     s00_axi_awregion : in std_logic_vector(3 downto 0);
43     s00_axi_awuser  : in std_logic_vector(C_S00_AXI_AWUSER_WIDTH-1
        downto 0);
44     s00_axi_awvalid : in std_logic;
45     s00_axi_awready : out std_logic;
46     s00_axi_wdata   : in std_logic_vector(C_S00_AXI_DATA_WIDTH-1
        downto 0);
47     s00_axi_wstrb   : in std_logic_vector((C_S00_AXI_DATA_WIDTH/8)-1
        downto 0);
48     s00_axi_wlast   : in std_logic;
49     s00_axi_wuser   : in std_logic_vector(C_S00_AXI_WUSER_WIDTH-1
        downto 0);
50     s00_axi_wvalid  : in std_logic;
51     s00_axi_wready  : out std_logic;
52     s00_axi_bid     : out std_logic_vector(C_S00_AXI_ID_WIDTH-1 downto
        0);
53     s00_axi_bresp   : out std_logic_vector(1 downto 0);
54     s00_axi_buser   : out std_logic_vector(C_S00_AXI_BUSER_WIDTH-1
        downto 0);
55     s00_axi_bvalid  : out std_logic;
56     s00_axi_bready  : in std_logic;
57     s00_axi_arid    : in std_logic_vector(C_S00_AXI_ID_WIDTH-1
        downto 0);
58     s00_axi_araddr  : in std_logic_vector(C_S00_AXI_ADDR_WIDTH-1
        downto 0);
59     s00_axi_arlen   : in std_logic_vector(7 downto 0);
60     s00_axi_arsz   : in std_logic_vector(2 downto 0);
61     s00_axi_arburst : in std_logic_vector(1 downto 0);
62     s00_axi_arlock  : in std_logic;
63     s00_axi_arcache : in std_logic_vector(3 downto 0);
64     s00_axi_arprot  : in std_logic_vector(2 downto 0);
65     s00_axi_arqos   : in std_logic_vector(3 downto 0);
66     s00_axi_arregion : in std_logic_vector(3 downto 0);
67     s00_axi_aruser  : in std_logic_vector(C_S00_AXI_ARUSER_WIDTH-1
        downto 0);
68     s00_axi_arvalid : in std_logic;
69     s00_axi_arready : out std_logic;
70     s00_axi_rid     : out std_logic_vector(C_S00_AXI_ID_WIDTH-1 downto
        0);
71     s00_axi_rdata   : out std_logic_vector(C_S00_AXI_DATA_WIDTH-1
        downto 0);
72     s00_axi_rresp   : out std_logic_vector(1 downto 0);
73     s00_axi_rlast   : out std_logic;
```

```

74     s00_axi_ruser : out std_logic_vector(C_S00_AXI_RUSER_WIDTH-1
75         downto 0);
76     s00_axi_rvalid : out std_logic;
77     s00_axi_rready : in std_logic
78 );
79 end MLP443axifull_MM_v1_0;
80
81 architecture arch_imp of MLP443axifull_MM_v1_0 is
82
83     -- component declaration
84     component MLP443axifull_MM_v1_0_S00_AXI is
85         generic (
86             C_S_AXI_ID_WIDTH : integer := 1;
87             C_S_AXI_DATA_WIDTH : integer := 32;
88             C_S_AXI_ADDR_WIDTH : integer := 6;
89             C_S_AXI_AWUSER_WIDTH : integer := 0;
90             C_S_AXI_ARUSER_WIDTH : integer := 0;
91             C_S_AXI_WUSER_WIDTH : integer := 0;
92             C_S_AXI_RUSER_WIDTH : integer := 0;
93             C_S_AXI_BUSER_WIDTH : integer := 0
94         );
95         port (
96             S_AXI_ACLK : in std_logic;
97             S_AXI_ARESETN : in std_logic;
98             S_AXI_AWID : in std_logic_vector(C_S_AXI_ID_WIDTH-1 downto 0);
99             S_AXI_AWADDR : in std_logic_vector(C_S_AXI_ADDR_WIDTH-1
100                 downto 0);
101             S_AXI_AWLEN : in std_logic_vector(7 downto 0);
102             S_AXI_AWSIZE : in std_logic_vector(2 downto 0);
103             S_AXI_AWBURST : in std_logic_vector(1 downto 0);
104             S_AXI_AWLOCK : in std_logic;
105             S_AXI_AWCACHE : in std_logic_vector(3 downto 0);
106             S_AXI_AWPROT : in std_logic_vector(2 downto 0);
107             S_AXI_AWQOS : in std_logic_vector(3 downto 0);
108             S_AXI_AWREGION : in std_logic_vector(3 downto 0);
109             S_AXI_AWUSER : in std_logic_vector(C_S_AXI_AWUSER_WIDTH-1
110                 downto 0);
111             S_AXI_AWVALID : in std_logic;
112             S_AXI_AWREADY : out std_logic;
113             S_AXI_WDATA : in std_logic_vector(C_S_AXI_DATA_WIDTH-1 downto
114                 0);
115             S_AXI_WSTRB : in std_logic_vector(((C_S_AXI_DATA_WIDTH/8)-1
116                 downto 0));
117             S_AXI_WLAST : in std_logic;
118             S_AXI_WUSER : in std_logic_vector(C_S_AXI_WUSER_WIDTH-1 downto
119                 0);
120             S_AXI_WVALID : in std_logic;
121             S_AXI_WREADY : out std_logic;
122             S_AXI_BID : out std_logic_vector(C_S_AXI_ID_WIDTH-1 downto 0);
123             S_AXI_BRESP : out std_logic_vector(1 downto 0);
124             S_AXI_BUSER : out std_logic_vector(C_S_AXI_BUSER_WIDTH-1
125                 downto 0);

```

```

119     S_AXI_BVALID    : out std_logic;
120     S_AXI_BREADY    : in  std_logic;
121     S_AXI_ARID      : in  std_logic_vector(C_S_AXI_ID_WIDTH-1 downto 0);
122     S_AXI_ARADDR    : in  std_logic_vector(C_S_AXI_ADDR_WIDTH-1
123         downto 0);
124     S_AXI_ARLEN     : in  std_logic_vector(7 downto 0);
125     S_AXI_ARSIZE    : in  std_logic_vector(2 downto 0);
126     S_AXI_ARBURST   : in  std_logic_vector(1 downto 0);
127     S_AXI_ARLOCK    : in  std_logic;
128     S_AXI_ARCACHE   : in  std_logic_vector(3 downto 0);
129     S_AXI_ARPROT    : in  std_logic_vector(2 downto 0);
130     S_AXI_ARQOS     : in  std_logic_vector(3 downto 0);
131     S_AXI_ARREGION  : in  std_logic_vector(3 downto 0);
132     S_AXI_ARUSER    : in  std_logic_vector(C_S_AXI_ARUSER_WIDTH-1
133         downto 0);
134     S_AXI_ARVALID   : in  std_logic;
135     S_AXI_ARREADY   : out std_logic;
136     S_AXI_RID       : out std_logic_vector(C_S_AXI_ID_WIDTH-1 downto 0);
137     S_AXI_RDATA     : out std_logic_vector(C_S_AXI_DATA_WIDTH-1 downto
138         0);
139     S_AXI_RRESP     : out std_logic_vector(1 downto 0);
140     S_AXI_RLAST     : out std_logic;
141     S_AXI_RUSER     : out std_logic_vector(C_S_AXI_RUSER_WIDTH-1
142         downto 0);
143     S_AXI_RVALID    : out std_logic;
144     S_AXI_RREADY    : in  std_logic
145 );
146 end component MLP443axifull_MM_v1_0_S00_AXI;
147
148 begin
149
150 -- Instantiation of Axi Bus Interface S00_AXI
151 MLP443axifull_MM_v1_0_S00_AXI_inst : MLP443axifull_MM_v1_0_S00_AXI
152 generic map (
153     C_S_AXI_ID_WIDTH    => C_S00_AXI_ID_WIDTH,
154     C_S_AXI_DATA_WIDTH => C_S00_AXI_DATA_WIDTH,
155     C_S_AXI_ADDR_WIDTH => C_S00_AXI_ADDR_WIDTH,
156     C_S_AXI_AWUSER_WIDTH => C_S00_AXI_AWUSER_WIDTH,
157     C_S_AXI_ARUSER_WIDTH => C_S00_AXI_ARUSER_WIDTH,
158     C_S_AXI_WUSER_WIDTH => C_S00_AXI_WUSER_WIDTH,
159     C_S_AXI_RUSER_WIDTH => C_S00_AXI_RUSER_WIDTH,
160     C_S_AXI_BUSER_WIDTH => C_S00_AXI_BUSER_WIDTH
161 )
162 port map (
163     S_AXI_ACLK    => s00_axi_aclk,
164     S_AXI_ARESETN => s00_axi_aresetn,
165     S_AXI_AWID    => s00_axi_awid,
166     S_AXI_AWADDR  => s00_axi_awaddr,
167     S_AXI_AWLEN  => s00_axi_awlen,
168     S_AXI_AWSIZE => s00_axi_awsiz,
169     S_AXI_AWBURST => s00_axi_awburst,
170     S_AXI_AWLOCK => s00_axi_awlock,

```

```

167     S_AXI_AWCACHE => s00_axi_awcache ,
168     S_AXI_AWPROT  => s00_axi_awprot ,
169     S_AXI_AWQOS   => s00_axi_awqos ,
170     S_AXI_AWREGION => s00_axi_awregion ,
171     S_AXI_AWUSER  => s00_axi_awuser ,
172     S_AXI_AWVALID => s00_axi_awvalid ,
173     S_AXI_AWREADY => s00_axi_awready ,
174     S_AXI_WDATA   => s00_axi_wdata ,
175     S_AXI_WSTRB   => s00_axi_wstrb ,
176     S_AXI_WLAST   => s00_axi_wlast ,
177     S_AXI_WUSER   => s00_axi_wuser ,
178     S_AXI_WVALID  => s00_axi_wvalid ,
179     S_AXI_WREADY  => s00_axi_wready ,
180     S_AXI_BID     => s00_axi_bid ,
181     S_AXI_BRESP   => s00_axi_bresp ,
182     S_AXI_BUSER   => s00_axi_buser ,
183     S_AXI_BVALID  => s00_axi_bvalid ,
184     S_AXI_BREADY  => s00_axi_bready ,
185     S_AXI_ARID    => s00_axi_arid ,
186     S_AXI_ARADDR  => s00_axi_araddr ,
187     S_AXI_ARLEN   => s00_axi_arlen ,
188     S_AXI_ARSIZE  => s00_axi_arsize ,
189     S_AXI_ARBURST => s00_axi_arburst ,
190     S_AXI_ARLOCK  => s00_axi_arlock ,
191     S_AXI_ARCACHE => s00_axi_arcache ,
192     S_AXI_ARPROT  => s00_axi_arprot ,
193     S_AXI_ARQOS   => s00_axi_arqos ,
194     S_AXI_ARREGION => s00_axi_arregion ,
195     S_AXI_ARUSER  => s00_axi_aruser ,
196     S_AXI_ARVALID => s00_axi_arvalid ,
197     S_AXI_ARREADY => s00_axi_arready ,
198     S_AXI_RID     => s00_axi_rid ,
199     S_AXI_RDATA   => s00_axi_rdata ,
200     S_AXI_RRESP   => s00_axi_rresp ,
201     S_AXI_RLAST   => s00_axi_rlast ,
202     S_AXI_RUSER   => s00_axi_ruser ,
203     S_AXI_RVALID  => s00_axi_rvalid ,
204     S_AXI_RREADY  => s00_axi_rready
205 );
206
207 -- Add user logic here
208
209 -- User logic ends
210
211 end arch_imp;

```

Código A.14 – Código mais interno do AXI4-Full encapsulando a MLP.

```

1 library ieee;
2 use ieee.std_logic_1164.all;
3 use ieee.numeric_std.all;
4 library work;

```

```

5 use work.fpupack.all;
6 use work.rnapack.all;
7
8 entity MLP443axifull_MM_v1_0_S00_AXI is
9   generic (
10    -- Users to add parameters here
11
12    -- User parameters ends
13    -- Do not modify the parameters beyond this line
14
15    -- Width of ID for for write address, write data, read address
16    -- and read data
17    C_S_AXI_ID_WIDTH : integer := 1;
18    -- Width of S_AXI data bus
19    C_S_AXI_DATA_WIDTH : integer := 32;
20    -- Width of S_AXI address bus
21    C_S_AXI_ADDR_WIDTH : integer := 6;
22    -- Width of optional user defined signal in write address
23    -- channel
24    C_S_AXI_AWUSER_WIDTH : integer := 0;
25    -- Width of optional user defined signal in read address
26    -- channel
27    C_S_AXI_ARUSER_WIDTH : integer := 0;
28    -- Width of optional user defined signal in write data channel
29    C_S_AXI_WUSER_WIDTH : integer := 0;
30    -- Width of optional user defined signal in read data channel
31    C_S_AXI_RUSER_WIDTH : integer := 0;
32    -- Width of optional user defined signal in write response
33    -- channel
34    C_S_AXI_BUSER_WIDTH : integer := 0
35  );
36  port (
37    -- Users to add ports here
38
39    -- User ports ends
40    -- Do not modify the ports beyond this line
41
42    -- Global Clock Signal
43    S_AXI_ACLK : in std_logic;
44    -- Global Reset Signal. This Signal is Active LOW
45    S_AXI_ARESETN : in std_logic;
46    -- Write Address ID
47    S_AXI_AWID : in std_logic_vector(C_S_AXI_ID_WIDTH-1 downto 0);
48    -- Write address
49    S_AXI_AWADDR : in std_logic_vector(C_S_AXI_ADDR_WIDTH-1
50    downto 0);
51    -- Burst length. The burst length gives the exact number of
52    -- transfers in a burst
53    S_AXI_AWLEN : in std_logic_vector(7 downto 0);
54    -- Burst size. This signal indicates the size of each transfer
55    -- in the burst
56    S_AXI_AWSIZE : in std_logic_vector(2 downto 0);

```

```
50 -- Burst type. The burst type and the size information,
51 -- determine how the address for each transfer within the
    burst is calculated.
52 S_AXI_AWBURST : in std_logic_vector(1 downto 0);
53 -- Lock type. Provides additional information about the
54 -- atomic characteristics of the transfer.
55 S_AXI_AWLOCK  : in std_logic;
56 -- Memory type. This signal indicates how transactions
57 -- are required to progress through a system.
58 S_AXI_AWCACHE : in std_logic_vector(3 downto 0);
59 -- Protection type. This signal indicates the privilege
60 -- and security level of the transaction, and whether
61 -- the transaction is a data access or an instruction access.
62 S_AXI_AWPROT  : in std_logic_vector(2 downto 0);
63 -- Quality of Service, QoS identifier sent for each
64 -- write transaction.
65 S_AXI_AWQOS   : in std_logic_vector(3 downto 0);
66 -- Region identifier. Permits a single physical interface
67 -- on a slave to be used for multiple logical interfaces.
68 S_AXI_AWREGION : in std_logic_vector(3 downto 0);
69 -- Optional User-defined signal in the write address channel.
70 S_AXI_AWUSER   : in std_logic_vector(C_S_AXI_AWUSER_WIDTH-1
    downto 0);
71 -- Write address valid. This signal indicates that
72 -- the channel is signaling valid write address and
73 -- control information.
74 S_AXI_AWVALID : in std_logic;
75 -- Write address ready. This signal indicates that
76 -- the slave is ready to accept an address and associated
77 -- control signals.
78 S_AXI_AWREADY : out std_logic;
79 -- Write Data
80 S_AXI_WDATA   : in std_logic_vector(C_S_AXI_DATA_WIDTH-1 downto
    0);
81 -- Write strobes. This signal indicates which byte
82 -- lanes hold valid data. There is one write strobe
83 -- bit for each eight bits of the write data bus.
84 S_AXI_WSTRB   : in std_logic_vector((C_S_AXI_DATA_WIDTH/8)-1
    downto 0);
85 -- Write last. This signal indicates the last transfer
86 -- in a write burst.
87 S_AXI_WLAST   : in std_logic;
88 -- Optional User-defined signal in the write data channel.
89 S_AXI_WUSER   : in std_logic_vector(C_S_AXI_WUSER_WIDTH-1 downto
    0);
90 -- Write valid. This signal indicates that valid write
91 -- data and strobes are available.
92 S_AXI_WVALID  : in std_logic;
93 -- Write ready. This signal indicates that the slave
94 -- can accept the write data.
95 S_AXI_WREADY  : out std_logic;
96 -- Response ID tag. This signal is the ID tag of the
```

```
97  -- write response.
98  S_AXI_BID : out std_logic_vector(C_S_AXI_ID_WIDTH-1 downto 0);
99  -- Write response. This signal indicates the status
100 -- of the write transaction.
101  S_AXI_BRESP : out std_logic_vector(1 downto 0);
102  -- Optional User-defined signal in the write response channel.
103  S_AXI_BUSER : out std_logic_vector(C_S_AXI_BUSER_WIDTH-1
104         downto 0);
105  -- Write response valid. This signal indicates that the
106  -- channel is signaling a valid write response.
107  S_AXI_BVALID : out std_logic;
108  -- Response ready. This signal indicates that the master
109  -- can accept a write response.
110  S_AXI_BREADY : in std_logic;
111  -- Read address ID. This signal is the identification
112  -- tag for the read address group of signals.
113  S_AXI_ARID : in std_logic_vector(C_S_AXI_ID_WIDTH-1 downto 0);
114  -- Read address. This signal indicates the initial
115  -- address of a read burst transaction.
116  S_AXI_ARADDR : in std_logic_vector(C_S_AXI_ADDR_WIDTH-1
117         downto 0);
118  -- Burst length. The burst length gives the exact number of
119  -- transfers in a burst
120  S_AXI_ARLEN : in std_logic_vector(7 downto 0);
121  -- Burst size. This signal indicates the size of each transfer
122  -- in the burst
123  S_AXI_ARSIZE : in std_logic_vector(2 downto 0);
124  -- Burst type. The burst type and the size information,
125  -- determine how the address for each transfer within the
126  -- burst is calculated.
127  S_AXI_ARBURST : in std_logic_vector(1 downto 0);
128  -- Lock type. Provides additional information about the
129  -- atomic characteristics of the transfer.
130  S_AXI_ARLOCK : in std_logic;
131  -- Memory type. This signal indicates how transactions
132  -- are required to progress through a system.
133  S_AXI_ARCACHE : in std_logic_vector(3 downto 0);
134  -- Protection type. This signal indicates the privilege
135  -- and security level of the transaction, and whether
136  -- the transaction is a data access or an instruction access.
137  S_AXI_ARPROT : in std_logic_vector(2 downto 0);
138  -- Quality of Service, QoS identifier sent for each
139  -- read transaction.
140  S_AXI_ARQOS : in std_logic_vector(3 downto 0);
141  -- Region identifier. Permits a single physical interface
142  -- on a slave to be used for multiple logical interfaces.
143  S_AXI_ARREGION : in std_logic_vector(3 downto 0);
144  -- Optional User-defined signal in the read address channel.
145  S_AXI_ARUSER : in std_logic_vector(C_S_AXI_ARUSER_WIDTH-1
146         downto 0);
147  -- Write address valid. This signal indicates that
148  -- the channel is signaling valid read address and
```

```

143     -- control information.
144     S_AXI_ARVALID : in std_logic;
145     -- Read address ready. This signal indicates that
146     -- the slave is ready to accept an address and associated
147     -- control signals.
148     S_AXI_ARREADY : out std_logic;
149     -- Read ID tag. This signal is the identification tag
150     -- for the read data group of signals generated by the slave.
151     S_AXI_RID : out std_logic_vector(C_S_AXI_ID_WIDTH-1 downto 0);
152     -- Read Data
153     S_AXI_RDATA : out std_logic_vector(C_S_AXI_DATA_WIDTH-1 downto
154         0);
155     -- Read response. This signal indicates the status of
156     -- the read transfer.
157     S_AXI_RRESP : out std_logic_vector(1 downto 0);
158     -- Read last. This signal indicates the last transfer
159     -- in a read burst.
160     S_AXI_RLAST : out std_logic;
161     -- Optional User-defined signal in the read address channel.
162     S_AXI_RUSER : out std_logic_vector(C_S_AXI_RUSER_WIDTH-1
163         downto 0);
164     -- Read valid. This signal indicates that the channel
165     -- is signaling the required read data.
166     S_AXI_RVALID : out std_logic;
167     -- Read ready. This signal indicates that the master can
168     -- accept the read data and response information.
169     S_AXI_RREADY : in std_logic
170 );
171 end MLP443axifull_MM_v1_0_S00_AXI;
172
173 architecture arch_imp of MLP443axifull_MM_v1_0_S00_AXI is
174     -- AXI4FULL signals
175     signal axi_awaddr : std_logic_vector(C_S_AXI_ADDR_WIDTH-1 downto
176         0);
177     signal axi_awready : std_logic;
178     signal axi_wready : std_logic;
179     signal axi_bresp : std_logic_vector(1 downto 0);
180     signal axi_buser : std_logic_vector(C_S_AXI_BUSER_WIDTH-1
181         downto 0);
182     signal axi_bvalid : std_logic;
183     signal axi_araddr : std_logic_vector(C_S_AXI_ADDR_WIDTH-1 downto
184         0);
185     signal axi_arready : std_logic;
186     signal axi_rdata : std_logic_vector(C_S_AXI_DATA_WIDTH-1 downto
187         0);
188     signal axi_rresp : std_logic_vector(1 downto 0);
189     signal axi_rlast : std_logic;
190     signal axi_ruser : std_logic_vector(C_S_AXI_RUSER_WIDTH-1
191         downto 0);
192     signal axi_rvalid : std_logic;
193     -- aw_wrap_en determines wrap boundary and enables wrapping

```

```

188 signal aw_wrap_en : std_logic;
189 -- ar_wrap_en determines wrap boundary and enables wrapping
190 signal ar_wrap_en : std_logic;
191 -- aw_wrap_size is the size of the write transfer, the
192 -- write address wraps to a lower address if upper address
193 -- limit is reached
194 signal aw_wrap_size : integer;
195 -- ar_wrap_size is the size of the read transfer, the
196 -- read address wraps to a lower address if upper address
197 -- limit is reached
198 signal ar_wrap_size : integer;
199 -- The axi_awv_awr_flag flag marks the presence of write address
    valid
200 signal axi_awv_awr_flag : std_logic;
201 --The axi_arv_arr_flag flag marks the presence of read address
    valid
202 signal axi_arv_arr_flag : std_logic;
203 -- The axi_awlen_cntr internal write address counter to keep
    track of beats in a burst transaction
204 signal axi_awlen_cntr : std_logic_vector(7 downto 0);
205 --The axi_arlen_cntr internal read address counter to keep track
    of beats in a burst transaction
206 signal axi_arlen_cntr : std_logic_vector(7 downto 0);
207 signal axi_arburst : std_logic_vector(2-1 downto 0);
208 signal axi_awburst : std_logic_vector(2-1 downto 0);
209 signal axi_arlen : std_logic_vector(8-1 downto 0);
210 signal axi_awlen : std_logic_vector(8-1 downto 0);
211 --local parameter for addressing 32 bit / 64 bit
    C_S_AXI_DATA_WIDTH
212 --ADDR_LSB is used for addressing 32/64 bit registers/memories
213 --ADDR_LSB = 2 for 32 bits (n downto 2)
214 --ADDR_LSB = 3 for 42 bits (n downto 3)
215
216 constant ADDR_LSB : integer := (C_S_AXI_DATA_WIDTH/32)+ 1;
217 constant OPT_MEM_ADDR_BITS : integer := 3;
218 constant USER_NUM_MEM: integer := 1;
219 constant low : std_logic_vector (C_S_AXI_ADDR_WIDTH - 1 downto
    0) := (others=>'0');
220
221 -----
222 ---- Signals for user logic memory space example
223 -----
224 signal mem_address : std_logic_vector(OPT_MEM_ADDR_BITS downto
    0);
225 signal mem_select : std_logic_vector(USER_NUM_MEM-1 downto 0);
226 type word_array is array (0 to USER_NUM_MEM-1) of
    std_logic_vector(C_S_AXI_DATA_WIDTH-1 downto 0);
227 signal mem_data_out : word_array;
228
229 signal i : integer;
230 signal j : integer;
231 signal mem_byte_index : integer;
232 type BYTE_RAM_TYPE is array (0 to 15) of std_logic_vector(7

```

```

    downto 0);
232 type WORD_RAM_TYPE is array (0 to 15) of std_logic_vector(31
    downto 0);
233 signal top_input_array : WORD_RAM_TYPE;
234     signal sSTART :std_logic:='0';
235     signal sREADY :std_logic:='0';
236     signal sreset :std_logic:='0';
237     signal s_OUTsx:ARRAY_IN;
238     signal s_INssaida:ARRAY_OUT;
239
240 component MLP443 is
241     Port ( clk : in STD_LOGIC;
242           reset : in STD_LOGIC;
243           start : in STD_LOGIC;
244           x : in array_in;
245           saida : out array_out;
246           ready : out STD_LOGIC);
247 end component;
248     -- signals for user logic
249
250
251 begin
252     -- I/O Connections assignments
253
254     S_AXI_AWREADY <= axi_awready;
255     S_AXI_WREADY <= axi_wready;
256     S_AXI_BRESP <= axi_bresp;
257     S_AXI_BUSER <= axi_buser;
258     S_AXI_BVALID <= axi_bvalid;
259     S_AXI_ARREADY <= axi_arready;
260     S_AXI_RDATA <= axi_rdata;
261     S_AXI_RRESP <= axi_rresp;
262     S_AXI_RLAST <= axi_rlast;
263     S_AXI_RUSER <= axi_ruser;
264     S_AXI_RVALID <= axi_rvalid;
265     S_AXI_BID <= S_AXI_AWID;
266     S_AXI_RID <= S_AXI_ARID;
267     aw_wrap_size <= ((C_S_AXI_DATA_WIDTH)/8 *
        to_integer(unsigned(axi_awlen)));
268     ar_wrap_size <= ((C_S_AXI_DATA_WIDTH)/8 *
        to_integer(unsigned(axi_arlen)));
269     aw_wrap_en <= '1' when (((axi_awaddr AND
        std_logic_vector(to_unsigned(aw_wrap_size,C_S_AXI_ADDR_WIDTH)))
        XOR
        std_logic_vector(to_unsigned(aw_wrap_size,C_S_AXI_ADDR_WIDTH)))
        = low) else '0';
270     ar_wrap_en <= '1' when (((axi_araddr AND
        std_logic_vector(to_unsigned(ar_wrap_size,C_S_AXI_ADDR_WIDTH)))
        XOR
        std_logic_vector(to_unsigned(ar_wrap_size,C_S_AXI_ADDR_WIDTH)))
        = low) else '0';
271

```

```

272 -- Implement axi_awready generation
273
274 -- axi_awready is asserted for one S_AXI_ACLK clock cycle when
275 -- both
276 -- S_AXI_AWVALID and S_AXI_WVALID are asserted. axi_awready is
277 -- de-asserted when reset is low.
278
279 process (S_AXI_ACLK)
280 begin
281     if rising_edge(S_AXI_ACLK) then
282         if S_AXI_ARESETN = '0' then
283             axi_awready <= '0';
284             axi_awv_awr_flag <= '0';
285         else
286             if (axi_awready = '0' and S_AXI_AWVALID = '1' and
287                 axi_awv_awr_flag = '0' and axi_arv_arr_flag = '0') then
288                 -- slave is ready to accept an address and
289                 -- associated control signals
290                 axi_awv_awr_flag <= '1'; -- used for generation of
291                 bresp() and bvalid
292                 axi_awready <= '1';
293             elsif (S_AXI_WLAST = '1' and axi_wready = '1') then
294                 -- preparing to accept next address after current write
295                 -- burst tx completion
296                 axi_awv_awr_flag <= '0';
297             else
298                 axi_awready <= '0';
299             end if;
300         end if;
301     end if;
302 end process;
303
304 -- Implement axi_awaddr latching
305
306 -- This process is used to latch the address when both
307 -- S_AXI_AWVALID and S_AXI_WVALID are valid.
308
309 process (S_AXI_ACLK)
310 begin
311     if rising_edge(S_AXI_ACLK) then
312         if S_AXI_ARESETN = '0' then
313             axi_awaddr <= (others => '0');
314             axi_awburst <= (others => '0');
315             axi_awlen <= (others => '0');
316             axi_awlen_cntr <= (others => '0');
317         else
318             if (axi_awready = '0' and S_AXI_AWVALID = '1' and
319                 axi_awv_awr_flag = '0') then
320                 -- address latching
321                 axi_awaddr <= S_AXI_AWADDR(C_S_AXI_ADDR_WIDTH - 1 downto
322                     0); ---- start address of transfer
323                 axi_awlen_cntr <= (others => '0');
324                 axi_awburst <= S_AXI_AWBURST;

```

```

318     axi_awlen <= S_AXI_AWLEN;
319     elsif((axi_awlen_cntr <= axi_awlen) and axi_wready = '1'
320           and S_AXI_WVALID = '1') then
321         axi_awlen_cntr <= std_logic_vector
322           (unsigned(axi_awlen_cntr) + 1);
323
324     case (axi_awburst) is
325     when "00" => -- fixed burst
326         -- The write address for all the beats in the
327         -- transaction are fixed
328         axi_awaddr <= axi_awaddr;      ----for awsize =
329         4 bytes (010)
330     when "01" => --incremental burst
331         -- The write address for all the beats in the
332         -- transaction are increments by awsize
333         axi_awaddr(C_S_AXI_ADDR_WIDTH - 1 downto ADDR_LSB)
334         <= std_logic_vector
335           (unsigned(axi_awaddr(C_S_AXI_ADDR_WIDTH - 1
336             downto ADDR_LSB)) + 1); --awaddr aligned to 4 byte
337         boundary
338         axi_awaddr(ADDR_LSB-1 downto 0) <= (others => '0');
339         ----for awsize = 4 bytes (010)
340     when "10" => --Wrapping burst
341         -- The write address wraps when the address reaches
342         -- wrap boundary
343         if (aw_wrap_en = '1') then
344             axi_awaddr <= std_logic_vector
345               (unsigned(axi_awaddr) -
346                 (to_unsigned(aw_wrap_size, C_S_AXI_ADDR_WIDTH)));
347         else
348             axi_awaddr(C_S_AXI_ADDR_WIDTH - 1 downto ADDR_LSB)
349             <= std_logic_vector
350               (unsigned(axi_awaddr(C_S_AXI_ADDR_WIDTH - 1
351                 downto ADDR_LSB)) + 1); --awaddr aligned to 4
352             byte boundary
353             axi_awaddr(ADDR_LSB-1 downto 0) <= (others =>
354               '0'); ----for awsize = 4 bytes (010)
355         end if;
356     when others => --reserved (incremental burst for
357         example)
358         axi_awaddr(C_S_AXI_ADDR_WIDTH - 1 downto ADDR_LSB)
359         <= std_logic_vector
360           (unsigned(axi_awaddr(C_S_AXI_ADDR_WIDTH - 1
361             downto ADDR_LSB)) + 1); --for awsize = 4 bytes
362           (010)
363         axi_awaddr(ADDR_LSB-1 downto 0) <= (others => '0');
364     end case;
365     end if;
366 end if;
367 end if;
368 end process;
369 -- Implement axi_wready generation

```

```

347
348 -- axi_wready is asserted for one S_AXI_ACLK clock cycle when
      both
349 -- S_AXI_AWVALID and S_AXI_WVALID are asserted. axi_wready is
350 -- de-asserted when reset is low.
351
352 process (S_AXI_ACLK)
353 begin
354     if rising_edge(S_AXI_ACLK) then
355         if S_AXI_ARESETN = '0' then
356             axi_wready <= '0';
357         else
358             if (axi_wready = '0' and S_AXI_WVALID = '1' and
359                 axi_awv_awr_flag = '1') then
360                 axi_wready <= '1';
361                 -- elsif (axi_awv_awr_flag = '0') then
362             elsif (S_AXI_WLAST = '1' and axi_wready = '1') then
363                 axi_wready <= '0';
364             end if;
365         end if;
366     end if;
367 end process;
368 -- Implement write response logic generation
369
370 -- The write response and response valid signals are asserted by
      the slave
371 -- when axi_wready, S_AXI_WVALID, axi_wready and S_AXI_WVALID
      are asserted.
372 -- This marks the acceptance of address and indicates the status
      of
373 -- write transaction.
374
375 process (S_AXI_ACLK)
376 begin
377     if rising_edge(S_AXI_ACLK) then
378         if S_AXI_ARESETN = '0' then
379             axi_bvalid <= '0';
380             axi_bresp <= "00"; --need to work more on the responses
381             axi_buser <= (others => '0');
382         else
383             if (axi_awv_awr_flag = '1' and axi_wready = '1' and
384                 S_AXI_WVALID = '1' and axi_bvalid = '0' and S_AXI_WLAST
385                 = '1' ) then
386                 axi_bvalid <= '1';
387                 axi_bresp <= "00";
388             elsif (S_AXI_BREADY = '1' and axi_bvalid = '1') then
389                 --check if bready is asserted while bvalid is high)
390                 axi_bvalid <= '0';
391             end if;
392         end if;
393     end if;
394 end process;

```

```

392 end process;
393 -- Implement axi_arready generation
394
395 -- axi_arready is asserted for one S_AXI_ACLK clock cycle when
396 -- S_AXI_ARVALID is asserted. axi_arready is
397 -- de-asserted when reset (active low) is asserted.
398 -- The read address is also latched when S_AXI_ARVALID is
399 -- asserted. axi_araddr is reset to zero on reset assertion.
400
401 process (S_AXI_ACLK)
402 begin
403     if rising_edge(S_AXI_ACLK) then
404         if S_AXI_ARESETN = '0' then
405             axi_arready <= '0';
406             axi_arv_arr_flag <= '0';
407         else
408             if (axi_arready = '0' and S_AXI_ARVALID = '1' and
409                 axi_arv_arr_flag = '0' and axi_arv_arr_flag = '0') then
410                 axi_arready <= '1';
411                 axi_arv_arr_flag <= '1';
412             elsif (axi_rvalid = '1' and S_AXI_RREADY = '1' and
413                 (axi_arlen_cntr = axi_arlen)) then
414                 -- preparing to accept next address after current read
415                 -- completion
416                 axi_arv_arr_flag <= '0';
417             else
418                 axi_arready <= '0';
419             end if;
420         end if;
421     end if;
422 end process;
423 -- Implement axi_araddr latching
424
425 --This process is used to latch the address when both
426 --S_AXI_ARVALID and S_AXI_RVALID are valid.
427 process (S_AXI_ACLK)
428 begin
429     if rising_edge(S_AXI_ACLK) then
430         if S_AXI_ARESETN = '0' then
431             axi_araddr <= (others => '0');
432             axi_arburst <= (others => '0');
433             axi_arlen <= (others => '0');
434             axi_arlen_cntr <= (others => '0');
435             axi_rlast <= '0';
436             axi_ruser <= (others => '0');
437         else
438             if (axi_arready = '0' and S_AXI_ARVALID = '1' and
439                 axi_arv_arr_flag = '0') then
440                 -- address latching
441                 axi_araddr <= S_AXI_ARADDR(C_S_AXI_ADDR_WIDTH - 1 downto
442                     0); ---- start address of transfer
443                 axi_arlen_cntr <= (others => '0');

```

```

439     axi_rlast <= '0';
440     axi_arburst <= S_AXI_ARBURST;
441     axi_arlen <= S_AXI_ARLEN;
442     elsif((axi_arlen_cntr <= axi_arlen) and axi_rvalid = '1'
443           and S_AXI_RREADY = '1') then
444         axi_arlen_cntr <= std_logic_vector
445             (unsigned(axi_arlen_cntr) + 1);
446         axi_rlast <= '0';
447
448     case (axi_arburst) is
449     when "00" => -- fixed burst
450         -- The read address for all the beats in the
451         -- transaction are fixed
452         axi_araddr <= axi_araddr;      ----for arsize =
453         4 bytes (010)
454     when "01" => --incremental burst
455         -- The read address for all the beats in the
456         -- transaction are increments by awsize
457         axi_araddr(C_S_AXI_ADDR_WIDTH - 1 downto ADDR_LSB)
458         <= std_logic_vector
459             (unsigned(axi_araddr(C_S_AXI_ADDR_WIDTH - 1
460             downto ADDR_LSB)) + 1); --araddr aligned to 4
461         byte boundary
462         axi_araddr(ADDR_LSB-1 downto 0) <= (others => '0');
463         ----for awsize = 4 bytes (010)
464     when "10" => --Wrapping burst
465         -- The read address wraps when the address reaches
466         -- wrap boundary
467         if (ar_wrap_en = '1') then
468             axi_araddr <= std_logic_vector
469                 (unsigned(axi_araddr) -
470                 (to_unsigned(ar_wrap_size, C_S_AXI_ADDR_WIDTH)));
471         else
472             axi_araddr(C_S_AXI_ADDR_WIDTH - 1 downto ADDR_LSB)
473             <= std_logic_vector
474                 (unsigned(axi_araddr(C_S_AXI_ADDR_WIDTH - 1
475             downto ADDR_LSB)) + 1); --araddr aligned to 4
476             byte boundary
477             axi_araddr(ADDR_LSB-1 downto 0) <= (others =>
478             '0'); ----for awsize = 4 bytes (010)
479         end if;
480     when others => --reserved (incremental burst for
481     example)
482         axi_araddr(C_S_AXI_ADDR_WIDTH - 1 downto ADDR_LSB)
483         <= std_logic_vector
484             (unsigned(axi_araddr(C_S_AXI_ADDR_WIDTH - 1
485             downto ADDR_LSB)) + 1);--for arsize = 4 bytes
486             (010)
487         axi_araddr(ADDR_LSB-1 downto 0) <= (others => '0');
488     end case;
489     elsif((axi_arlen_cntr = axi_arlen) and axi_rlast = '0' and
490           axi_arv_arr_flag = '1') then

```

```

467         axi_rlast <= '1';
468     elsif (S_AXI_RREADY = '1') then
469         axi_rlast <= '0';
470     end if;
471 end if;
472 end if;
473 end process;
474 -- Implement axi_arvalid generation
475
476 -- axi_rvalid is asserted for one S_AXI_ACLK clock cycle when
477 -- both
478 -- S_AXI_ARVALID and axi_arready are asserted. The slave
479 -- registers
480 -- data are available on the axi_rdata bus at this instance. The
481 -- assertion of axi_rvalid marks the validity of read data on the
482 -- bus and axi_rresp indicates the status of read
483 -- transaction.axi_rvalid
484 -- is deasserted on reset (active low). axi_rresp and axi_rdata
485 -- are
486 -- cleared to zero on reset (active low).
487
488 process (S_AXI_ACLK)
489 begin
490     if rising_edge(S_AXI_ACLK) then
491         if S_AXI_ARESETN = '0' then
492             axi_rvalid <= '0';
493             axi_rresp <= "00";
494         else
495             if (axi_arv_arr_flag = '1' and axi_rvalid = '0') then
496                 axi_rvalid <= '1';
497                 axi_rresp <= "00"; -- 'OKAY' response
498             elsif (axi_rvalid = '1' and S_AXI_RREADY = '1') then
499                 axi_rvalid <= '0';
500             end if;
501         end if;
502     end if;
503 end process;
504
505 -----
506 -- -- Example code to access user logic memory region
507 -----
508
509 gen_mem_sel: if (USER_NUM_MEM >= 1) generate
510 begin
511     mem_select <= "1";
512     mem_address <= axi_araddr(ADDR_LSB+OPT_MEM_ADDR_BITS downto
513         ADDR_LSB) when axi_arv_arr_flag = '1' else
514         axi_awaddr(ADDR_LSB+OPT_MEM_ADDR_BITS downto
515             ADDR_LSB) when axi_awv_awr_flag = '1' else
516             (others => '0');
517 end generate gen_mem_sel;
518
519 -- implement Block RAM(s)

```

```

513 BRAM_GEN : for i in 0 to USER_NUM_MEM-1 generate
514     signal mem_rden : std_logic;
515     signal mem_wren : std_logic;
516     begin
517         mem_wren <= axi_wready and S_AXI_WVALID ;
518         mem_rden <= axi_arv_arr_flag ;
519
520     BYTE_BRAM_GEN : for mem_byte_index in 0 to
521         (C_S_AXI_DATA_WIDTH/32-1) generate
522         signal byte_ram : BYTE_RAM_TYPE;
523         signal word_ram : WORD_RAM_TYPE;
524         signal data_in : std_logic_vector(C_S_AXI_DATA_WIDTH-1
525             downto 0);
526         signal data_out : std_logic_vector(C_S_AXI_DATA_WIDTH-1
527             downto 0);
528     begin
529         --assigning 8 bit data
530         data_in <= S_AXI_WDATA;
531         data_out <= word_ram(to_integer(unsigned(mem_address)));
532     BYTE_RAM_PROC : process( S_AXI_ACLK, sready) is
533     begin
534         if ( rising_edge (S_AXI_ACLK) ) then
535             sstart <= '0';
536             if ( mem_wren = '1' ) then
537                 word_ram(to_integer(unsigned(mem_address))) <= data_in;
538                 top_input_array(to_integer(unsigned(mem_address))) <=
539                     data_in;
540                 if mem_address= "0011" then
541                     sstart <= '1';
542                 end if;
543             end if;
544         end if;
545         if sready='1' then
546             word_ram(4)<=s_INssaida(0)&"00000";
547             word_ram(5)<=s_INssaida(1)&"00000";
548             word_ram(6)<=s_INssaida(2)&"00000";
549         end if;
550     end if;
551     end process BYTE_RAM_PROC;
552     process( S_AXI_ACLK ) is
553     begin
554         if ( rising_edge (S_AXI_ACLK) ) then
555             if ( mem_rden = '1' ) then
556                 mem_data_out(i) <= data_out;
557             end if;
558         end if;
559     end process;
560     end generate BYTE_BRAM_GEN;
561 end generate BRAM_GEN;
562 --Output register or memory read data

```

```

561
562 process(mem_data_out, axi_rvalid ) is
563 begin
564     if (axi_rvalid = '1') then
565         -- When there is a valid read address (S_AXI_ARVALID) with
566         -- acceptance of read address by the slave (axi_arready),
567         -- output the read data
568         axi_rdata <= mem_data_out(0); -- memory range 0 read data
569     else
570         axi_rdata <= (others => '0');
571     end if;
572 end process;
573
574
575     sreset <= not S_AXI_ARESETN;
576     s_OUTsx <= (top_input_array(0)(31 downto
577                 5), top_input_array(1)(31 downto
578                 5), top_input_array(2)(31 downto
579                 5), top_input_array(3)(31 downto 5));
580
581     uut: MLP443 port map(
582         CLK=>S_AXI_ACLK,
583         RESET=>sreset,
584         START=>sstart,
585         READY=>sready,
586         X=>s_OUTsx,
587         SAIDA=>s_INssaida);
588
589 end arch_imp;

```

Código A.15 – Código utilizado para validar o AXI4-Lite encapsulando o perceptron.

```

1 #include <stdio.h>
2 #include "platform.h"
3 #include "xil_printf.h"
4 #include "xil_types.h"
5 #include "xstatus.h"
6 #include "xbasic_types.h"
7 #include "xil_io.h"
8 #include "xparameters.h"
9
10
11 union
12 {
13     Xuint8 u8[4];
14     Xuint32 u32;
15     Xfloat32 f32;
16 }unT;
17
18 int main()
19 {
20
21

```

```
22  u32 baseaddr;
23  int res_int, Whole, Thousands;
24  float res_float;
25
26  init_platform();
27
28  baseaddr = XPAR_TOP27BAXILITE_AXI_0_BASEADDR;
29
30  xil_printf("Enviando entradas.\n\r");
31
32  unT.f32 = 1.0;
33  Xil_Out32(baseaddr+0, unT.u32);
34
35  unT.f32 = 2.0;
36  Xil_Out32(baseaddr+4, unT.u32);
37
38  unT.f32 = 3.0;
39  Xil_Out32(baseaddr+8, unT.u32);
40
41  unT.f32 = 4.0;
42  Xil_Out32(baseaddr+12, unT.u32);
43
44
45  unT.f32 = 1.5;
46  Xil_Out32(baseaddr+16, unT.u32);
47
48  unT.f32 = 1.0;
49  Xil_Out32(baseaddr+20, unT.u32);
50
51  unT.f32 = 2.2;
52  Xil_Out32(baseaddr+24, unT.u32);
53
54  unT.f32 = 3.0;
55  Xil_Out32(baseaddr+28, unT.u32);
56
57  xil_printf("Lendo saida.");
58
59  unT.u32=Xil_In32(baseaddr+32);
60  res_int=unT.u32;
61      res_float = unT.f32;
62      Whole = res_float;
63      Thousands = (res_float - Whole)*100000;
64      xil_printf("saida neuronio= %x\n\r", res_int);
65
66  xil_printf("Enviando entradas.\n\r");
67
68      unT.f32 = 1.0;
69      Xil_Out32(baseaddr+0, unT.u32);
70
71      unT.f32 = 2.0;
72      Xil_Out32(baseaddr+4, unT.u32);
73
```

```

74     unT.f32 = 3.0;
75     Xil_Out32(baseaddr+8,unT.u32);
76
77     unT.f32 = 4.0;
78     Xil_Out32(baseaddr+12,unT.u32);
79
80
81     unT.f32 = 1.5;
82     Xil_Out32(baseaddr+16,unT.u32);
83
84     unT.f32 = 1.0;
85     Xil_Out32(baseaddr+20,unT.u32);
86
87     unT.f32 = 2.2;
88     Xil_Out32(baseaddr+24,unT.u32);
89
90     unT.f32 = 3.5;
91     Xil_Out32(baseaddr+28,unT.u32);
92
93     xil_printf("Lendo saida.\n\r");
94
95     unT.u32=Xil_In32(baseaddr+32);
96     res_int=unT.u32;
97         res_float = unT.f32;
98         Whole = res_float;
99         Thousands = (res_float - Whole)*100000;
100         xil_printf("saida neuronio= %x\n\r",res_int);
101 cleanup_platform();
102 return 0;
103 }

```

Código A.16 – Código utilizado para validar o AXI4-Full encapsulando a MLP.

```

1  #include <stdio.h>
2  #include "platform.h"
3  #include "xil_printf.h"
4  #include "xil_types.h"
5  #include "xstatus.h"
6  #include "xbasic_types.h"
7  #include "xil_io.h"
8  #include "xparameters.h"
9
10 union
11 {
12     Xuint8  u8[4];
13     Xuint32 u32;
14     Xfloat32 f32;
15 }unT;
16
17 int main()
18 {
19     u32 baseaddr;

```

```
20 int res_int, Whole, Thousands;
21 float res_float;
22 //Xil_DCacheEnable();
23 //Xil_ICacheEnable();
24 init_platform();
25
26 baseaddr = XPAR_MLP443AXIFULL_MM_V1_0_0_BASEADDR;
27
28 xil_printf("Enviando entradas\n\r");
29 //Entradas
30 unT.f32 = 1.0;
31 Xil_Out32(baseaddr+0, unT.u32);
32 unT.f32 = 2.0;
33 Xil_Out32(baseaddr+4, unT.u32);
34 unT.f32 = 3.0;
35 Xil_Out32(baseaddr+8, unT.u32);
36 unT.f32 = 4.0;
37 Xil_Out32(baseaddr+12, unT.u32);
38
39 xil_printf("Calculando Saídas\n\r");
40
41
42 unT.u32=Xil_In32(baseaddr+16);
43 res_int=unT.u32;
44 xil_printf("saida neuronio= %x\n\r",res_int);
45
46 //saidas
47 unT.u32=Xil_In32(baseaddr+20);
48 res_int=unT.u32;
49 xil_printf("saida neuronio= %x\n\r",res_int);
50
51 unT.u32=Xil_In32(baseaddr+24);
52 res_int=unT.u32;
53 xil_printf("saida neuronio= %x\n\r",res_int);
54
55 cleanup_platform();
56 return 0;
57 }
```